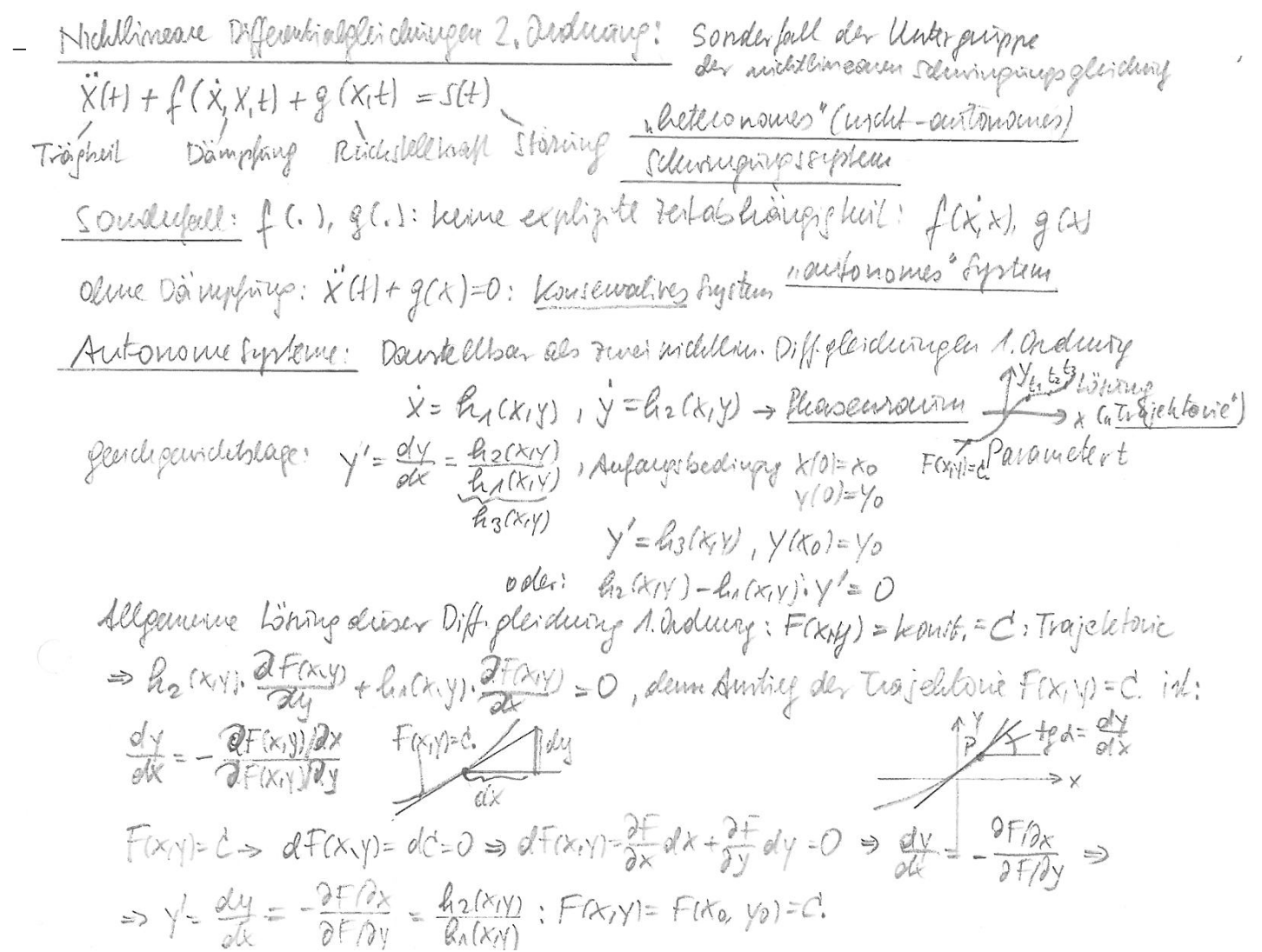
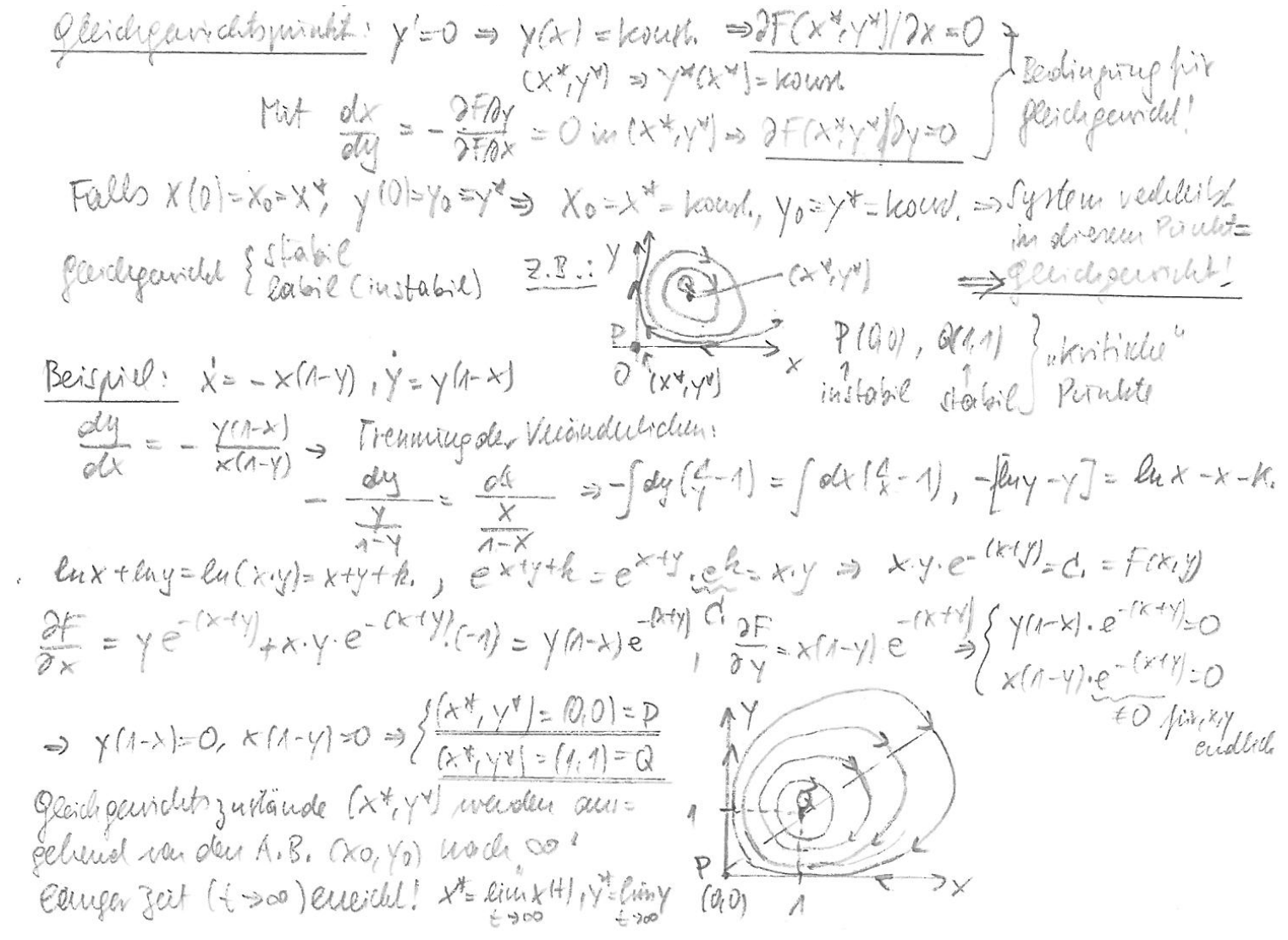
1.14.4. Selbsterregte Schwingungen















Beispiel: $X = -x \cdot (1-y) \quad y = y \cdot (1-x) \quad x(0) = x_0, \quad y(0) = y_0$ Ein see mit Hechten (Augabl X(+)) und Forllen (Augabl Y(t)). Die Hedite leben davon, Fosellen zu persen; die Forellen leben von kleinener Nahning im Sce, die unbegrenzt zur Vufügung stelet. x, y: normin auf 1. Je weler Helde x leven, derto mehr Hechte können sich vermehren: · Je mehr Fordlen gegeniser Verliten leben, derto mehr Herlite bisnin sich ensolven mud vermelven: dx/dt ~ y -1. Bei der Anjalel Forellen y = 1 bleibt die Heddaugall x loustand: dx/4+ ~ y-1=0 = x= kenst. = x=-x(1-y) · Je meler Foullen y leben, desto mehr hönnen isberleben und side vermelieren: 4~4. . Je mehr Hedte x lelun, derto stärker riumul die Forellenzald ab: y ~ -x+1. Bei der Hechanzahl X=1 bleibl die Forellenzahl Loustand: jn-X+1=0 => y= konst. => X= X.(V-X) Lisury: X(t). y(t) = e + x(t)+y(t) ((X0, y0)

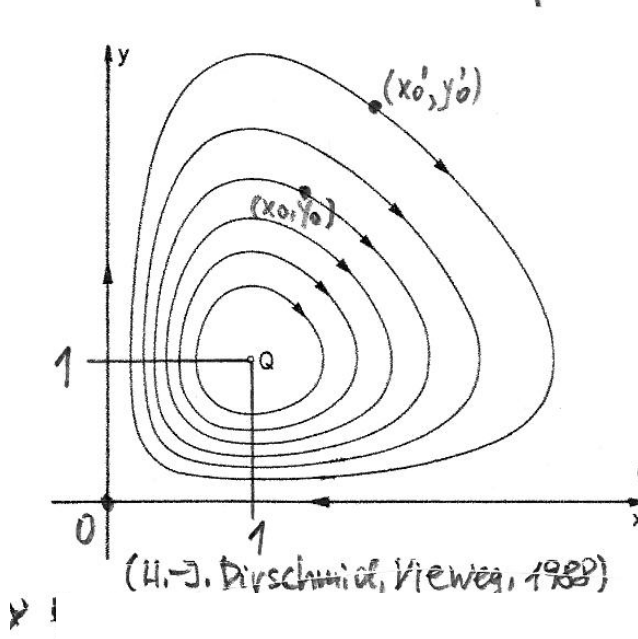


Lisury: X(t), y(t) = e+x(t)+y(t) ((X0, y0)

a) Für x=1, y=1 in $x=0, y=0 \Rightarrow x=\text{down}=1, y=\text{down}=1$ Prologischer $C(x_0=1, y_0=1)=e^{-2}$.

b) Fix x=0, y=0 in x=0, y=0 ⇒ x= cowl.=0, y=cowl.=0 8 Blide Acteur sud C(X0=0, y=0)=0.

c) Für O E C = 1/e2 eigelieu sich Löhrugen, du periodisch int sind: X(t), Y(t)!



· Sinhl die tahl der Forellen y, muss verjaged auch die Tahl der Hechte x wegen Nahringsmangel sinken

· Dadinch Kömen sich wieder die Farellen z wegen nun = begrenzten" Nahneings augelecht und weuiger Jager x 142m eleken.

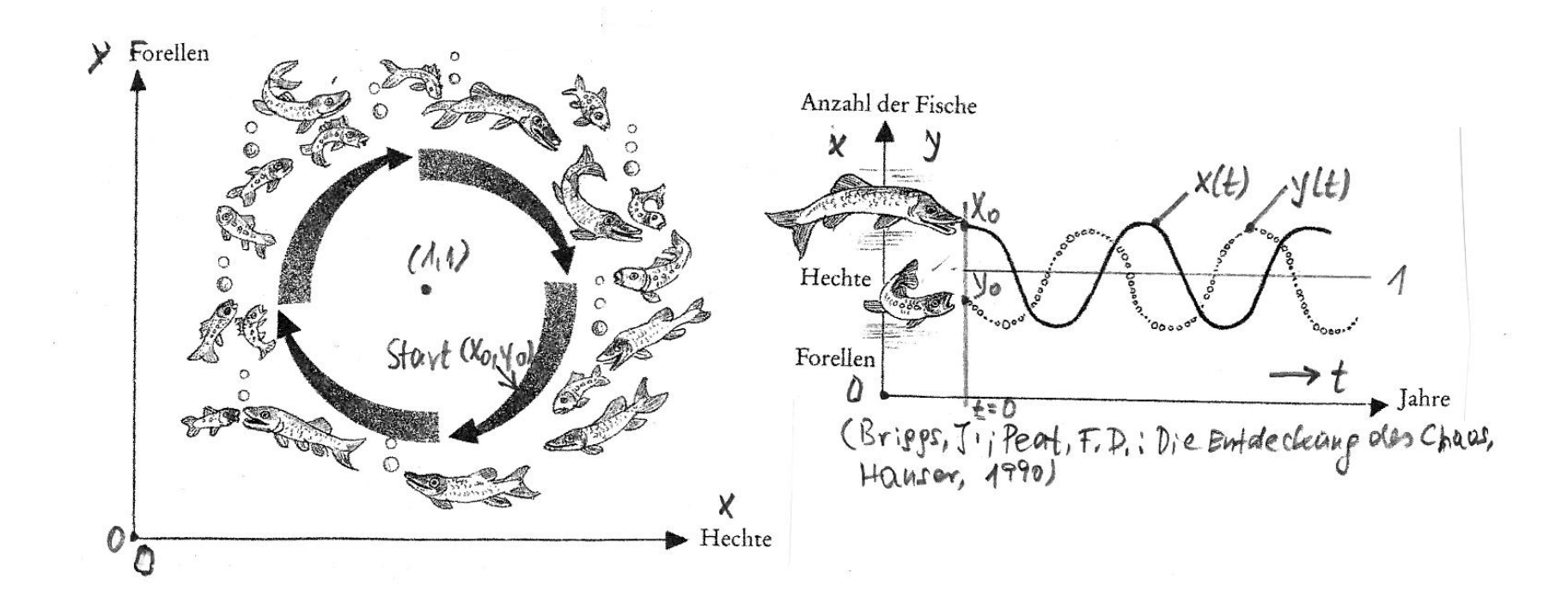
· Mit zinelmender Forellen zahl y nimul and die Hechtzahl x vegen gio Senn Nahnangran prebats zu, must de zinniert wieder die Anzald der Ferellen y.

* Asymptoten: X-Adise, Do die Angahl der Fosellen y = 0 * 184, 8ucht die Angahl x der Hechte wegen Kerhüngelun = 0. - X-Achse: Ist die Hechtzahl Null (x=0),50 wöch 11 die

Foreller rolly wearn Jaipenmanpels und equant!











$$\dot{x} = -x + xy \quad \dot{y} = y - xy \quad \begin{array}{c} \text{Lonting for bleine } & \text{No weillusing to } \Delta x_{\Delta} y \\ \text{vom Stationar austand } & x_{O}, y_{O} \\ \hline
 & \text{X(H)= } & \text{Xo} + \Delta x_{O} + \text{Xo} + \Delta y_{O} + \text{Xo} + \Delta y_{O} + \text{Xo} + \Delta x_{O} + \Delta y_{O} + \text{Xo} + \Delta x_{O} + \Delta y_{O} + \Delta y_{O}$$

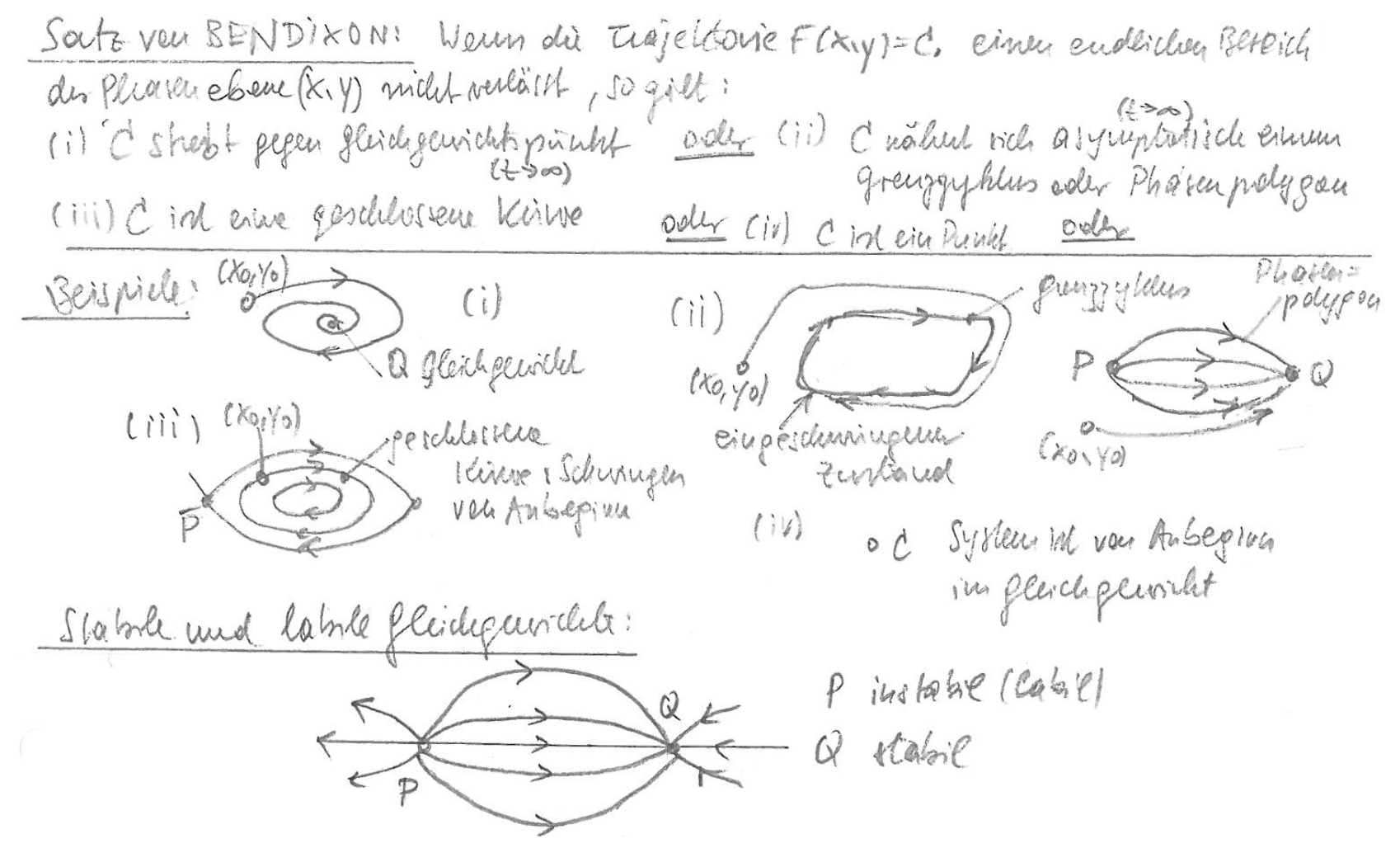




Dupin'sche Lidikalinx: xy.e - (x+y) = koust. = K Eleichperiddspunkt(x_3y)= (1,1): $K = e^{-2} = 1/e^2$ Weine Moweideringen van (1,1): $X = X_0 + \xi$, $y = y_0 + \eta$, $(X_0, y_0) = (1,1)$ (1+5)(1+9)e-(2+5+2)= Keko, (1+5)(1+9)esiel= Kie2 5,7,461: e-5=1-5, e-1=1-1= (1+5)(1+4)(1-5)(1-1)=K.e2 1-82-42+5242 = K.e2 (1-82)(1-42)=Kie2 52+1/2= 1-Ke2 = (F-Ke2) + (F-Ke2) =1 DUPINISCHE molikalist







Felgering our (ii):

Ein niddlineaus autousurs fystem Z. ardung bearin dene onere Enegang mir infolge der Aufaugsbedingingen clouremed schwingen Cleum, Einschwing = vargang") und zworr auch dann, wenn our Dampfangstonn vochanden ist. Dinde die meleflimare Systemagione wind wanted standig Energie ours einem spercher der schwinging zupefishet. Im Jegensaf zu dem exwingenen Schwinginger (S(t) +0) heisen drese schwingerugen autour oder sellent enegt.



X+f(x,x)+g(x)=0 Zwei Untarliassen dierer nudellier. Diffiglerdung 2 Orduring.

The work values of the parameter. If yet along to obtain
$$g(x) = D(x) \cdot \dot{x}$$
, $g(x)$ beliefing $g(x) = \dot{x} \cdot \dot{x}$ b) $f(\dot{x}, \dot{x}) = D(\dot{x}) \cdot \dot{x}$, $g(\dot{x})$ beliefing $\dot{x} \cdot \dot{x} + D(\dot{x}) \cdot \dot{x} + \dot{y} \cdot \dot{x} + \dot{y} \cdot \dot{x} = 0$ $\dot{x} \cdot \dot{x} + D(\dot{x}) \cdot \dot{x} + \dot{y} \cdot \dot{x} = 0$ LIENARD $\dot{x} \cdot \dot{x} = 0$ \dot{x}

x + D(x)·x + g(x) = 0 LIENARD-garding Dr(x) <0,04x Lx, Dr(x)>0, x>x d (x) >01x>0 Wenn DI(x) monoton wallsend fir x>x lim D_(x) = 00 lim g_(x) = 00, down hat die LIENARD- gelichung grenan einen grenzzyklus.



Beispiel: Vou der Pol- Differentialgleichuig (Soudufall der LIENARD-Dex) = x(x2-1), g(x)= Wo2x = x+x(x2-1)x+wo2x=0, d>0 - fleichurg) D(x) = D(-x): d(x2-1)=d((-x1-1); g(x)=-f(x): Wo2x=-Wo2(-x) $D_{\mathcal{I}}(x) = \int \widetilde{D}(f) \cdot df = \mathcal{L}(\frac{x^2}{3} - x) \quad D_{\mathcal{I}}(x) = 0 \Rightarrow \hat{\chi} = 0, \hat{\chi} = 0 : x > 0 : D_{\mathcal{I}}(x) \uparrow \text{ monoton}$ $\lim_{x \to \infty} \mathcal{L}(\frac{x^3}{3} - x) \to \infty$ $g_{\mathcal{I}}(x) = \int \omega_0^2 f df = \omega_0^2 f^2 \Big|_{X = \omega_0^2 x^2} : \lim_{x \to \infty} \omega_0^2 x^2 \to \infty$ -> Die Van der Pel-gleicheine hat genan ennen grenzythlus! Naheures liping: d>0! 9) Lunare Näheurg: do0: x + Wo2 x = 0 -> XEE)= Asin wet + Bos wet, A=f(xo, ko) b) Linearited for 1x1229: x2221: (Excusclusinging) Nepalove Döurphing $-\alpha!$ $\chi' + \alpha(-1)\chi' + \omega^2 \chi = 0$: ent doughts of employing, palls $\omega_0 > \omega/2$ $\chi' + \alpha(-1)\chi' + \omega^2 \times 0$: ent doughts of employing, palls $\omega_0 > \omega/2$ $\chi' + \alpha(-1)\chi' + \omega^2 \times 0$: ent doughts of employing, palls $\omega_0 > \omega/2$ $\chi' + \alpha(-1)\chi' + \omega^2 \times 0$: ent doughts of employing, palls $\omega_0 > \omega/2$ $\chi' + \alpha(-1)\chi' + \omega^2 \times 0$: ent doughts of employing, palls $\omega_0 > \omega/2$ $\chi' + \alpha(-1)\chi' + \omega^2 \times 0$: ent doughts of employing, palls $\omega_0 > \omega/2$ $\chi' + \alpha(-1)\chi' + \omega^2 \times 0$: ent doughts $\omega_0 > \omega/2$ $\chi' + \alpha(-1)\chi' + \omega/2 \times 0$: ent doughts $\omega_0 > \omega/2$ $\chi' + \alpha(-1)\chi' + \omega/2 \times 0$: ent doughts $\omega_0 > \omega/2$ $\chi' + \alpha(-1)\chi' + \omega/2 \times 0$: ent doughts $\omega_0 > \omega/2$ $\chi' + \alpha(-1)\chi' + \omega/2 \times 0$: ent doughts $\omega_0 > \omega/2$ $\chi' + \alpha(-1)\chi' + \omega/2 \times 0$: ent doughts $\omega_0 > \omega/2$ $\chi' + \alpha(-1)\chi' + \omega/2 \times 0$: ent doughts $\omega_0 > \omega/2$ $\chi' + \alpha(-1)\chi' + \omega/2 \times 0$: ent doughts $\omega_0 > \omega/2$ $\chi' + \alpha(-1)\chi' + \omega/2 \times 0$: ent doughts $\omega_0 > \omega/2$ $\chi' + \alpha(-1)\chi' + \omega/2 \times 0$: ent doughts $\omega_0 > \omega/2$ $\chi' + \alpha(-1)\chi' + \omega/2 \times 0$: ent doughts $\omega_0 > \omega/2$ $\chi' + \alpha(-1)\chi' + \omega/2 \times 0$: ent doughts $\omega_0 > \omega/2$ $\chi' + \alpha(-1)\chi' + \omega/2 \times 0$: ent doughts $\omega_0 > \omega/2$ $\chi' + \alpha(-1)\chi' + \omega/2 \times 0$: ent doughts $\omega_0 > \omega/2$ $\chi' + \alpha(-1)\chi' + \omega/2 \times 0$: ent doughts $\omega_0 > \omega/2$ $\chi' + \alpha(-1)\chi' + \omega/2 \times 0$: ent doughts $\omega_0 > \omega/2$ $\chi' + \alpha(-1)\chi' + \omega/2 \times 0$: ent doughts $\omega_0 > \omega/2$ $\chi' + \alpha(-1)\chi' + \omega/2 \times 0$: ent doughts $\omega_0 > \omega/2$ $\chi' + \alpha(-1)\chi' + \omega/2 \times 0$: ent doughts $\omega_0 > \omega/2$ $\chi' + \alpha(-1)\chi' + \omega/2 \times 0$: ent doughts $\omega_0 > \omega/2$ $\chi' + \alpha(-1)\chi' + \omega/2 \times 0$ $\chi' + \alpha(-1)\chi' + \omega/2 \times 0$



TECHNISCHE UNIVERSITÄT DARMSTADT

begrenge dre Schwingupsamplitude: grent tylches!



c) Vidillinear fix hleines deel; Ansay: Xlt 1= A(t), cos(wt+q)staff C(t) casent +/ d) Numericle Liming for beliebriges & (>0): x"+f(x).x+g(x)=0= x=y $y = -f(x)\cdot y - g(x)$ (RUNGE-KUTTA) X(0), $Y(0) = \dot{X}(0)$ 30 c): x(4)= A(+) cas(w++p) + A(+) (- 546++p)). W x(+)= A(+).cos(w++p) - 2A.w.sm(w++p) + A.(-w2).cos(w++p) A(t) = A(t,d): Taylor-Reile fir kleines d: A(t,d) = A(t,0) + dA(t,d). d + d(A(t,d). d2 / 21 + ... ∠<</p>
A(t, L) = A(t, 0) + ddA(t, K)/dk Fir d=0 = A(t, d) = A(t, d) = kourt, unable, vout! A(4,d) = A0 + adA(t,d)/dx = A0+A(4).d A(4,0)=A0 A(tta)= d A(t, a)= dA0 + x elAn(t) = x dAn(t) XH) = A cost - 2 AW SIM & - WA COST = - 2 AWSIM & - WA CAST WE+ P= D A' ex 2Aw, wA Van der Pel-pleidwig: - ZAWSing-WACONT + X(A'CONT-1). (A CONT-WASHED) + WO A CONT-0 -aAcord + XWA Fund + dA2A; (cost + costas20) - dWA3.1. Nur quind schwinging cost, sint becircles chief; cost = (1+cost)/2 (5int+sint. cost) case, siase vemadelistiff!





$$\cos \Phi \cdot \cos^2 \Phi = \frac{1}{2} \left[\cos^3 \Phi + \cos \Phi\right] \quad \text{genials} \quad \cos \propto \cos(s = \frac{1}{2} \left[\cos(\kappa + \beta) + \cos(\kappa + \beta)\right] \\
-2\dot{A}\omega \sin \Phi - \omega^2 A \cdot \cos \Phi - \omega \dot{A} \cos \Phi + \omega \dot{A} \dot{A} \dot{\omega} \dot{\Phi} + \omega \dot{A} \dot{A} \dot{A} \cdot \cos \Phi + \omega \dot{A} \dot{A} \dot{\Delta} \cdot \frac{1}{2} \left[\cos^3 \Phi + \cos \Phi\right] \\
-\alpha \dot{A}^3 \omega \dot{\Delta} \cdot \sin \Phi - \omega \dot{A}^3 \omega \dot{\Delta} \cdot \frac{1}{2} \left[\sin^3 \Phi - \sin \Phi\right] + \omega \dot{A} \cos \Phi = 0 \quad \text{vernoullistry} \\
\cos \Phi \left[-2\dot{A}\omega + \omega \dot{A} - \omega \dot{A}^3 \dot{\omega} \cdot \frac{1}{2} + \omega \dot{\Delta}^3 \dot{\omega} \cdot$$



Trenning der Verändeilichen:

df = ddt, J df + J df = Sx dt

f - £2 = ddt, J f + J 4-5 $f = f + 4 - f = \frac{\ln(4-f)}{\ln(4-f)} = dt + dt_0 (Jul. kous Fouts)$ $f = f + 4 - f = \frac{\ln(4-f)}{\ln(4-f)} = dt + dt_0 (Jul. kous Fouts)$ $f = e^{dt+t_0} = dt + dt_0 (Jul. kous Fouts)$ Lösung der Van der Pel-gleichung für der 1! X(t)= 1/1+e-d(t+to). Cos(Wot+q) A(t) IN die Cinhiillende der Schwingung wo to, 4 50, doss Ko, Xo cyfillt sied! A(t->0) = 2: Der grengsyldens who nothet = 0 eneral! X(0)=x0 = 2/1+e-dto. cosq * must Acaplitude x(+>00)=A=2 selbstenegte Schwinging, die von beliebig belemm bleuten Ko Dirich relugione Notherings reducing können auch die auf gund der Nilllimeautif x2 lithem Frencezen 300, 5000. borrich richtief werden: (DIRSCHMID, Mallewatische gurudlagender Elektro Fechnik, Vieweg, 1988)





W= Wo(1-(2)2/2+ + 3022 (50)+ ...)

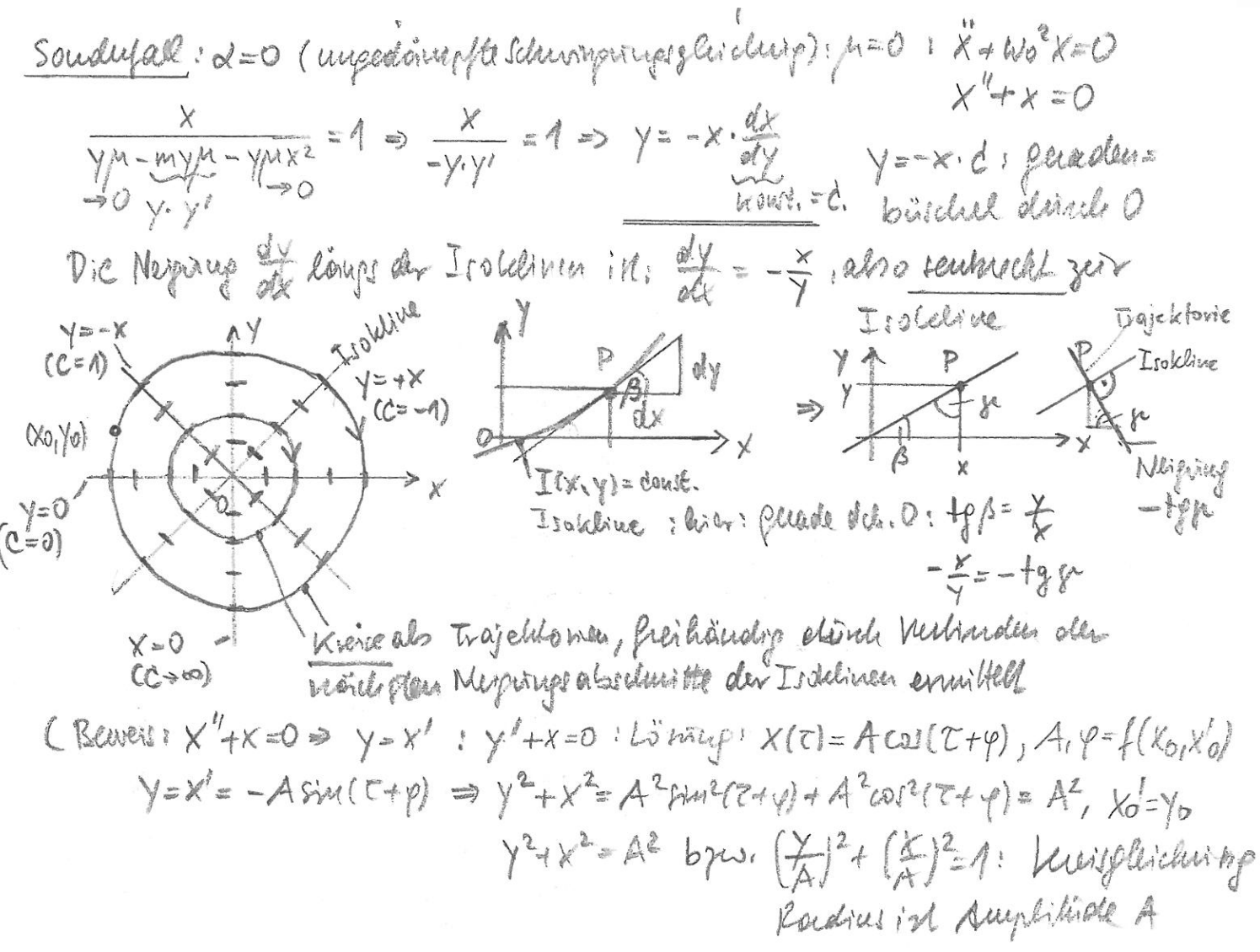
+ [= () = + ...]. as 3 wt + [- f = + = () = + ...]. sin 3 wt + ...



graphisch-numersche Lösungsmelhade für Differential gleichungen 2. Ordning! Isoklinen-Melhode: Isokline: Linke mit Konstanter Neigures der sie seleverolenden X=Y X= y= of of the Trajeletovieu X = Y. 014 Annending and (normiett) van der Pol-glisching: X+d(x-1)x+wox=0 = T=wot x= d2x wo= d (dx) = d (d Wo 2. d2x + x(x2-1) Wo dx + wo x=0 = d1 = 1 x"+ M(x2-1).x"+x=0 MERINO X'=Y >X"= Y 94 wilter. Diff. pl. 1.0.1 Y of + M(x21). y + x=0 Isokline: Ilx,y1= koutt., wo gill: ex= konst.= n.m., m: Skalauparameter Y. M. m + M(K2-1)y+x=0 Isoklivengleiching: y.m(1-m-x2)=X + Y.m(m+x2-1)=-X

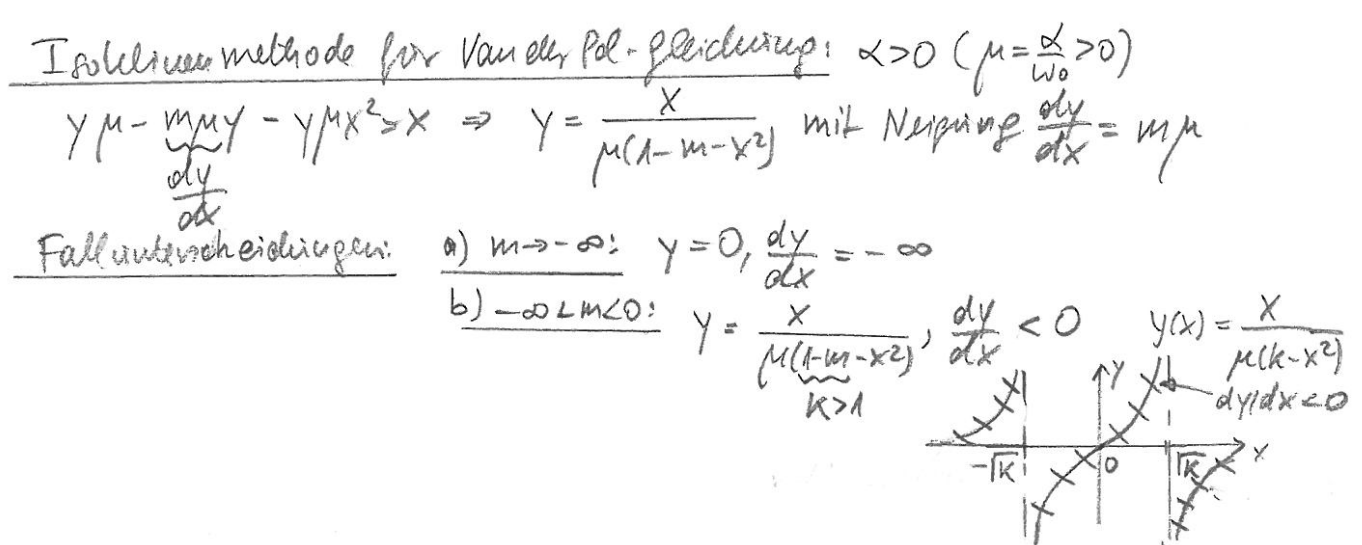




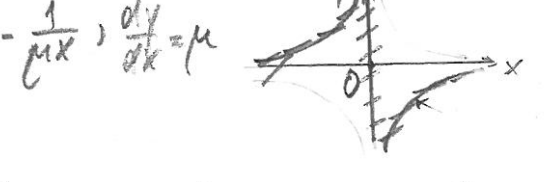






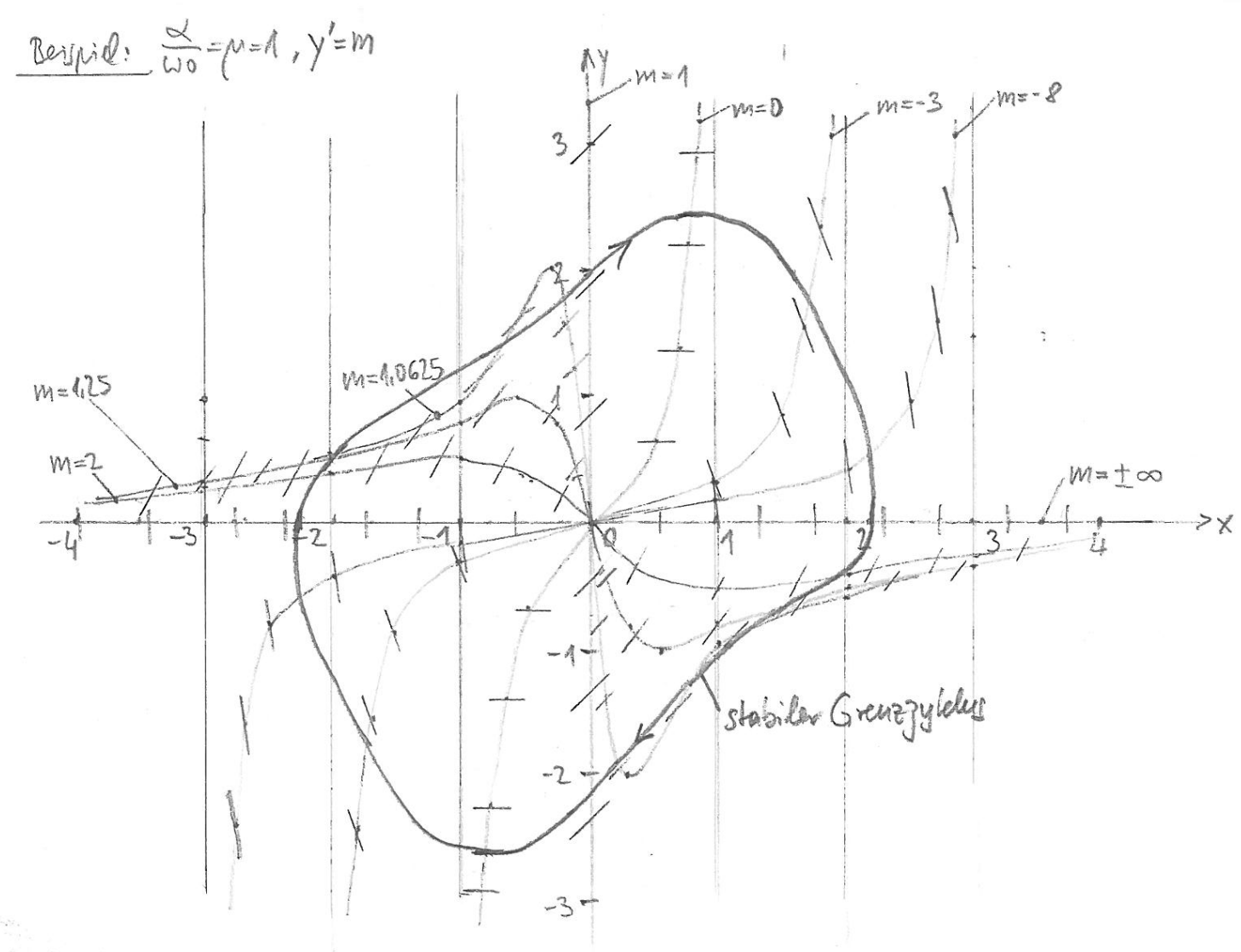


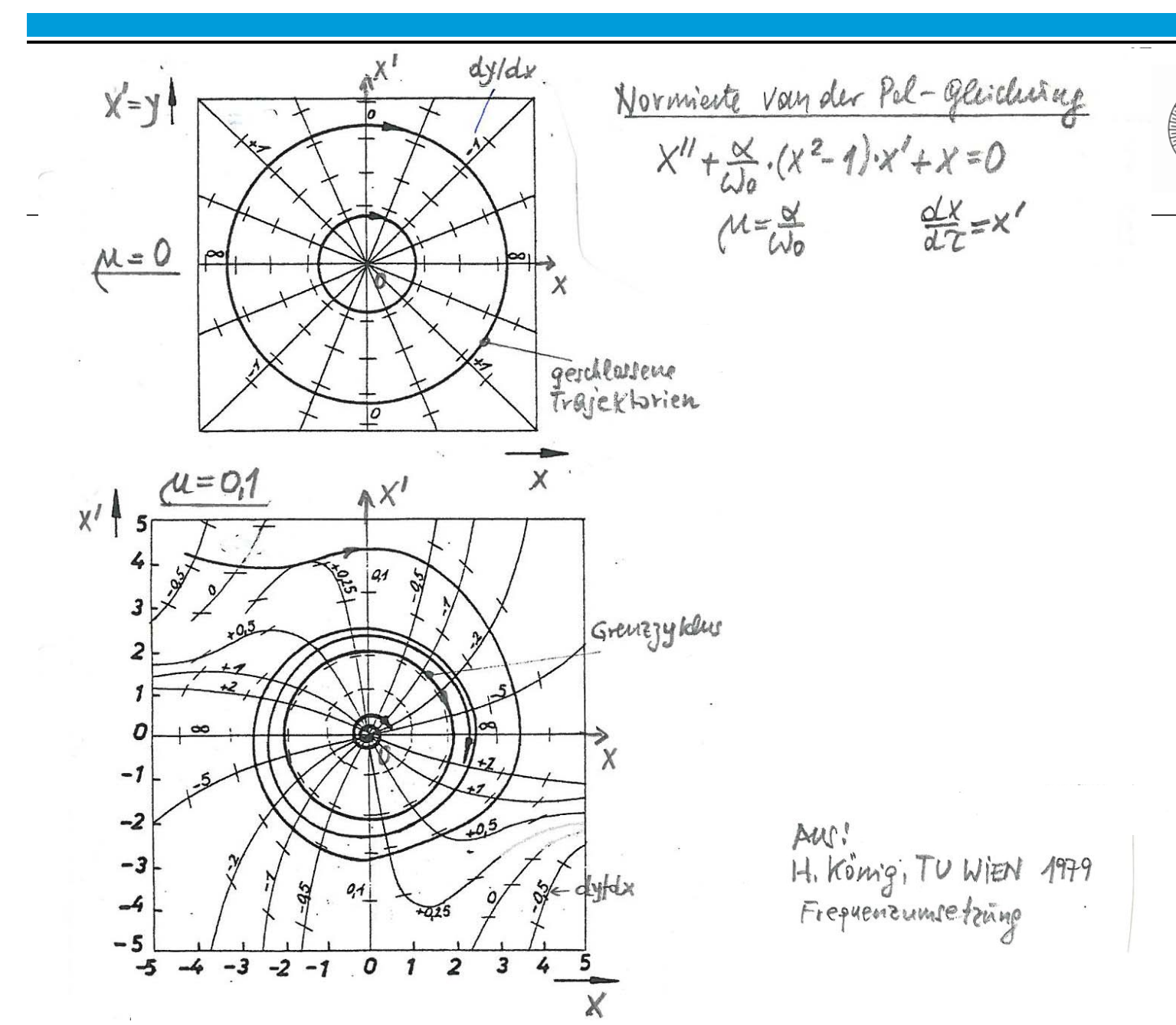
c)
$$M=0$$
: $\lambda = \frac{M(V-K_5)}{K}$, $K=1$, $\frac{dK}{dK} = 0$





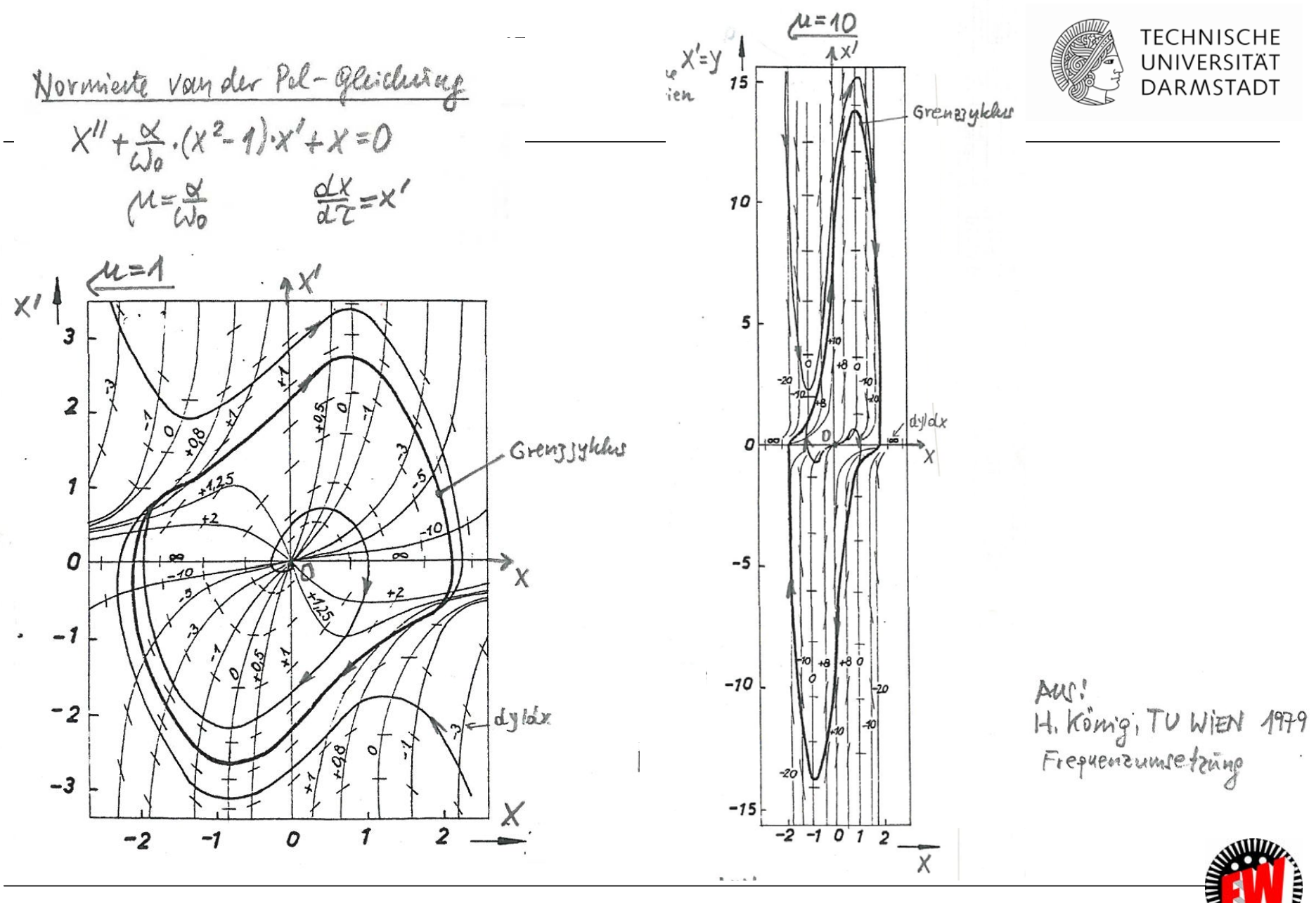


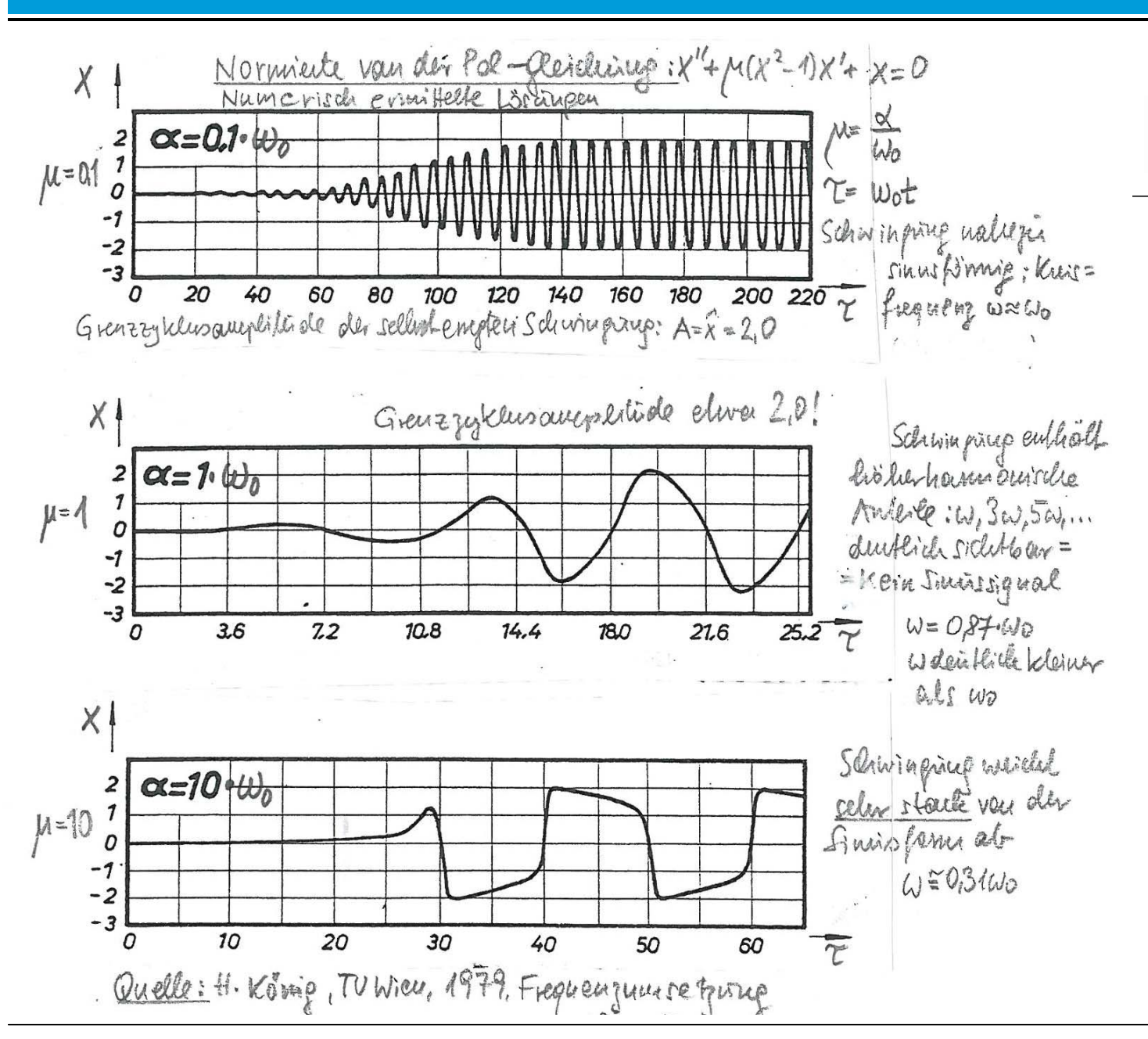






TECHNISCHE UNIVERSITÄT DARMSTADT











Nähemups lösüng:
$$T = \omega t$$
, $\omega = \omega_0 (1 - \frac{\mu c}{16} + \frac{17}{3072})^{\mu/4} + ...)$ für $\mu \times \Lambda$
 $X(T) = (2 - \frac{\mu^2}{8} + ...) \cdot \cos T + (\frac{3}{4}\mu - \frac{7}{256})^{\mu/3} + ...) \cdot \sin T$
 $+ (\frac{3}{16})^{\mu/2} + ...) \cdot \cos T + (-\frac{1}{4}\mu + \frac{21}{256})^{\mu/3} + ...) \cdot \sin T$
 $+ (-\frac{5}{96})^{\mu/2} + ...) \cdot \cos T + (-\frac{35}{576})^{\mu/3} + ...) \cdot \sin T + ...$
 $\frac{\omega}{\omega_0} = 1 \quad |0.999| \approx 0.943 \quad |aus obs Nähemings löseny (Dir schttid), Viewep, 1989)$

pe $0 \quad 0.1 \quad 1$

Auflehingen von $A(T) \approx \frac{2}{\sqrt{1 + e^{-MT} \cdot C}} \quad C$ in befougsbedingeng $C = e^{-ato} : 0 < C < \infty$

Für $\mu \times \Lambda$:

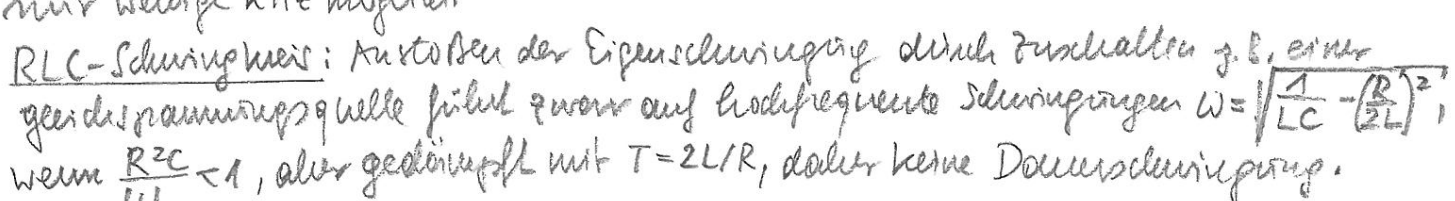
 $E^{\mu T} \to 0$, cum π rascher, je quister μ !

Te proser $\mu = \frac{\alpha}{\omega_0}$; derto rascheres deifhliugen!



Sellenemente elektrische Iduringungen:

Auf pale: Für Überhagung elektes magnetischer Weller via Anterenen mud brakfrequente Rersteingsstande Quellen nistig. Enenging über Syndnan-Kithelfrequenz-gennaturen: mur wewige kHz möglich.



Toler (vor 1900): Nepalines, R'emführen - Entdämpte (aufhlingende) Silwingrig.

Wenn zusählich R(I) (also wichtlinean), dann Kann Rich fellvlenepte Doner =

Schwingring ein Vellen, die (z. B. amplitiden modifier) als Figural über eine
Antenne aßgestrablt werden kann.

Der lichtbogen hat eine fallende U(I)-Lamernie und daher R(I)<0.

-> Verwendung als Lichtbogen-Sender!

Gasentlasteragen: Gaselunhschlorg michen true: Elelitus den (Spannings=

oh (ferring U) im Abstand of, werm $E = U > E_D$ (Dumbschlag feldsförthe) $E_D = 30...40 \, \text{kV/cm}$ bei hi (p. 1bar, Homogen feld E, Up 1 Algub 1 Av Luft, ebene 2

Allgemein: PASCHEN-Geretz: $E_D = f(p,d) = f(p,d)$ Up 1 Algumin = 330V bei (p. of)* = 0.76 M ; bei $p = 10^5 \, \text{Pa} = 1 \, \text{bar}$: $(pd)^* = 0.76 \, \text{M}$ Luft $0 = \frac{0.76}{705} \, \text{m} \rightarrow E_D = \frac{0.320}{64} \cdot \frac{330}{676} \cdot \frac{105}{64} = 434.106 \, \text{M}$ Bei 1 mm = $0 \cdot p = 10^5 \, \text{Pa}$ i $p \cdot d = 10^2 \, \text{M}$; $U_D = 4.3 \, \text{kV}$ $\Rightarrow E_D = 4.3 \, \text{kV}$ $\xrightarrow{E_D}$ $= 434 \, \frac{\text{kV}}{\text{cm}}$



TECHNISCHE

UNIVERSITÄT

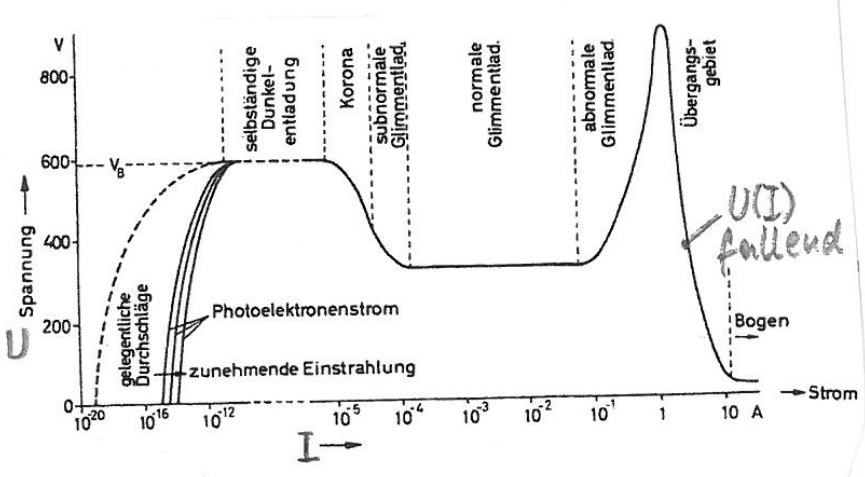
DARMSTADT



Entlading erlischt elent änntere
Ladings tröiger ergeignung (2.0.: Elektrolen=
Leizung der Kallwob = Elektronen-glühe mission)

I < 10-12A

"Voystrom bereich"



Strom-Spannungscharakteristik des gesamten Gasentladungsbereiches

rellestéredis

Cullading Elleste von Allent emfulle

(ab fires) ende ladingshäfer halien im

Gen nem erzengt deb. Stossionisalion, Anf s

heizender Eliktroden beim Anfschlag)

I>10-12 A

a) 10-12 < I < 10-5A: Dinkelentlading

b) 10-5A < I < 1A: Glummentlading

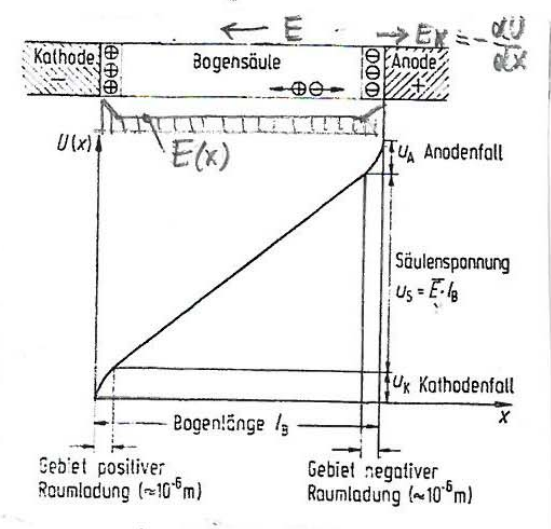
Lichtsopen hat followde U(I)- Kenneinie, da mehr Show den Bogen
aufheigt, dadinen mehr Lowdingstrager erzeugt werden und daher
weniger Spanning benöhigt wird.

Quelle: Rieder, W.: Plasma u. Lichtbogen, Vieweg. 1867





Day Lidelbogen:



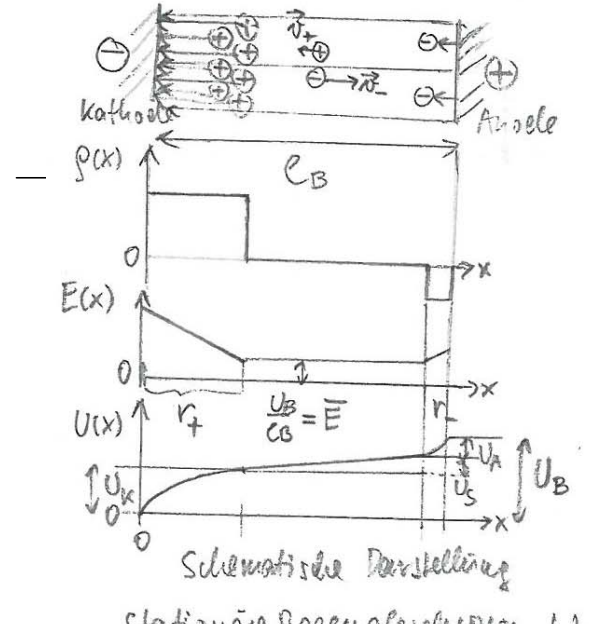
Quelle: HÜTTE, Ele Energie telluile 3 Springer 1988

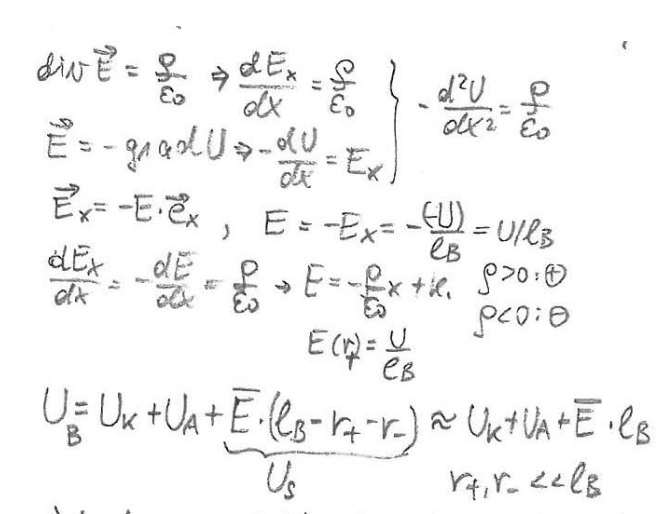
Stationäre Strom -Spannungs - charakteristiken frei in Luft brennender Niederstrombögen mit Cu-Elektroden

Quelle: W. Rieder: Plasma U. Lichtbogen, Vieweg, 1967

Die auf die Kaffische aufschlagenden pos. Ladurpsträger der ioni Fieden Luff (02+, N2+,...) erhitzen altrere, so dass durch Glübenistion weitere Elektronen aus dem Melall in olen Bogen oenstrelen. Durch das E-Field berchleunigt, ionissenen sie alunch Shorsionisa from weitere Luffmolekuite. Pio langsamm (schwene) Luffionen (D) bilden vor oler Kallrocke erne paritime Rourmladings = 300e, no oles E-Field stark absinkt (Kallrocke fall = Spanningsfall an dreser Zone UK). Reservationalle UA ist viel kleiner, ola olie schwellen (leichten) Elektronen rasik abscheren.





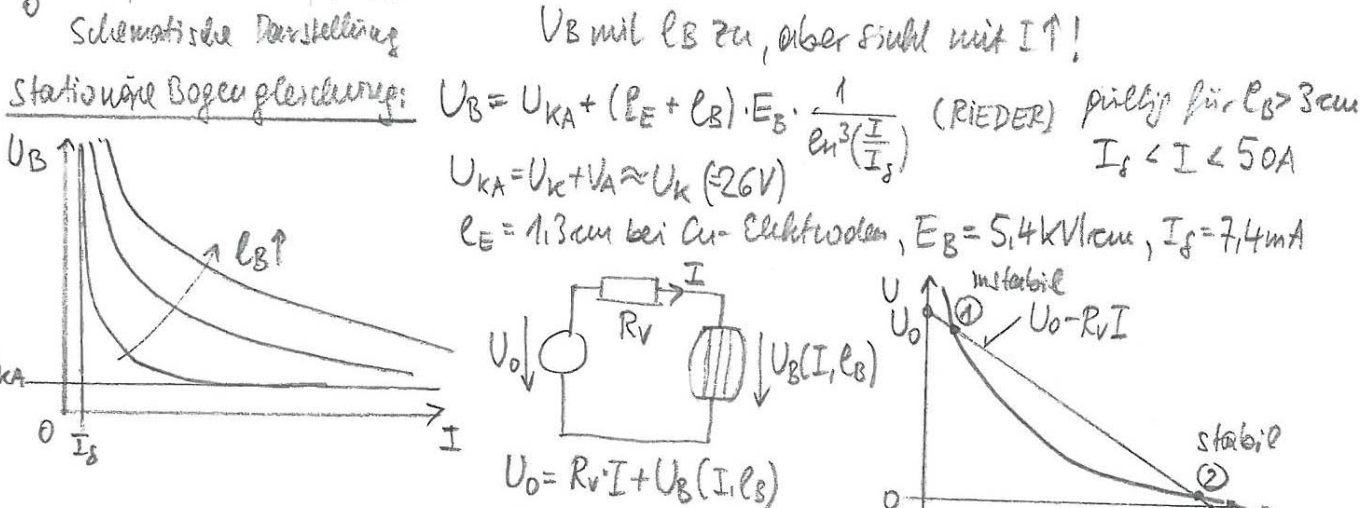


i. A. done used Us über Uk > VA! Palus winned

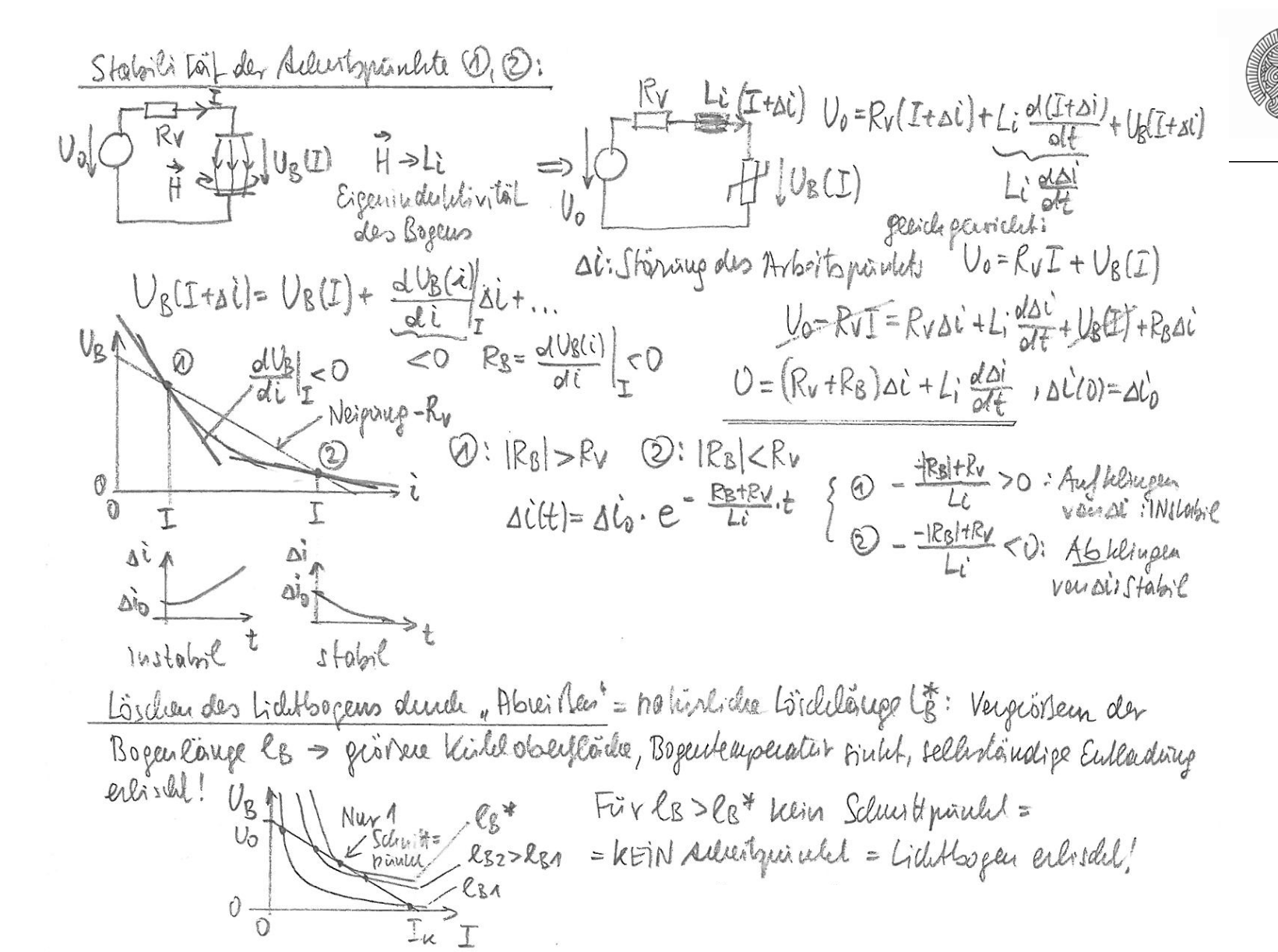
Zwei Belwels prinkter

mir (2) int stabil!





Uo-R, I=UR (I)

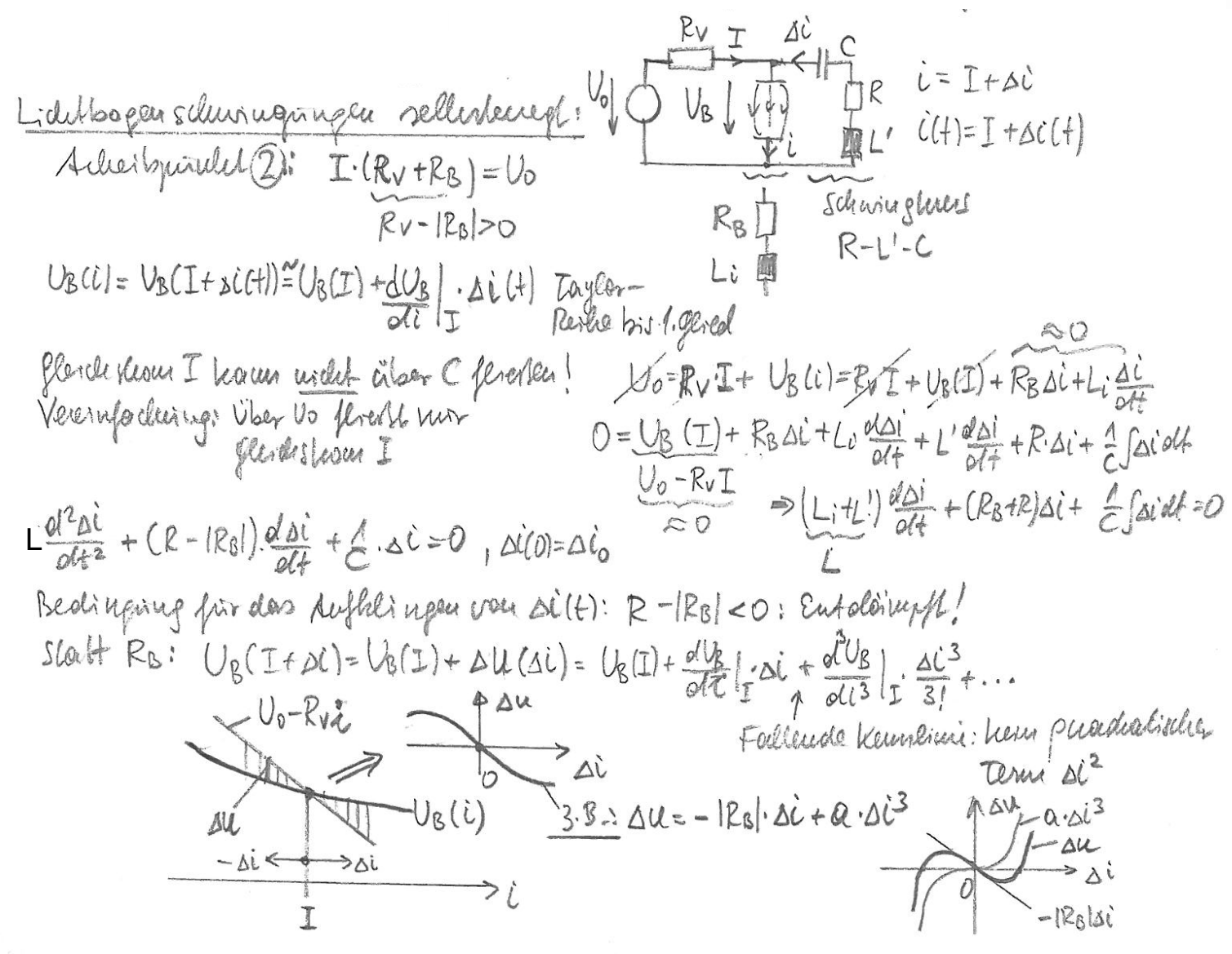




TECHNISCHE

UNIVERSITÄT DARMSTADT









$$\frac{1}{\sqrt{d}} \cdot \frac{d|\Delta|}{\sqrt{dt}} + (R - |R_B|) \Delta i + \alpha \Delta i^3 + \frac{1}{\sqrt{\Delta}} \Delta i dt = 0$$

$$\frac{1}{\sqrt{d}} \cdot \frac{d^2 \Delta i}{\sqrt{dt}} + (R - |R_B|) \cdot \frac{d|\Delta|}{\sqrt{dt}} + \alpha \cdot 3 \Delta i^2 \cdot \frac{d|\Delta|}{\sqrt{dt}} + \Delta i = 0$$

$$\frac{1}{\sqrt{d}} \cdot \frac{d^2 \Delta i}{\sqrt{dt}} + (R - |R_B| + \alpha \cdot 3 \Delta i^2) \cdot \frac{1}{\sqrt{dt}} \cdot \frac{d|\Delta|}{\sqrt{dt}} + \Delta i = 0$$

$$\frac{1}{\sqrt{dt}} \cdot \frac{d^2 \Delta i}{\sqrt{dt}} + \frac{1}{\sqrt{dt}} \cdot \frac{1}{\sqrt{dt}} \cdot \frac{d|\Delta|}{\sqrt{dt}} + \Delta i = 0 \quad , \quad y = \sqrt{\frac{-3\alpha}{R - |R_B|}} \cdot \Delta i, \quad \omega_0 t = T$$

$$\frac{1}{\sqrt{R - |R_B|}} \cdot \frac{1}{\sqrt{L}} \cdot \frac{1}{\sqrt{dt}} \cdot \frac{1}{\sqrt{L}} \cdot \frac{d|\Delta|}{\sqrt{dt}} + \Delta i = 0 \quad , \quad y = \sqrt{\frac{-3\alpha}{R - |R_B|}} \cdot \Delta i, \quad \omega_0 t = T$$

$$\frac{1}{\sqrt{R - |R_B|}} \cdot \frac{1}{\sqrt{L}} \cdot \frac{1}{\sqrt{dt}} \cdot \frac{1}{\sqrt{L}} \cdot \frac{d|\Delta|}{\sqrt{dt}} + \Delta i = 0 \quad , \quad y = \sqrt{\frac{-3\alpha}{R - |R_B|}} \cdot \Delta i, \quad \omega_0 t = T$$

$$\frac{1}{\sqrt{R - |R_B|}} \cdot \frac{1}{\sqrt{L}} \cdot \frac{1}{\sqrt$$



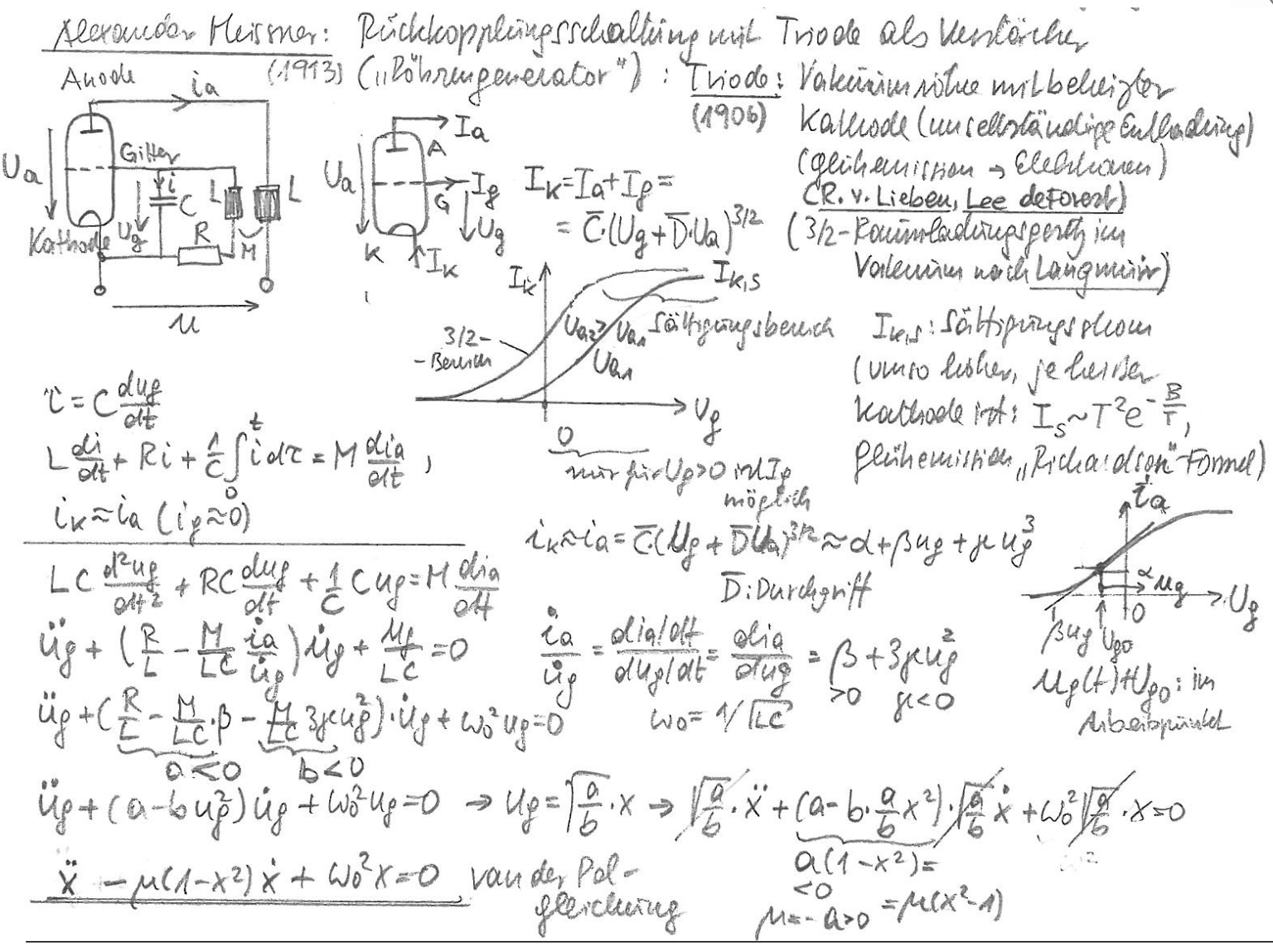


Lichtbogensender ober unpraktisch, ola Lichtbogensäule als gerader Lichtbogen auf gründ der Kremischen Konvelisionsshöming im Mapnelischen Cifenfeld wicht gerade Berbl. Am bewiderig des Bogens - höberes B- Feld \$50 om Summansboundurg ->
- Kiöbere Loventy-Kraft -> Bound Bogen weiter aus \$1 -> Bogenverlöngenung > löchen.

Abhille Rolierender Bogen (nWeilzbogen), Trotydem: Elektroolen abnützung







Selbsterregte Schwingungen



Autonome Systeme vom Typ $f(x, \dot{x}) = f(\dot{x}) = D(\dot{x}) \cdot \dot{x}$

Für die freie Bewegung eines linearen (oder linearisierten) Systems mit einem Freiheitsgrad haben wir im Abschnitt 1.12.2. die Differentialgleichung

$$T\ddot{x} + D\dot{x} + Kx = 0 \tag{1}$$

mit konstanten Koeffizienten T, D und K untersucht. Wir betrachten nun die etwas allgemeinere Gleichung

$$T\ddot{x} + D(\dot{x})\dot{x} + Kx = 0, \tag{2}$$

wobei $D(\dot{x})$ eine zunächst beliebige, Funktion der verallgemeinerten Geschwindigkeit \dot{x} bedeutet (nichtlineares Dämpfungsglied).





Gleichungen dieser Art treten z.B. bei der Speisung elektromechanischer Systeme über nichtlineare Elemente u(i) auf. Unter gewissen
Umständen gibt es dann selbsterregte Schwingungen, die immer nichtlinearen Charakter haben.

Angenommen, $D(\dot{x})$ in (2) ist für $\dot{x}=0$ beschränkt, sodaß der Nullpunkt x=0 eine Gleichgewichtslage (einen stationären Zustand) angibt. Eine Linearisierung (falls möglich) liefert

$$T_{x}^{"} + D(0)\dot{x} + Kx = 0$$
.

Mit T>0 und K>0 ist die Nullage für D(0)<0 <u>instabil</u>, d.h., auf kleine Störungen folgt eine aufklingende Bewegung (oszillierend oder nicht oszillierend). Wir interessieren uns für die Bewegung des <u>nichtlinearen</u> Systems, wenn die Nullage instabil ist.

Es kann folgender interessante Fall eintreten. Die Dämpfungs-funktion $D(\dot{x})$ ist zwar in der Umgebung von $\dot{x}=0$ negativ (\rightarrow aufklingende Bewegung), nimmt aber für großen $|\dot{x}|$ positive Werte an und beschränkt damit das Anwachsen von x(t). Als Folge davon kann sich eine oszillierende, stationäre Bewegung einstellen, die ungewöhnlich beständig ist. Diese Erscheinung nennt man selbsterregte Schwingung.





Tatsächlich läßt sich für eine Gleichung der Art (2) mit T>0 und K>0 zeigen:

Gibt es positive Konstanten A, B und C derart, daß

$$D(\dot{x}) > B$$
 für $|\dot{x}| \gg A$, $D(\dot{x}) \gg -C$ für alle \dot{x}

und ist $\mathbb{D}(o) < o$, dann gibt es mindestens eine (nicht konstante) periodische Lösung.

Schreibt man die Gleichung (2) in der Form

$$\dot{x} = y$$
, $T\dot{y} = -D(y)y - Kx$,

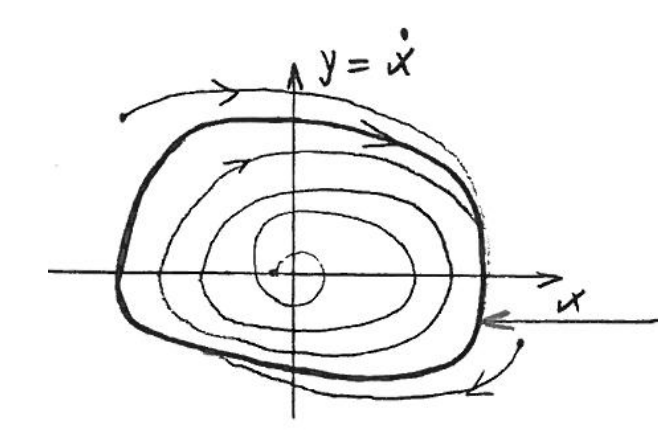
so definiert die Differentialgleichung erster Ordnung

$$\frac{\dot{y}}{\dot{x}} = \frac{dy}{dx} = -\frac{D(y)y - Kx}{Ty} \tag{3}$$

die Schar der Phasenkurven in der Phasenebene. Selbst wenn eine explizite analytische Lösung von (3) nicht möglich ist, läßt sich die Schar der Phasenkurven relativ einfach graphisch (Richtungs-feld, Isoklinen) oder numerisch bestimmen. Eine periodische Lösung entspricht einer geschlossenen Phasenkurve, z.B.







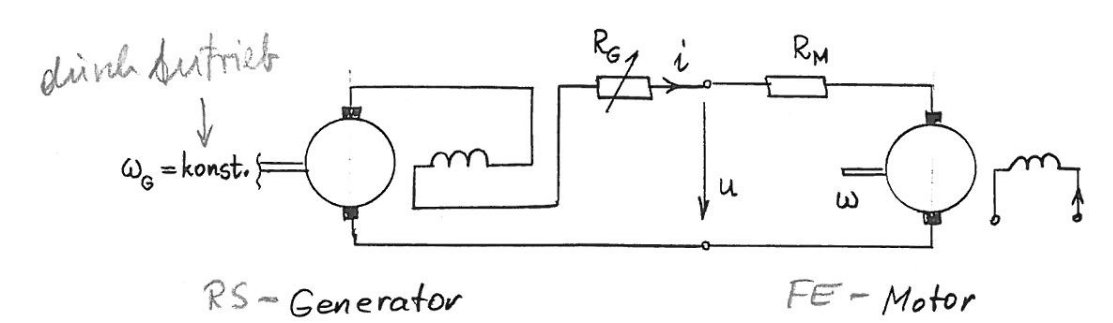
Phasenkurven von innen und außen münden in einen

stabilen Grenzzykel

ein: selbsterregte Schwingung

Beispiel: Gleichstrom-Reihenschlußgenerator speist fremderregten (Maschinenoszillator) Motor



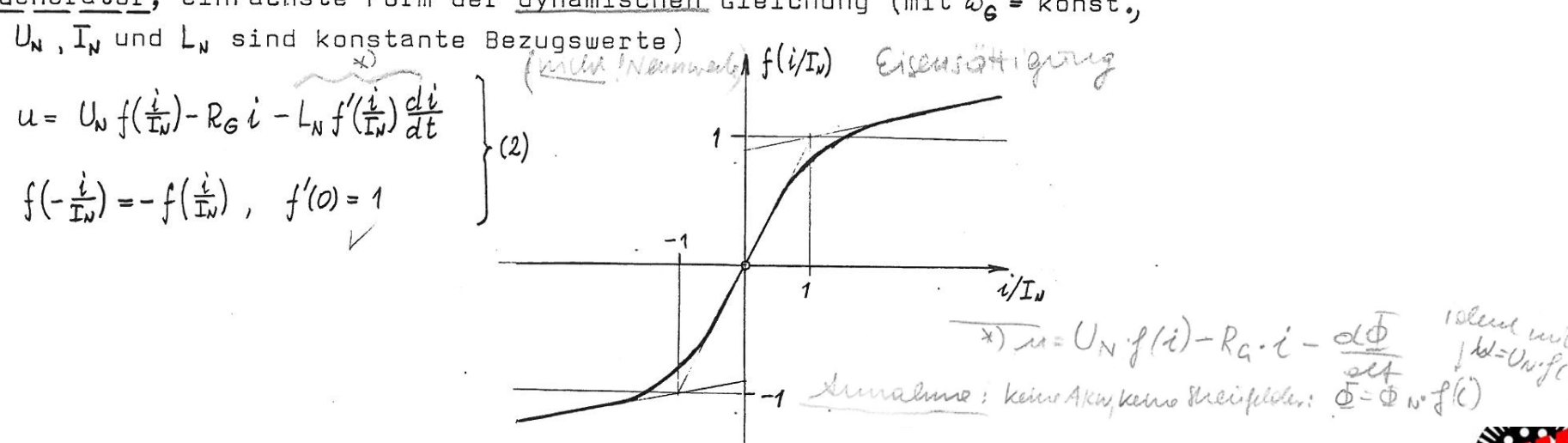


Motor unbelastet, einfachste Form der Gleichungen (Verne Sheinfelder) $u = K\omega + R_{M}i , \quad \int \frac{d\omega}{dt} = Ki ; \quad K = konst. \quad (1)$ Generator, einfachste Form der dynamischen Gleichung (mit $\omega_{G} = konst.$

$$u = K\omega + R_{M}i$$
, $J\frac{d\omega}{dt} = Ki$; $K = konst$. (1)

$$u = U_N f(\frac{i}{I_N}) - R_G i - L_N f'(\frac{i}{I_N}) \frac{di}{dt}$$

$$f(-\frac{i}{I_N}) = -f(\frac{i}{I_N}), f'(0) = 1$$





Bezogene Größen und Abkürzungen:

Damit folgt aus (1) und (2)

$$\beta f'(y)\dot{y} = f(y) - ry - x$$

$$\beta \dot{x} = \alpha^2 y$$

$$1.0,$$
(4)

oder
$$\int '\left(\frac{\beta}{\alpha^2}\dot{x}\right)\beta^2\dot{x} + \left[\gamma - \frac{\alpha^2}{\beta\dot{x}}\int\left(\frac{\beta}{\alpha^2}\dot{x}\right)\right]\beta\dot{x} + \alpha^2x = 0$$
 (5)

Linearisierung um den Nullpunkt gibt

$$\int_{0}^{T} \beta^{2} \ddot{x} + (Y-1) \beta \dot{x} + a^{2} x = 0. \qquad 7 \ddot{x} + D \dot{x} + V \dot{x} = 0$$
 (6)



 \Rightarrow Der Nullpunkt ist instabil für $\Upsilon < 1$ (hinreichend kleine Widerstände): instabiler Knoten für $\gamma < 1-2\alpha$, instabiler Strudelpunkt für $1-2\alpha < \tau < 1.\sqrt{2}$ Der Ausdruck in der eckigen Klammer in (5) ist dann bei $\dot{x} = 0$ negativ (Anfachung), kann aber für wachsenden $|\dot{x}|$ positiv werden (Dämpfung): Es kann sich u.U. eine selbsterregte, periodische Drehzahländerung des Motors einstellen.

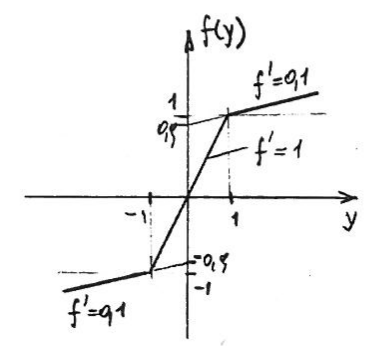


Aus (4) folgt die Gleichung der Phasenkurven

$$a^{2}f'(y)y\frac{dy}{dx} = f(y) - ry - x . \qquad \frac{dy}{dx} = \frac{dy}{dx}\frac{dy}{dx} = \frac{1}{x}$$
 (7)

Ist die Funktion f z.B. graphisch gegeben, so läßt sich das Richtungsfeld zeichnen und damit die Schar der Phasenkurven graphisch ermitteln. Eine stabile, selbsterregte Schwingung liegt dann vor, wenn alle Phasenkurven für wachsende in einen Grenzzykel einmünden.

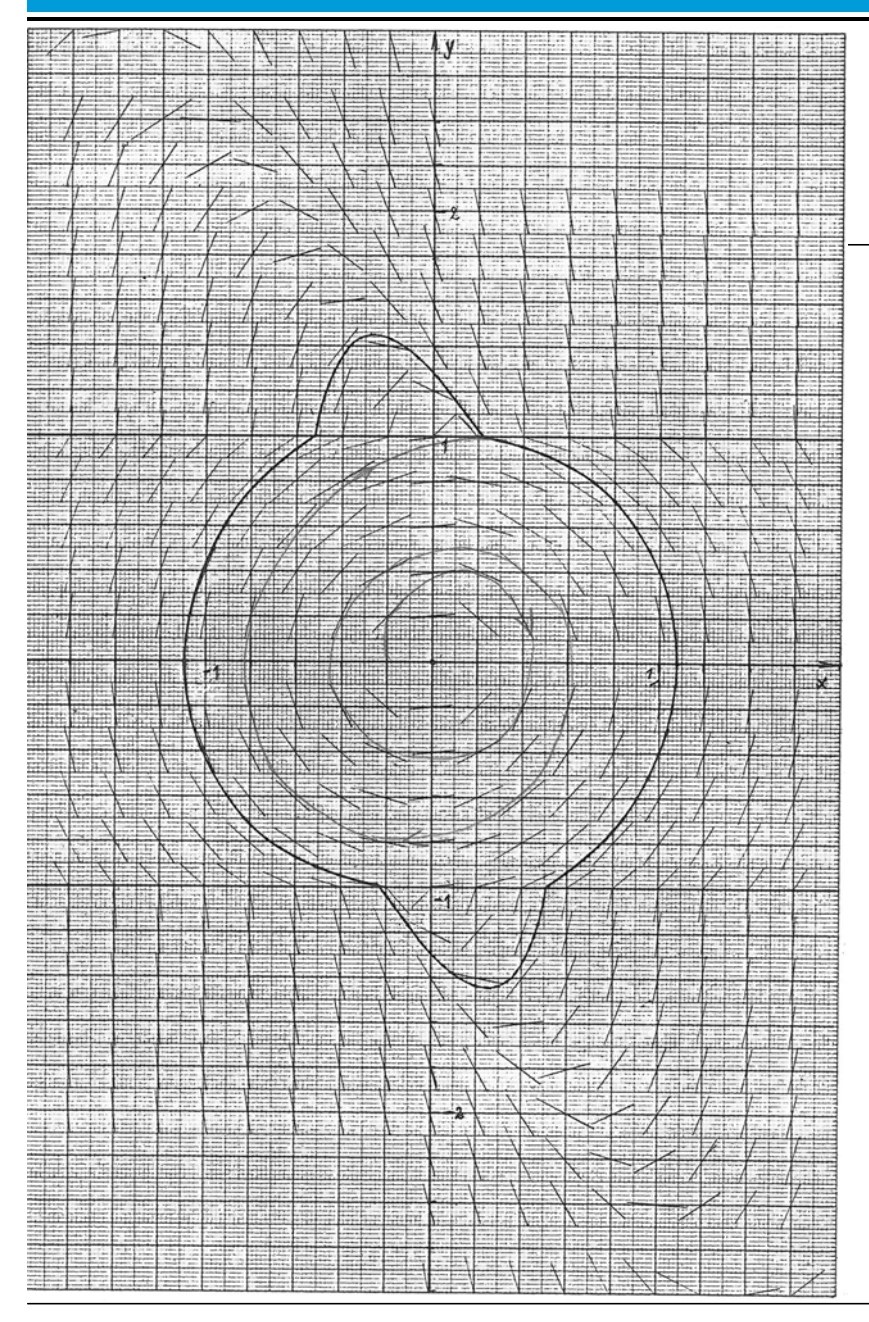
Das Bild auf S.71 zeigt das Richtungsfeld und den Grenzzykel für den Fall $\alpha=1$, r=0.9. Die Sättigungsfunktion f ist als



$$f(y) = \begin{cases} y & \text{für } |y| < 1 \\ \pm 0.9 + 0.1y & \text{für } y \ge \pm 1 \end{cases}$$

angenommen. (Damit ließe sich (7) auch analytisch integrieren).





Grenzzyklus-Konstruktion mit der Isoklinen-Methode





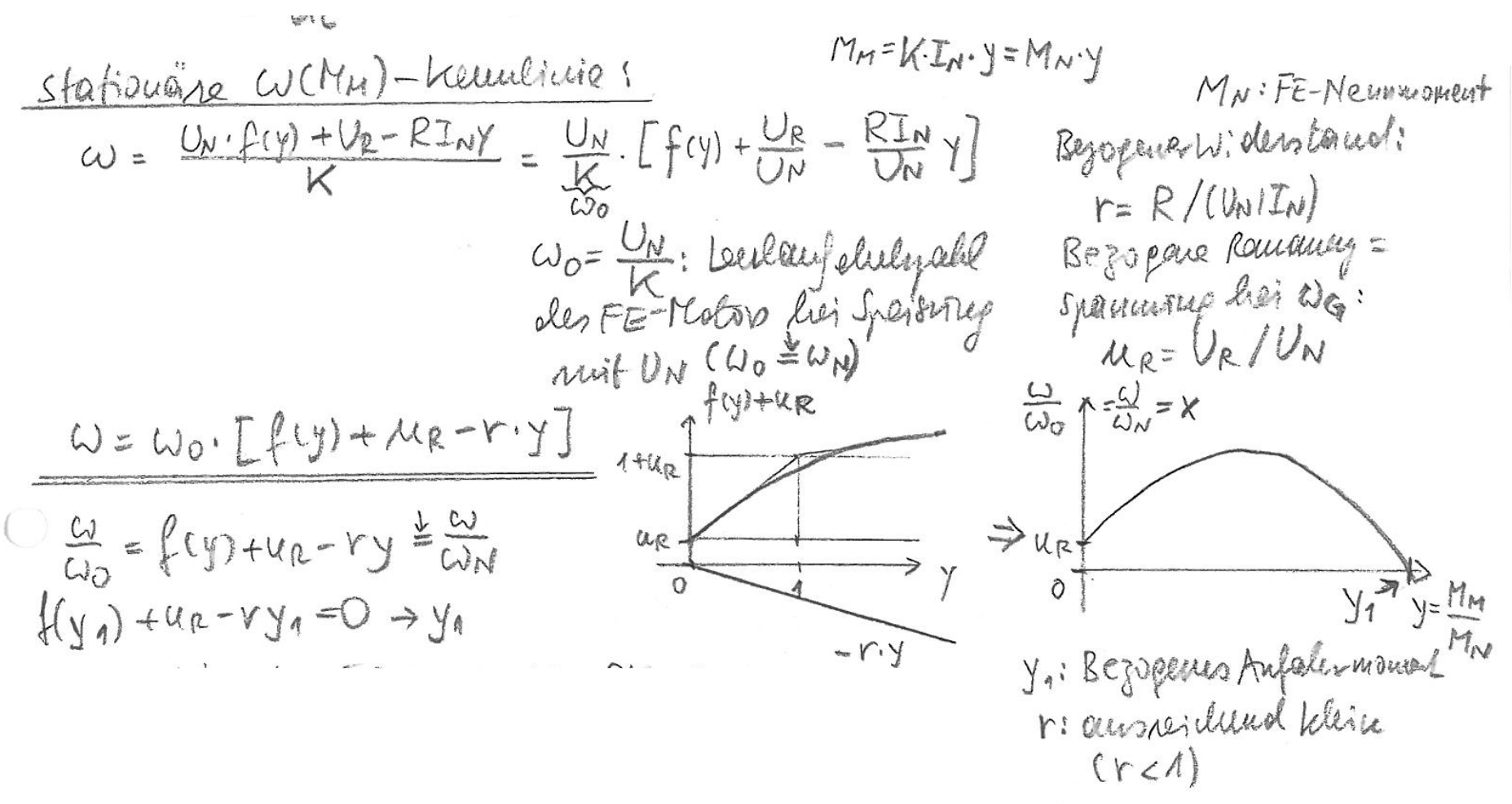
Maschinenoszillator (1)



Maschinen oscillator: RS-generator: Flus per Pol: \$\overline{\Pi}_C = \overline{\Pi}_i f(\vec{\pi}/\In) + \overline{\Pi}_R 70.1 Queutorsponning: Erzenez erzöhlpfeil agstem De: Remounen; Jenss pur Pal M= Kg. Wg. Dg - L. Rg stationair (i- konst.) a: Aukerstrom RG: generally: Auher + Feld: WG = Koust. durch Aulides moscleine widhings widenthand FE GS-1 Cotor: Verbrounder-Zählpfeilsystem. Wa=29 ng: penerator winhel = Kg = 20 Pc 1 : Pewalor = woustoute M= KHIW. Du+i.RM KH= =H: EM . f : Hator houstante TH: Konstanter Molor Plass per Pol W= 2 Tin; Winder per chimolog heil des Motors R=Ra+RM: gesannten W=2 Tin; Winder per chimolog heil des Motors R=Ra+RM: gesannten Authorise-Widenland K=KHOL=Roud. Kg. Wg. \$\overline{\Psi}_G = kg. Wg. \overline{\Psi}_N \def (i/IN) + kg. Wg. \overline{\Psi}_R = UN' \f(i/IN) + UR , y = \frac{i}{In} = \frac{i}{In} = \frac{U}{In} \frac{1}{In} = \frac{U}{In} \frac{ stationari J dw = Mm-Mc = K.i.-Mc = O > W= Konst., i= Mc Milashusund

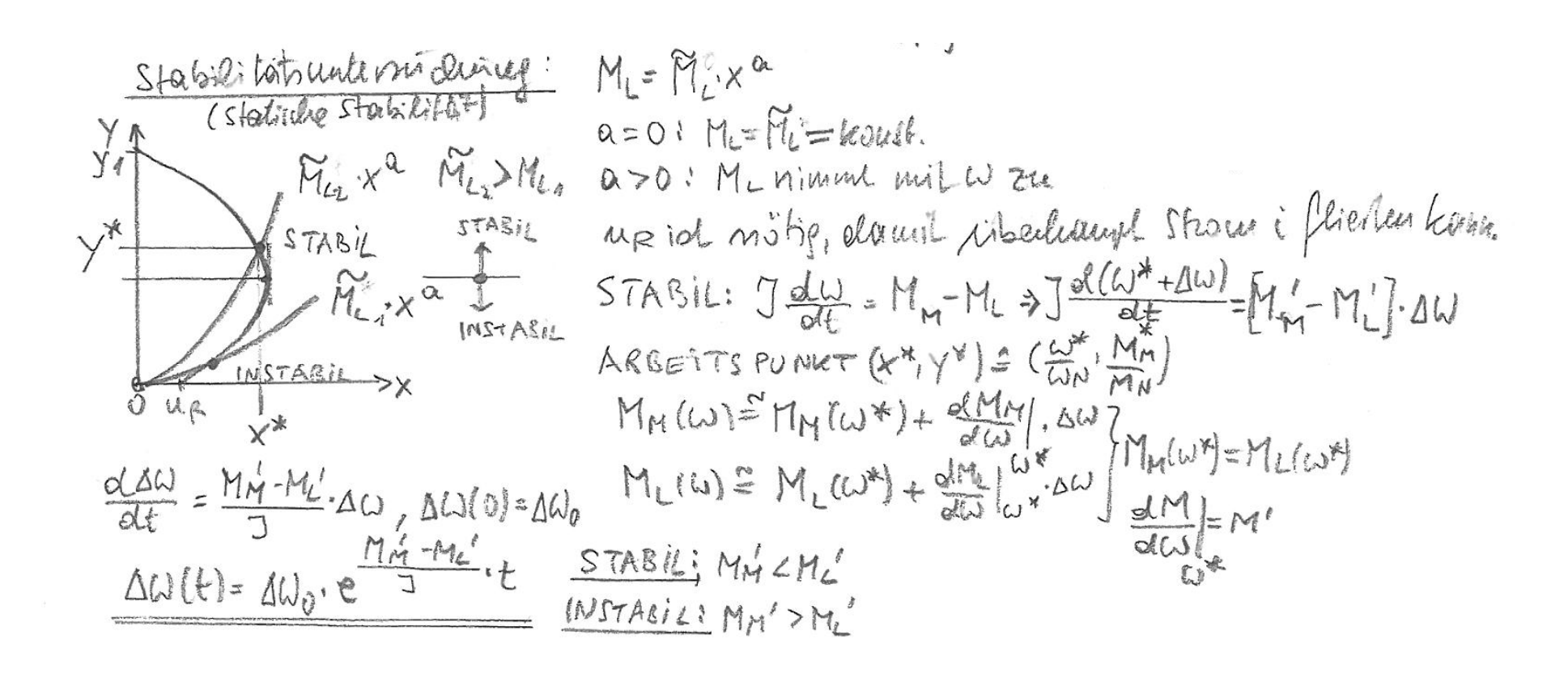
Maschinenoszillator (2)





Maschinenoszillator (3)







Maschinenoszillator (4)



Vereinfacherref: Vernachlasspring von lez in der Kennlinse Hoddauf non wax=0 mil MM(0)~y1 and z.B. Loudauf (ML=0), in alur instable! W(M=0) = UR·WN; Schwinging rellestenegt um W(M=0). Dom: olynomische flexlungen: >× (1) <u>Aunalime</u>: ur ≈ 0; LG; LM: Pennalon - u. Kotorouher = industricität

- \$\rightarrow\delta_G + Un. \(f(y) - y \cdot \ RGIN - \gamma \cdot LGIN = K. \omega + \gamma \ RmIN + \gamma \cdot LmIn (2) Sunaline: Kein Last mountal : M=O, Keine Reibing: D-W=O Jat wn = MM = Kil = KiInign, Lather DG= DN. df(y)·y+DR= DN·f'(y)·di jn, DN=LN, DG=LN·f'(y)·di/dt

f'(y)

f'(y) (1) Unifry - Lnif'(y) SilInIn - YIRIN - YILIN = KIW UNI B= LNEW) B=LEW f(y)-B.f'(y).y-ry-B.y=x =>-f(y)+B.f(y).y+ry+By+x=0 (2) $\dot{x} = \frac{KIN}{UN} \gamma \frac{1}{J} = \frac{K^2IN}{UNJ} \cdot \gamma \Rightarrow \dot{x} \frac{LNJN}{UN} = \dot{x} \beta = \frac{K^2(IN)^2 LN \cdot y}{J} = \frac{LNJN^2}{J \cdot UN^2} y = Q^2 y, \quad Q = \sqrt{\frac{LNJN^2}{JUN^2}}$ $\dot{x} \beta = Q^2 y \Rightarrow \gamma = \dot{x} \beta / Q^2$ (M+(2): B=f(xf) x -f(xf) + rxf2 + Bxf2 + X=0 | xa2 (B.B+B2,f(xb))·x+[r-ax+f(xb)].Bx+a2x=0



Maschinenoszillator (5)



Für kleine Weite
$$\dot{x}$$
: $r - \frac{\alpha^2}{G\dot{x}} \cdot f(\dot{x}\dot{\beta}) \approx r - \frac{\alpha^2}{G\dot{x}} \cdot \dot{x}\dot{\beta} = r - 1 < 0$, where $r - \frac{R_0 + R_m}{UNIJN}$ of $(2B : r = 0.4)$ $f(y) \approx f(0) + \frac{df}{dy} \cdot y = 0 + 1 \cdot y \approx y$ and $f(y) \approx \frac{1}{G\dot{x}} \cdot y \approx 0 + 1 \cdot y \approx y$ and $f(y) \approx \frac{1}{G\dot{x}} \cdot y \approx 0 + 1 \cdot y \approx y$ and $f(y) \approx \frac{1}{G\dot{x}} \cdot y \approx 0 + 1 \cdot y \approx y$. First, solution of $f(y) \approx \frac{1}{G\dot{x}} \cdot y \approx 1 + 1 \cdot y \approx y$. Farth solutions of $f(y) \approx \frac{1}{G\dot{x}} \cdot y \approx 1 + 1 \cdot y \approx y$. The solution of $f(y) \approx \frac{1}{G\dot{x}} \cdot y \approx 1 \cdot y \approx$



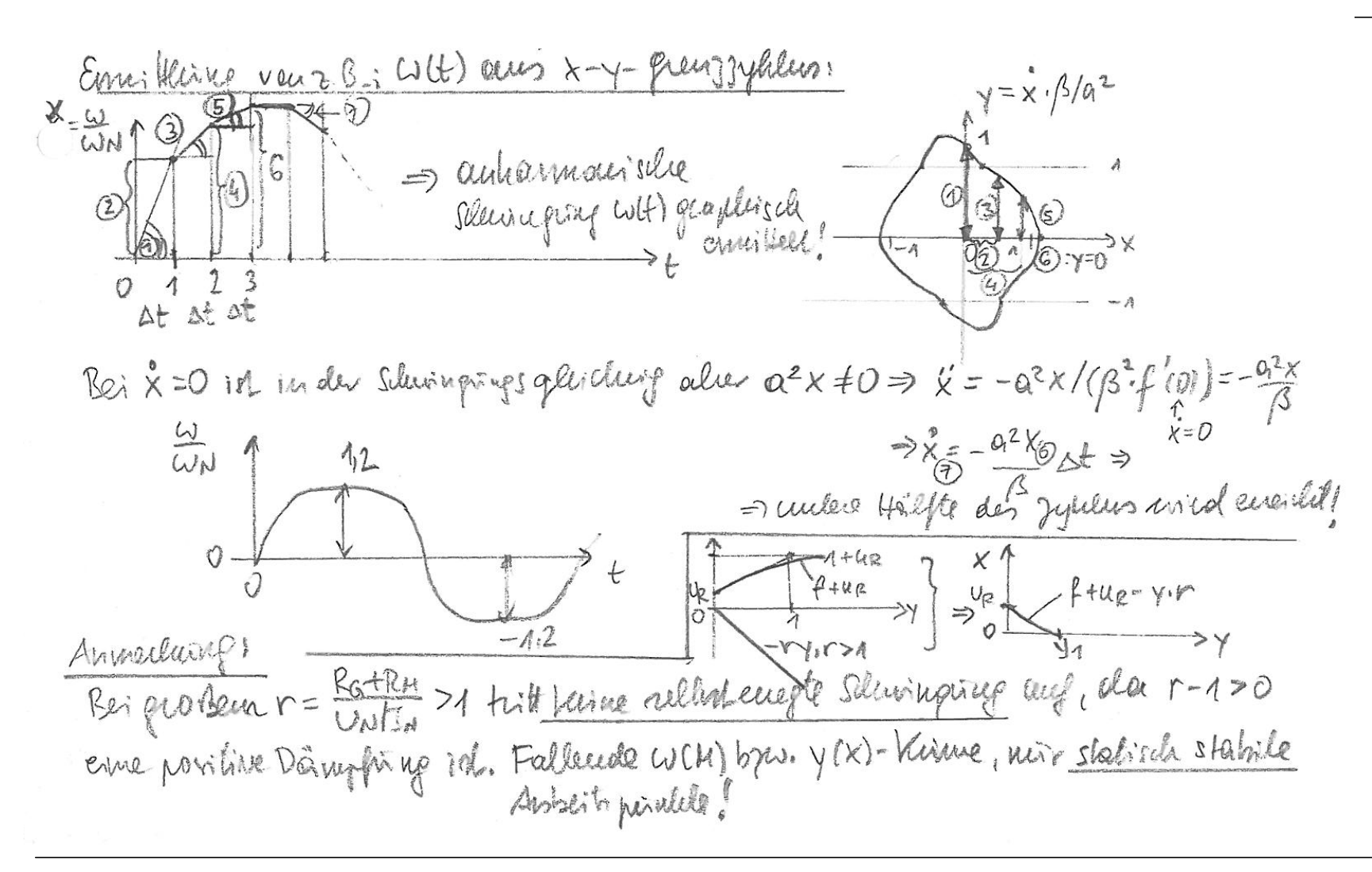
flerich gewilles pirult: Fix URNO: X=0, X=0=> 92X=0= X=0= W = W=0 geeidigewaterpunkt 3 selbert erregte Schripping um

Seindigewaterpunkt 3 mm Null

Win (in Winhlich wert run W= MR: WN ZEWN Bevoluning der Phasen højeldonsen fir (1) LM+La=LeeLN = Beck (2) f(y)= y, 14/81 mid ±0,9+0,14, 14/31 => f'(y)=1; 14/81 Maschinenoszillator (6) Aus Bf'(Y) ig = f(Y) - ry - x mud Bx = a2y folgt: f'(Y) = 0,1; 1 × 1 > 1 dy = = [f(y)-ry-x]/(p.f'(y)) => a2y.f'(y). dx = f(y)-ry-x Fix Jedes Westerpara (x,y) my ober Pleaseeselsene (x, f_2x) wind benedied: $\frac{dy}{dx}\Big|_{x,y} = \frac{f(y) - r \cdot y - x}{a^2 \cdot y \cdot f'(y)}$ for z. B.: a=1, r=0,9 < 1!> x (Duely alu) Stabiler Grenzzyhlus

Maschinenoszillator (7)







Maschinenoszillator (8)



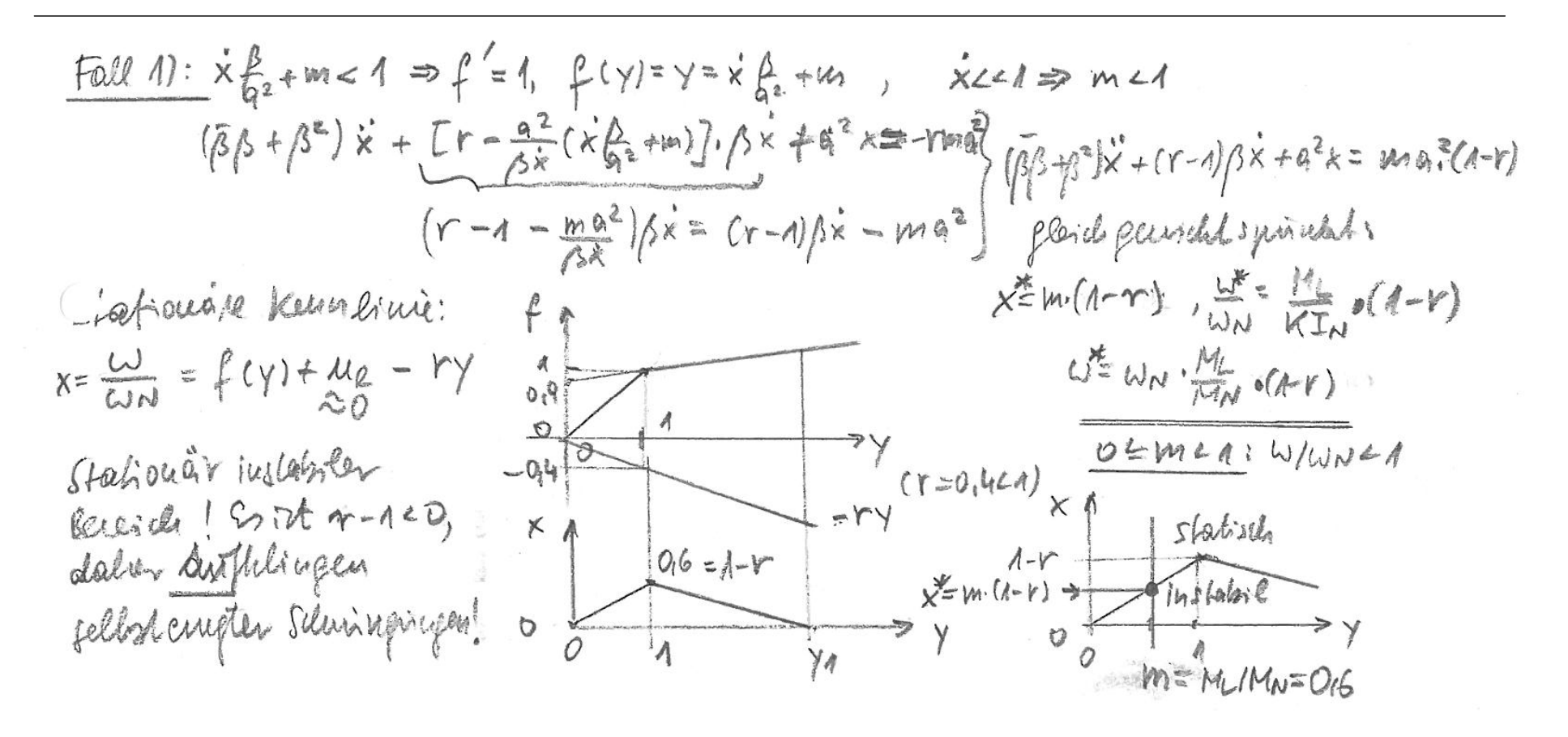
Cinflass des Last moments and die Entitlering relighenteller Soluringuispen:

(2) $J \frac{d(\omega_{1}\omega_{N})}{dt} = \frac{MM}{\omega_{N}} - \frac{ML}{\omega_{N}} \cdot \frac{dx}{dt} = \frac{K \cdot UI_{N}}{\omega_{N}} \frac{ML}{J} = \frac{ML}{\omega_{N}} \cdot \frac{ML}{J} = \frac{ML}{\omega_{N}} \cdot \frac{ML}{\omega_{N}} = \frac{ML}{\omega$



Maschinenoszillator (9)







Maschinenoszillator (10)



[r- \frac{\alpha^2 \cdot \delta^2 \left(\alpha \right) \frac{\alpha^2 \tau \right)}{\beta \delta^2 \quad \qquad \quad \quad \quad \quad \quad \quad \qquad \quad \qquad \quad \quad \quad

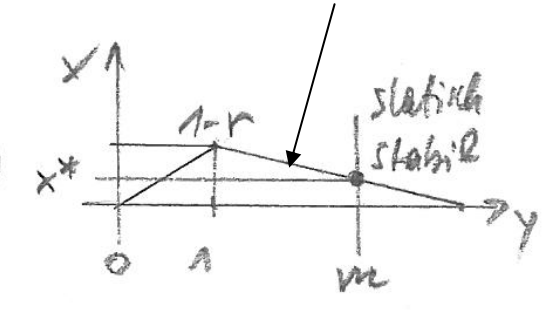
(BB-1/2)x + [r-91]. Dx + 02x = -rma2+ 92(99+0.1m)

Scationer stabiler levels! Stabil! = m(0,1-v)+0,9+0.1m

Es (of 7-0,1 *) porisis, daler kein Auflilingen sellenberregter Silwingingen!

*)
$$r > 0,1$$

Fallender Ast der x(y)-Kurve: Anstieg: 0.1 - r < 0, also r > 0.1

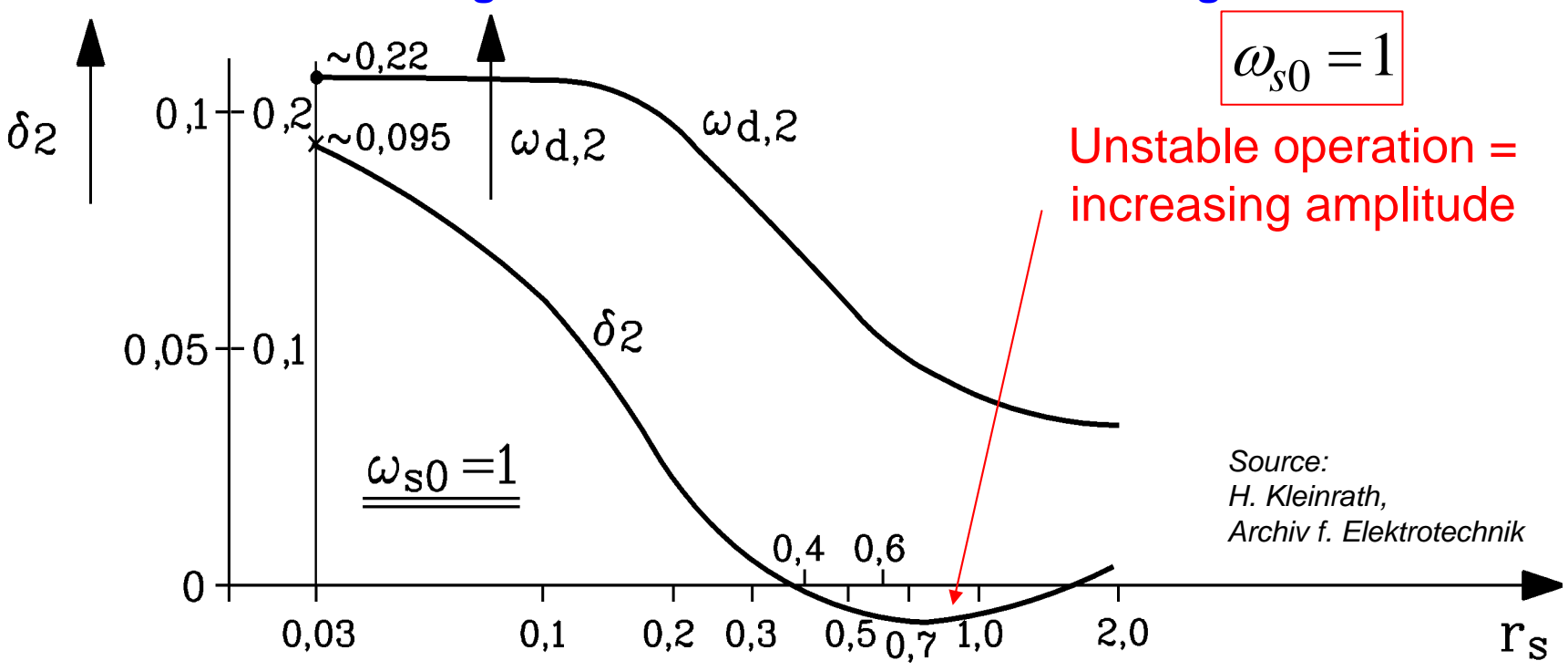




Non-linear dynamics of induction machines



Linearization: Small signal transfer function for increasing stator resistance



- Variation of damping δ_2 and natural angular frequency $\omega_{\rm d,2}$ with varying stator resistance at rated stator frequency and constant rotor flux linkage at rated value, no-load machine operation

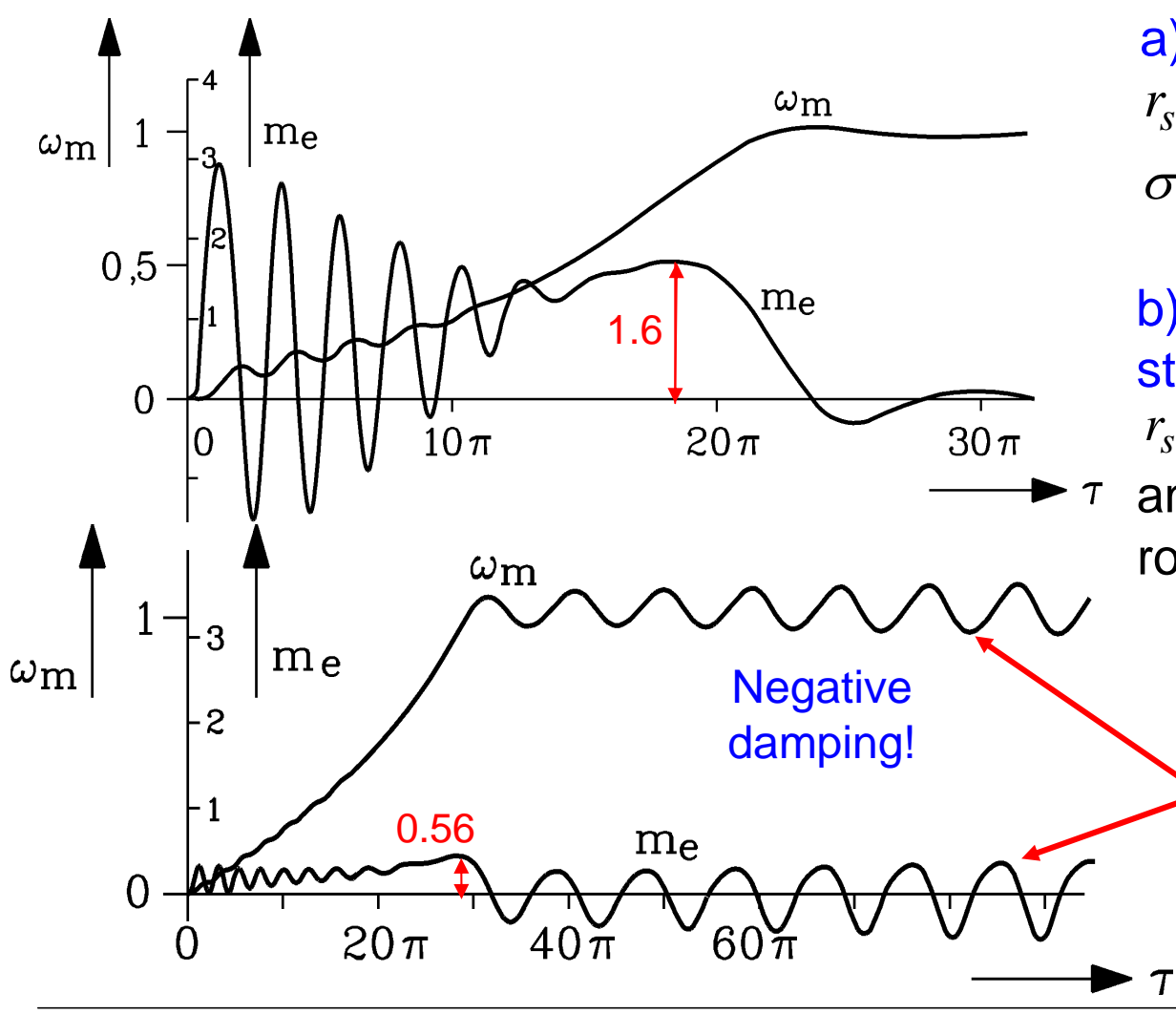
- UNSTABLE OPERATION AT BIG STATOR RESISTANCE!



Numerical solution of non-linear dynamic equations of induction machine



Starting machine at no load, constant stator voltage & frequency



a) directly

$$r_s = 0.03, r'_r = 0.04, x_s = x'_r = 3.0,$$

 $\sigma = 0.0667, \tau_I = 75$

b) with 13-fold increased stator resistance

$$r_s = 13 \cdot 0.03 = 0.39$$

and by 1/3 reduced rotor inertia: $\tau_J = 75/3 = 25$.

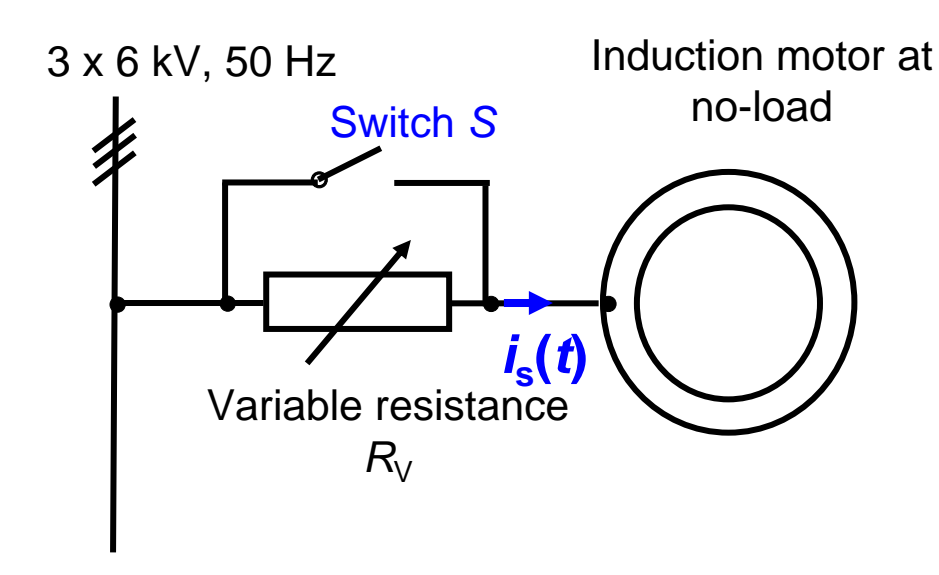
Reduced breakdown torque:

$$(1 - 0.39)^2 \cdot 1.6 \cong 0.56$$

UNSTABLE operation: Speed oscillation amplitude increases, until it reaches the limiting cycle

Measurement of instability of the induction machine at big stator resistance





Cage induction motor with deep bar rotor

6 kV Y, 3500 kW, 415 A, 50 Hz

$$Z_{N} = 8.35 \Omega, 2p = 4$$

 $R_{\rm s} = 0.0426 \ \Omega \ (20^{\circ}\text{C}), \ r_{\rm s} = 0.0426/8.35 = 0.5\%$

No-load current: $I_{s0} = 74.2 \text{ A}$

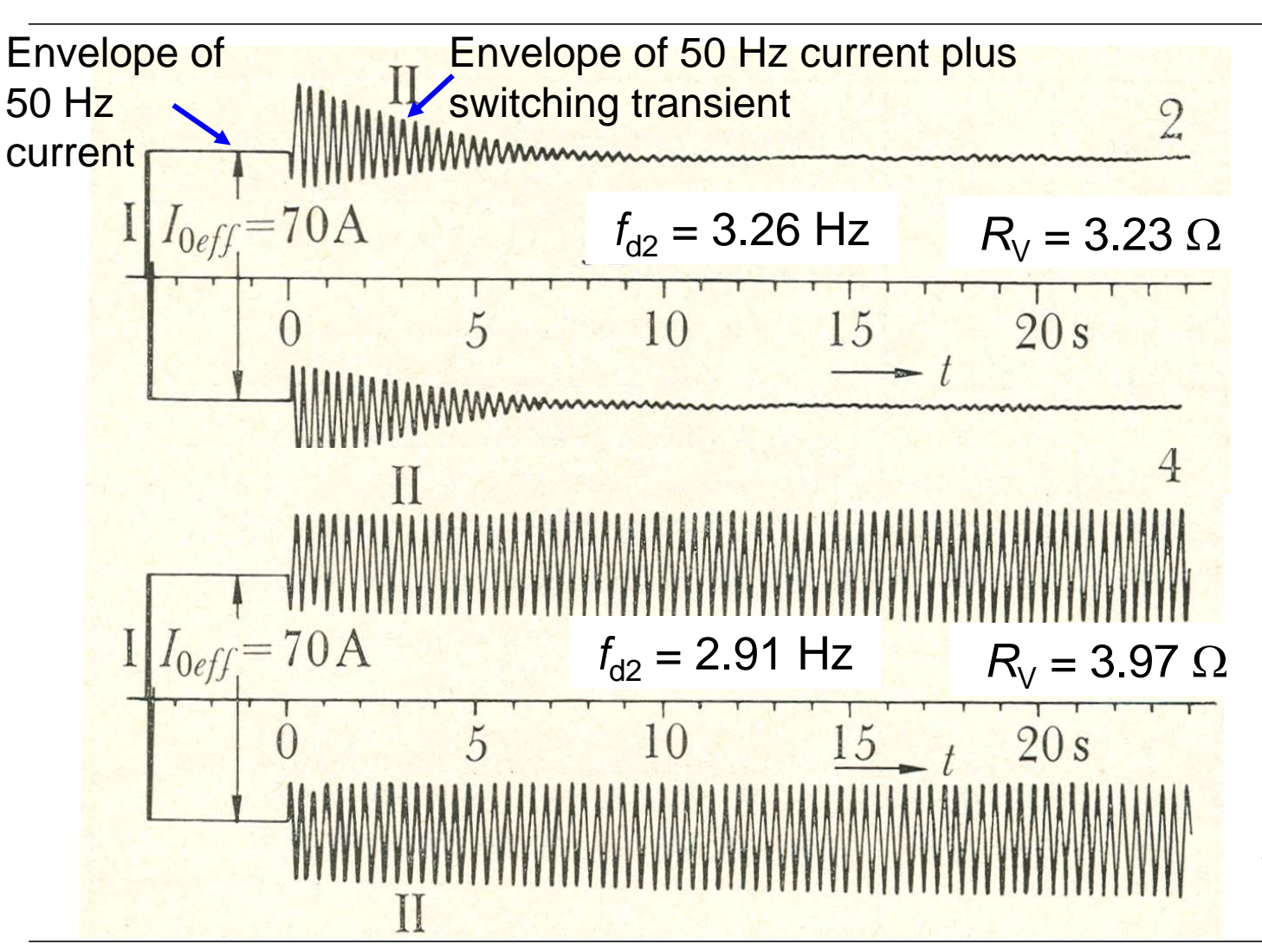
Historically first reported measurement of induction machine instability (BBC, Mannheim, Germany, 1969):

- Direct no-load start up of the induction motor at the 20 kV-grid with a 20kV/6 kV-transformer at closed switch *S*. Transformer impedance $X_T \approx X_{s\sigma}$ helps to stabilize!
- Opening of the switch S after completed start-up at no-load speed
- Measurement of the 50 Hz-no-load current $i_s(t)$



Induction machine: Measured stator current with a big stator resistance





Stable operation

$$R_{\rm V}/R_{\rm s} = 75.8$$

$$r_{\rm s} + r_{\rm V} = 0.39$$

Zero damping = Limit of stability:

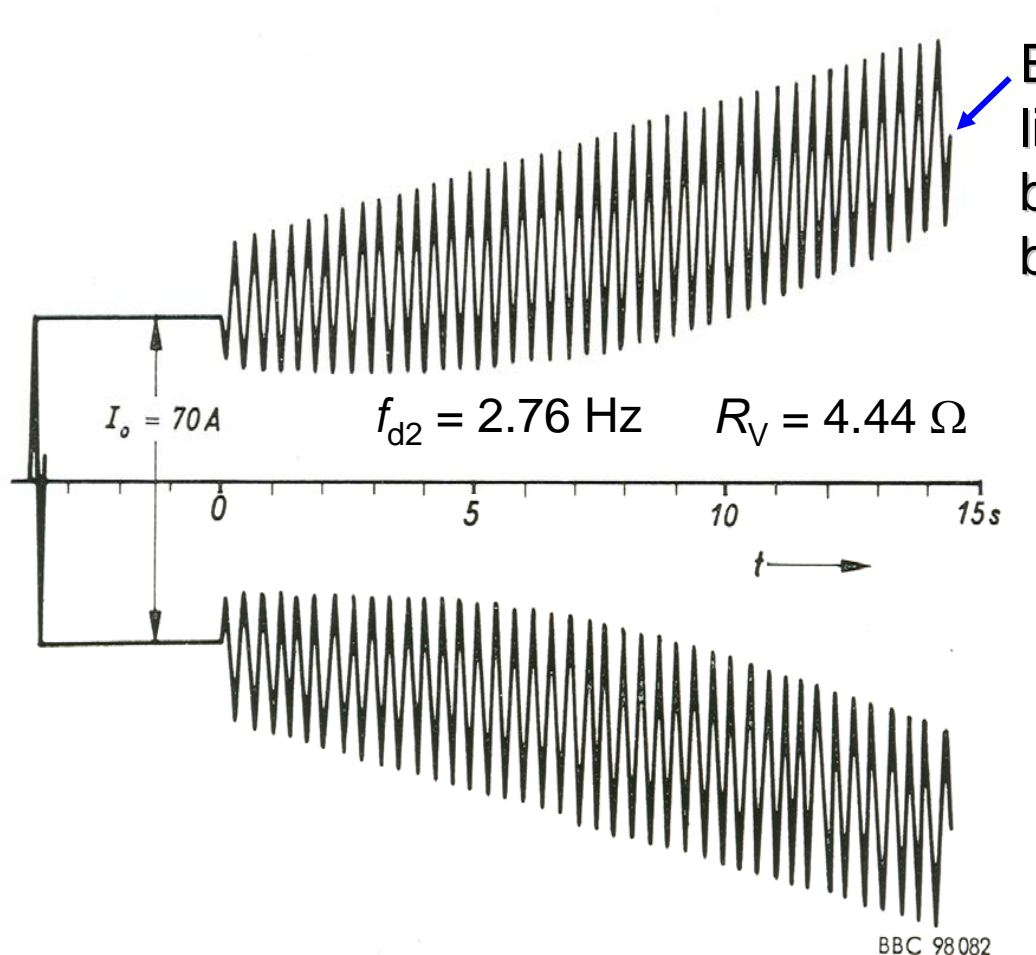
$$R_{\rm V}/R_{\rm s} = 93.2$$

$$r_{\rm s} + r_{\rm V} = 0.48$$

Source: BBC, Mannheim, Germany

Induction machine: Measured unstable no-load stator current with a big stator resistance





Experiment terminated (before limiting cycle is reached) due to big noise of the motor, caused by mechanical vibrations

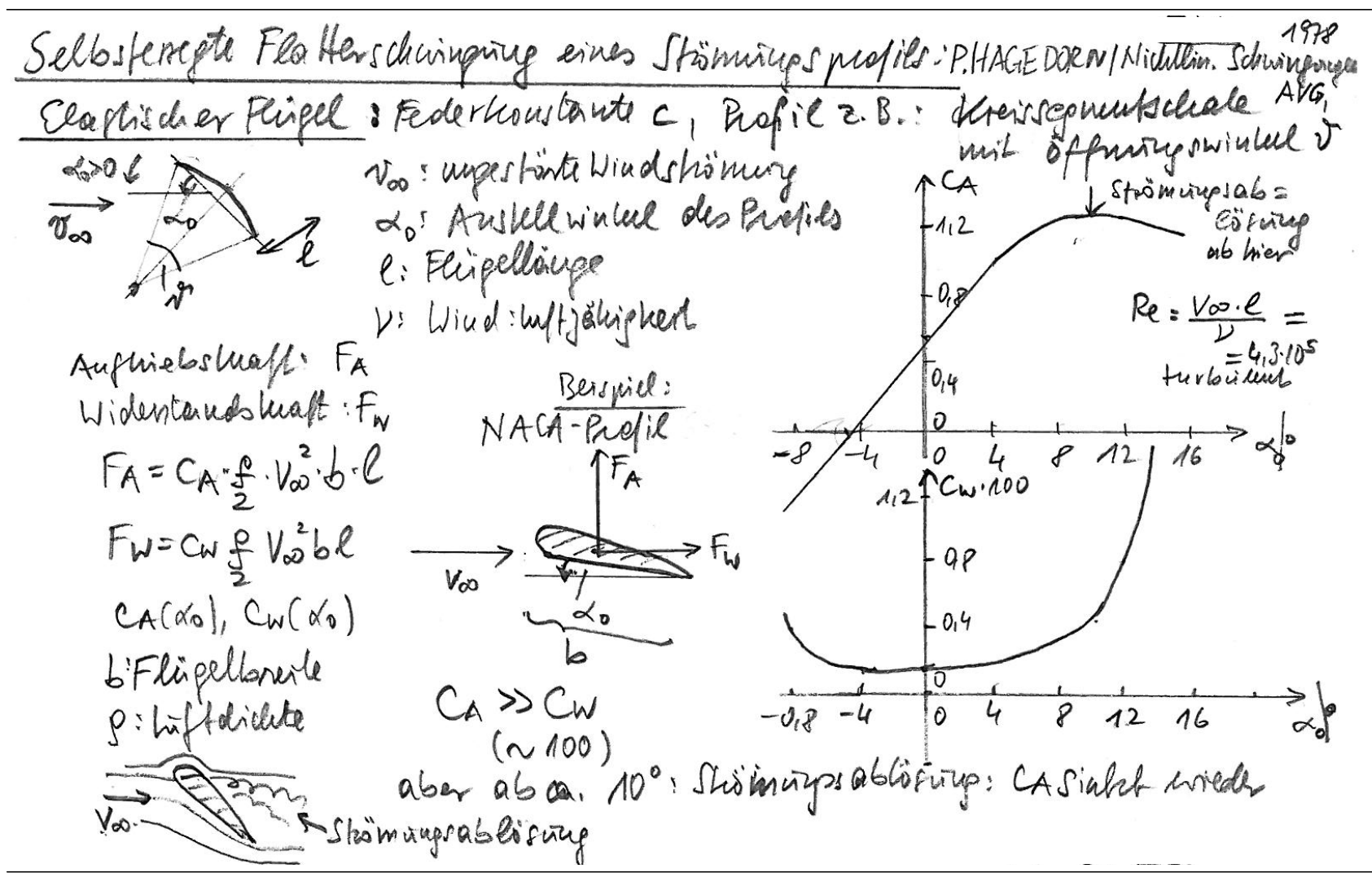
$$R_{\rm V}/R_{\rm s} = 104.2$$

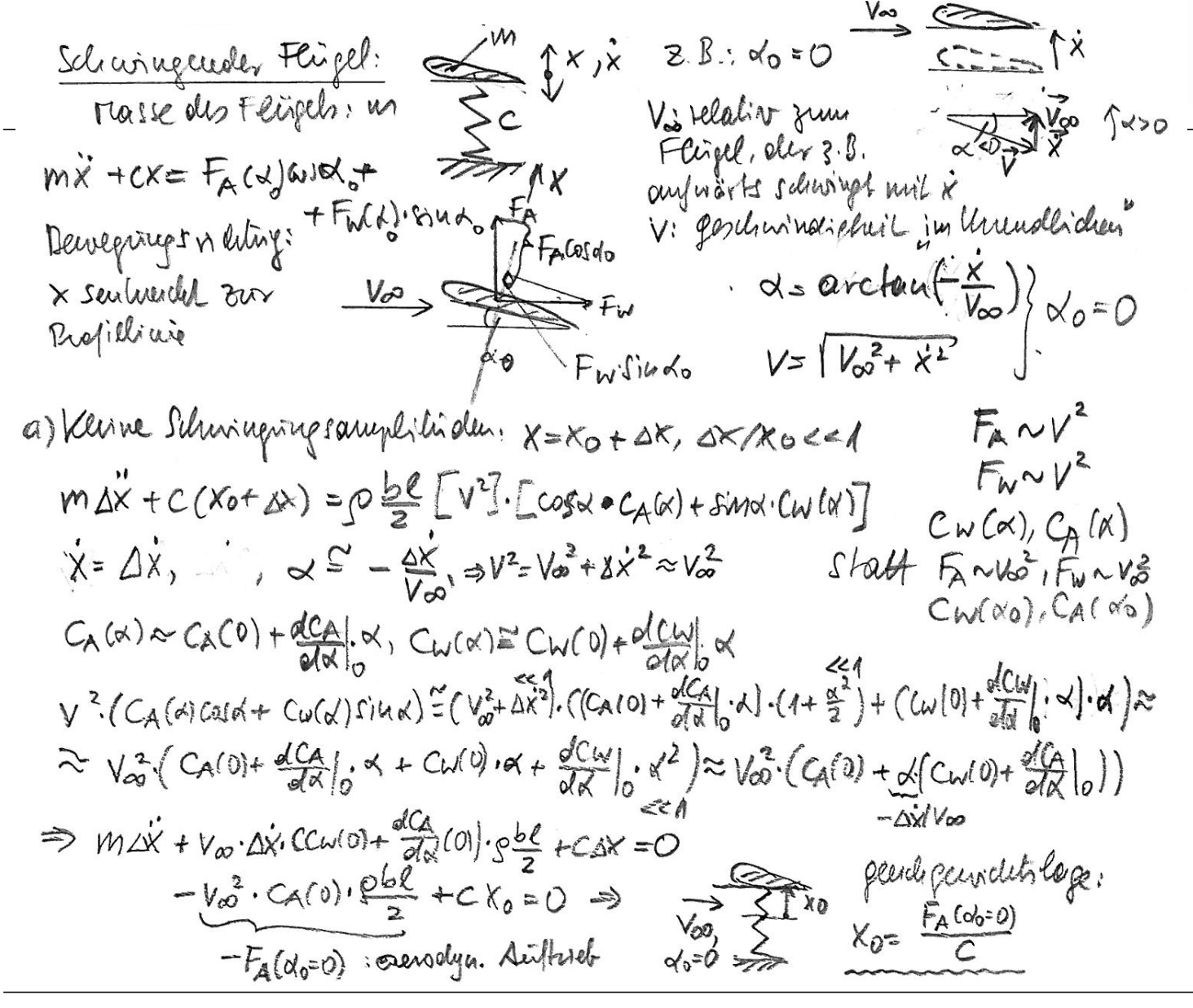
$$r_{\rm s} + r_{\rm V} = 0.54$$

Source: BBC, Mannheim, Germany















Schwingungspleichung für kleines DX/Xo: bei Auströmnichel do =0! MAX + 96 Vo. (CNO) + dCA) + C. AK =0 Selbstenegte Schwingung down, wenn Dämpfring negative: CWOI+ old | KO

(DEN HARTOG, 1932)

Beryil: Bein obigen NACA- Profil ik dca >0, CWGo=0)>0, dater. KEINE relluteueglen Foorterselluringungen, also als Fligel branichter! De Doinfring in fir do to und Weires DX/Ko pepelien detulis Selovor [dcal + Curo) - (CARdo) - dcu). to do +2. (CARdo) · cos do + Cw (do) findo) · Hin No Bei 20=16°: Stromungsabligning: det = -1,9, CW = 2-10-2, CA=1,15, dew = 0,286 Hg do = 0,286, COSdo = 0,96, ALLOG = 0,275 -19+2·10-2-(115-9286).9286 +2(115.0,96+2.10-3.0275).0275=-1.04 50 => estuteu selbstempte Flo Hersduvingungen auf



Beispiel: Feileitiups seil mit ors jumeleischen Eisbelag (der merst im Wind = schabten wächt) oder pegenwasser-Prunsalen an der serbhaflode! Strömmingrablörning let do=0! > Eis-Seil-Right in Unsquirelist Wie - neralin Damphry! traffligel! Es weiden selbstenegte Sertschwingungen (ngaloppingt) erregt! ACHTUNG: Bei geoßen Schwingungs augliducen X int der Doimpfongs= term meça der Nichteinsacitäl provision > Beglanging der Amplitude > => grenzy blus! des Schennigung Dā upping: 8 5. (Voo + x2). (CAG). cos x + CW(x). 6mx) wit d=-anty x, 1x11 - 8° ELE 8° um p° selve NACA -6=0 => CA(L). CO/d + CW(d) Prind >0 fird>-4°:0/1...1/2 ≈ 04.10°2 <0 bui do=0 - Prolik Für 2>-400, Dampling notifier





ACHTUNG: Sellwheueste Sentschwingungen deinfunuraht mit Winhelenegten Sentschwingungen («Vibrations") Neuwedsselt enleden.

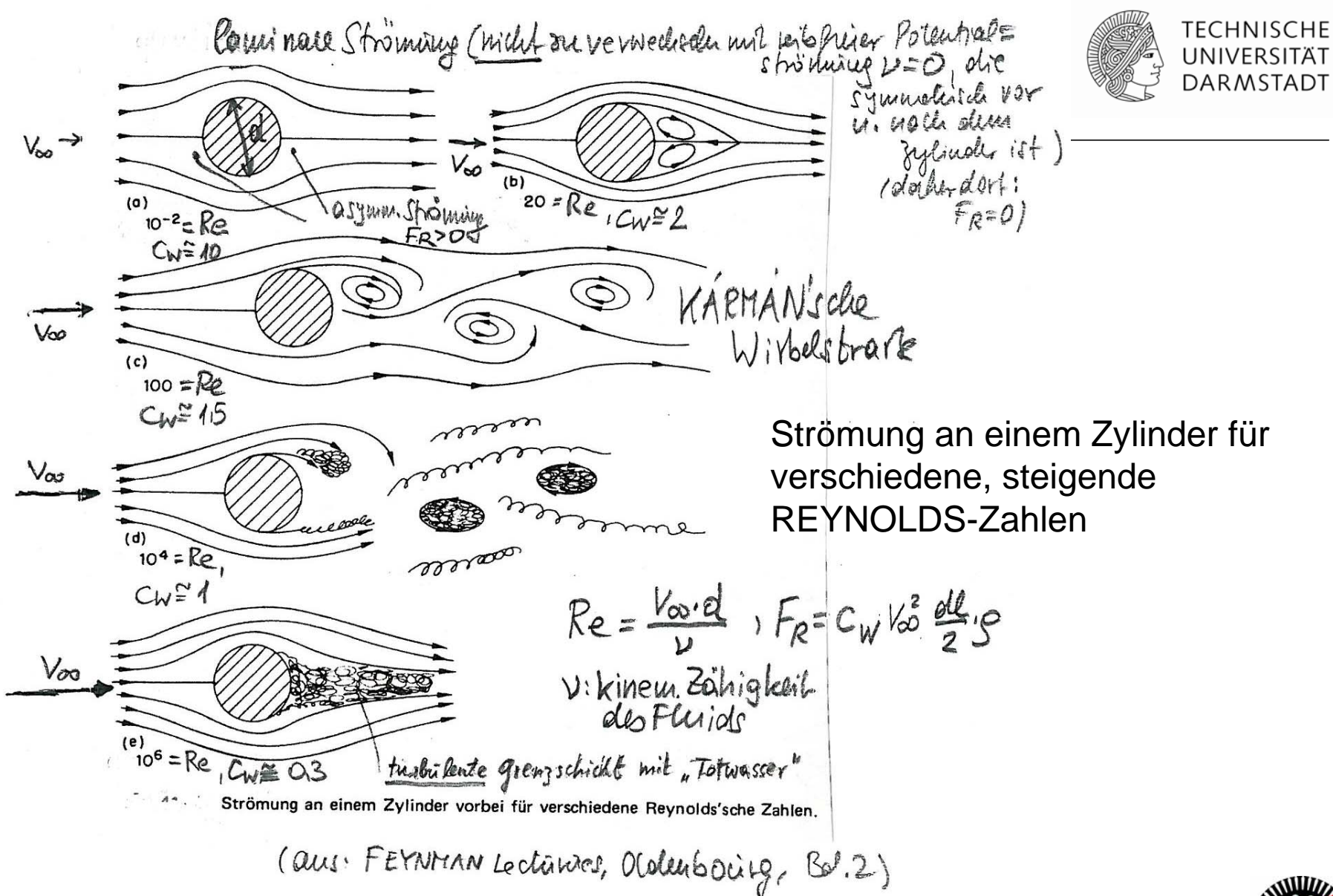
Winhel eneste Seibalmingungen treten heim Symmetrischen fert profise

durch abwechselnde Winhelahlis turg am der Leesente (= pendische

Luafi impubre) auf, die im Resonanfell frurege = 27 [= große

Schwingungsamplifinden engelien.







Theodor von KARMÁN: Berchuiro der Wichelshark, die dunch (heere) · Peibirez in dem Feriel (Faliquit i) au der abstromuden feile entsteld. · In restauge presen Showingen (Potentials himmung) entitlem KEINE Will! Linksvirbel Buspiel: Kuiszylander bw: Breite der Wirbelstra R "I upuls outige" Weekselhraft en: Benode der Willed Läuwlich FRN sentueded for Wind vidiling to Vw: Whele gentiem - Gentlem not; fluit Reynolds Jakel: Re = Voord Klein, Noch Frequency du Wirbelas lörning vous Kreispylinder: f= V00-VW = Fupnery der Knowfram refining. buller = 0,28, Showings widerfound del. Winkells Edwing: CW = IR [1.50 W - 0.63 (1/2)27 Differential pleidury für Selschwugung: mx + Cx = FR: Sin (211 fut) Schwingeregsamplitude & meil blever als serbdindenumer of (ivibrations"), Visimen durch Asstandshalter bzw. Seil disnefter verbleinent werden. Für SOOL Re < 50000 int 0,18 & St- diffe & O12 (StiSTROUHAL-JOBAL,







Get Vibra House: Viud gerdansindig keit $v_{\infty} = 1...6 \text{ m/s}$, v_{∞ fw = St. Voo/d = 0,2. (1...6)/0,02=10...60Hz b) sertauren (galopping): bei starkwird Vo=15...205 und Eisausdy (NROC): Compsone Schwingungen (sellideregter grows y below) mit georsen Amplituden. f ≤ 1... 5 Hz, & x 5... 10 m > gefaller der Serlberütring untendicalliclus Phaseu V, VIW-> Kirpschlisse! (H, STIMMER: Freileriungen; EUM, 1877, H, M. p. 451+461) (J. WALLASCHEK: Ermillung proxis be jogener Windergoup leistinger duch Sduringings miningen an ale. Freiterlinger, E-witscheff 88(1989) (H. MAIER et al .: Anneuding des Lauder Wellen verfalleurs and olin Entriclings moderation winderregter Seils de wing un hagen, E-Wirtschaff, 86 (1987), H.M. p. 931-936





Brichersduringeryen dinh WINDERREGUNG:

Beispiel: Buiche über die TACOHA MOTTOWS, USA, Brudes steet Washington. Buiche als Höuge brücke my Holelkasten träger (Hölle a = 2,4m), Spanneit: l=853m, selv schland: l:l=1/350, daler wenig seef und schwindrade only gib. Existration: 1.7. 1940, schou bei lerdite an Wind: Winder enega Brege = Schwingen upon mit Recovery her for 1 Hz mit Amplituden von 60 cm

> Kawaa juu Mouitoring shulalliel! (agallopping gertie")

Herbstriam: V=67 kulle: sellentenegte Schurupungen als Torcious= solurupung, f=0.2Hz (wedurp) mil hoher Amplitude, nach 45 Kinutes Peissen die Häuge seile, und die Brüche stürpt von hatter. Newbow 1950 ab Höuge brücke mit Fach wech tragen zur Venterfrüg

Seit 2007: gris vere Häugebriche men enbaud!



1.14.5 Chaotisches Verhalten nichtlinearer Systeme



Chaotisdus Verhalten nichtlineauer Suprteme

Ein dynamischer Prozess hat twotz nahe beisammen liegender Antengeweite K,10), K2(0) Löningen X,1t), X2(t), die sehr stouk obsflerieren. Aüch ele letrische Antique und Aktoren mit michtlinearen Stellgliedern binnen tich "chartisch", zwar deterministink, aller regel los, averhallen.

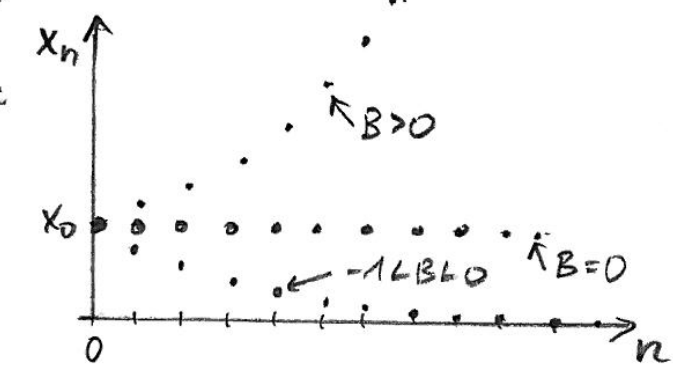
Beispiel: Wodstringprozers 1: lineares system - Exponentielles Wachstring Xn+1 - Xn = B. Xn Der zuwacho int proportional zein Ausgampsproprilation Xn. Birl the Uschstring eine teine Zahl, Ko: Sterrtwert (n=0)

Listing: X(n) = Xn 1 Xn+1 = BXn+Xn=(B+1)Xn=(B+1)2. Kn-1= ... = (B+1)n+2. Ko

$$X_{n}=(B+1)^{n}$$
, $X_{0}=X_{0}\cdot e^{n\cdot e_{n}(B+1)}$ X_{n}

-12BLO: OLA+BL1: -02 Clu(1+B) LO: Abualime lim Xn > 0 exponential

OLB: Bu(1+B)>0: exponentielles Wachelbren

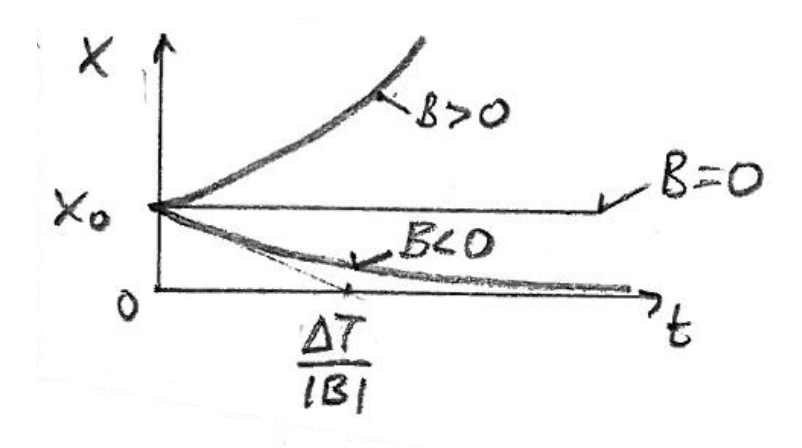






Kontinuieliche Nöbeuruf des diskuten Warhstrims prozenes ($h \rightarrow h + h$: Zeit ΔT , ξ , ξ .

Verzetahous periode mit Samen bilding, Aussaal, Friedet entwicklung, Samen bilding...) $\Delta T \Rightarrow 0$: Kontinuierliche Vermulvirup. $\frac{X_{n+1} - X_n}{\Delta T} = \frac{B}{\Delta T} \cdot X_n = b \cdot X_n$ $f = \frac{Wardstriam}{Zeit}$ linn $\frac{X_{n+1} - X_n}{\Delta T} = \lim_{\Delta T \Rightarrow 0} \frac{X(t + \Delta T) - X(t)}{\Delta T} = \lim_{\Delta T \Rightarrow 0} \frac{X(t)}{\Delta T} \cdot X_n = h \cdot X(t)$ $\Delta T \Rightarrow 0$: Keuchstriam $\frac{X_n + X_n - X_n}{\Delta T} = \lim_{\Delta T \Rightarrow 0} \frac{X_n + X_n - X_n}{\Delta T} = \lim_{\Delta T \Rightarrow 0} \frac{X_n + X_n - X_n}{\Delta T} = \lim_{\Delta T \Rightarrow 0} \frac{X_n + X_n - X_n}{\Delta T} = \frac{X_n - X_n}{\Delta T} = \frac{X_n$







Beispiel: Wachstünesprozen 2: "Verhüdst'- problet nicht einear! Xn+1 = B.Xn (1-Xn) 0 \(Xn \in 1\) normiert, B>0 Die naderte fermation ist proportional zur varjanger generation, aler suich zu olen begrenzten Ressourcen, die von der Vorgonger generation übrig gelassen unaden, also normiest: 1-xn1 Xn+1-Xn=(B-1)Xn-BXn, lim Xn+1-Xn = X=(B-1)X-BX2: kartinireliches B-1 = a, B = A: Wachstirms nateu (Angalul/ Zeit) : x = ax-8x2 = a.(x-tx2) Treming der Veräuderlichen: $\frac{dx}{x(1-\frac{b}{2}x)} = a \cdot dt \Rightarrow \int \frac{dx}{x} + \int \frac{dx}{1-\frac{b}{2}x} \cdot \frac{b}{a} = \int a \cdot dt$ $X_0 = \chi(0) = \frac{1}{b + k} \Rightarrow K = \frac{1}{x_0 - a}$

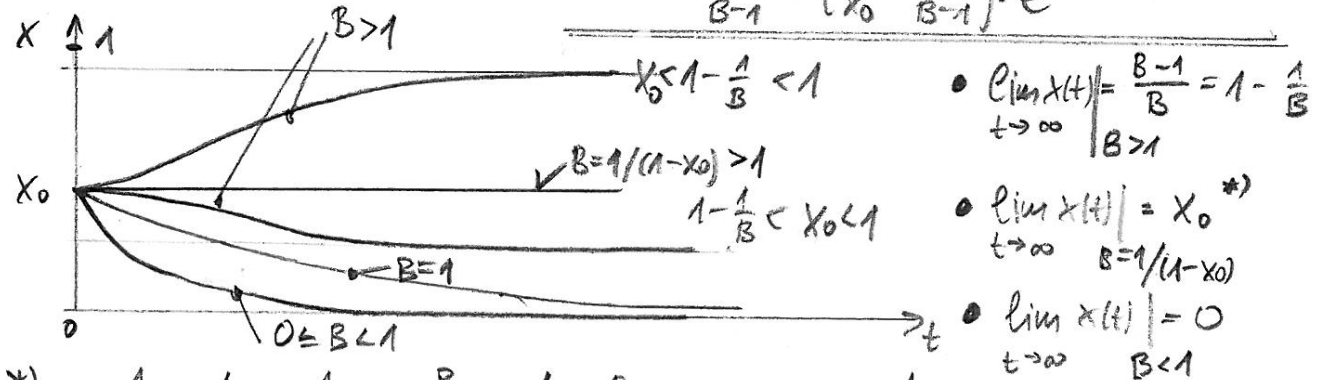


· lopisfische "Vachestiums fünktion: $\chi(t) = \frac{1}{b} + (\frac{1}{x_0} - \frac{b}{a}) \cdot e^{-at}$

$$\chi(t) = \frac{b}{a} + (\frac{1}{x_0} - \frac{b}{a}) \cdot e^{-at}$$

$$\frac{b}{a} = \frac{B/\Delta T}{(B-1)/\Delta T} = \frac{B}{B-1}$$

$$X(t) = \frac{1}{\frac{B}{B-1} + (\frac{t}{x_0} - \frac{B}{B-1}) \cdot e^{-(B-1) \cdot t/\Delta T}}$$



•
$$\lim_{t\to\infty} \chi(t) = 0$$
, $\lim_{B\to 1} \lim_{B\to 1} \frac{1}{(\frac{1}{2} - \frac{R}{B-1}) \cdot e^{-(B-1) \cdot t/\Delta T}} = \lim_{B\to 1} \frac{B-1}{B+(\frac{B-1}{2}-B)e^{-\frac{B-1}{2}t}}$

$$= \lim_{B \to 1} \frac{1}{1 + (\frac{1}{10} - 1) \cdot e^{-\frac{1}{10}} + (\frac{1}{10}$$

Forgot: Es ist han unbegrenzes Wodertein wegen der Remairen knopphil aresolich!

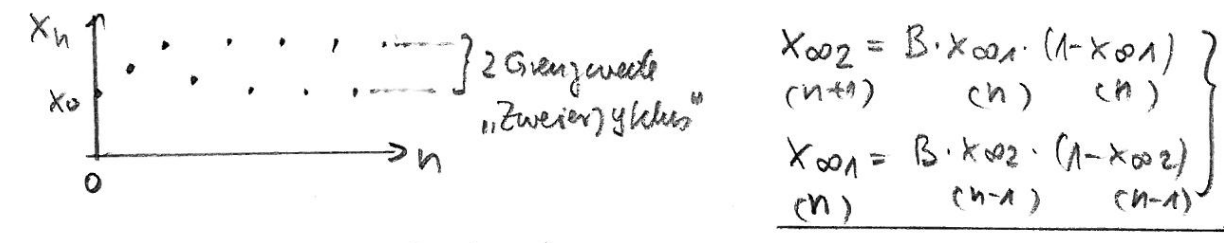




Distreta Wachstein mit Répétations previoule DT >0: Know = B:XV (1-XV) i) Daniel Kn+1 <1 belief, mins B = 4 Weiben! y=Bx(n-x) (normiert) = 0 = X= 1 Ymax= == = > (ii) Startwerte OLXOLA sind mil den lörringen symmelisch zu xo=0,5: ollen: Xon= + + a > 6.1.(1-xon). B= = (2+9)(2-9), B xo2= 1-a > xo2 (1-xo2)·B= (1-a)(1+a)·Bidentsch! (iii) panial der kontinuirelichen Linnig int ein Grenzevert zu envarten, also $\chi_{n\to\infty} = \chi_{\infty} = B \cdot \chi_{\infty} \cdot (1-\chi_{\infty}) \Rightarrow \chi_{\infty} = B \times_{\infty} (1-\chi_{\infty}), \text{ falls } \chi_{\infty} \neq 0, \text{ down}$ => 1=B(1-x0)= x0= B-1 = 1-1 (iv) Wann ix x0=0? Xn=1=0= B.Xn (1-Xn), weum B=0 oder Xn=1, elso x0=1! B=1: Xn+1= Xn-(1-Xn) -> X0=1-1=0 x0 = 1-1=0



(v) Sind auch 2 Grenzwerte möglich? Ab welchem B?



$$\begin{array}{l} X_2 = \mathbb{B} \times_1 (1-x_1), \ X_1 - \mathbb{B} \times_2 (1-x_2) \implies X_2 = \mathbb{B} \left[\mathbb{B} \times_2 (1-x_2) - \mathbb{B} \left(\kappa_2 \mathbb{P} (1-k_2)^2 \right) \right] = \\ = \mathbb{B}^2 \times_2 \left[1 - \kappa_2 - \mathbb{B} \times_2 + 2 \mathbb{B} \times_2^2 - \mathbb{B} \times_2^3 \right] \\ \times_2 + 0: \frac{1}{\mathbb{B}^2} = 1 - (1+\mathbb{B}) \times_2 + 2 \mathbb{B} \times_2^2 - \mathbb{B} \times_2^3 \implies X_2 - 2 \times_2^2 + \kappa_2 \left(1 + \frac{1}{\mathbb{B}} \right) - \left(\frac{1}{\mathbb{B}} - \frac{1}{\mathbb{B}^3} \right) = 0 \end{array}$$

Polynom 3. grades, prissibil erre reelle Libring: daker existiel x2 nous daker existiel x2 nous daker existiel x2 nous daker Alowann hill distar and? Bei B=3: Benneis: X23+aX22+6x2+C=O

$$\alpha = -2$$
, $b = 1 + \frac{1}{8} = \frac{4}{3}$, $c = -\frac{1}{8} + \frac{1}{3} = \frac{8}{27}$

Mit =
$$x_2 + \frac{9}{3} \Rightarrow y_2 = 2 - \frac{9}{3} \Rightarrow Z^3 + Z \cdot 3p + 2q = 0$$
, $3p = b - \frac{9^2}{3}$

CARDANO-FORMER for Nullvalle
$$(z-701)(z-202)$$
, $(z-203)=0$
 $z_0 = M+V$, $M=\frac{1}{7}-2+\sqrt{2^2+p^3}$, $N=\frac{3}{7}-2-\sqrt{2^2+p^3}$

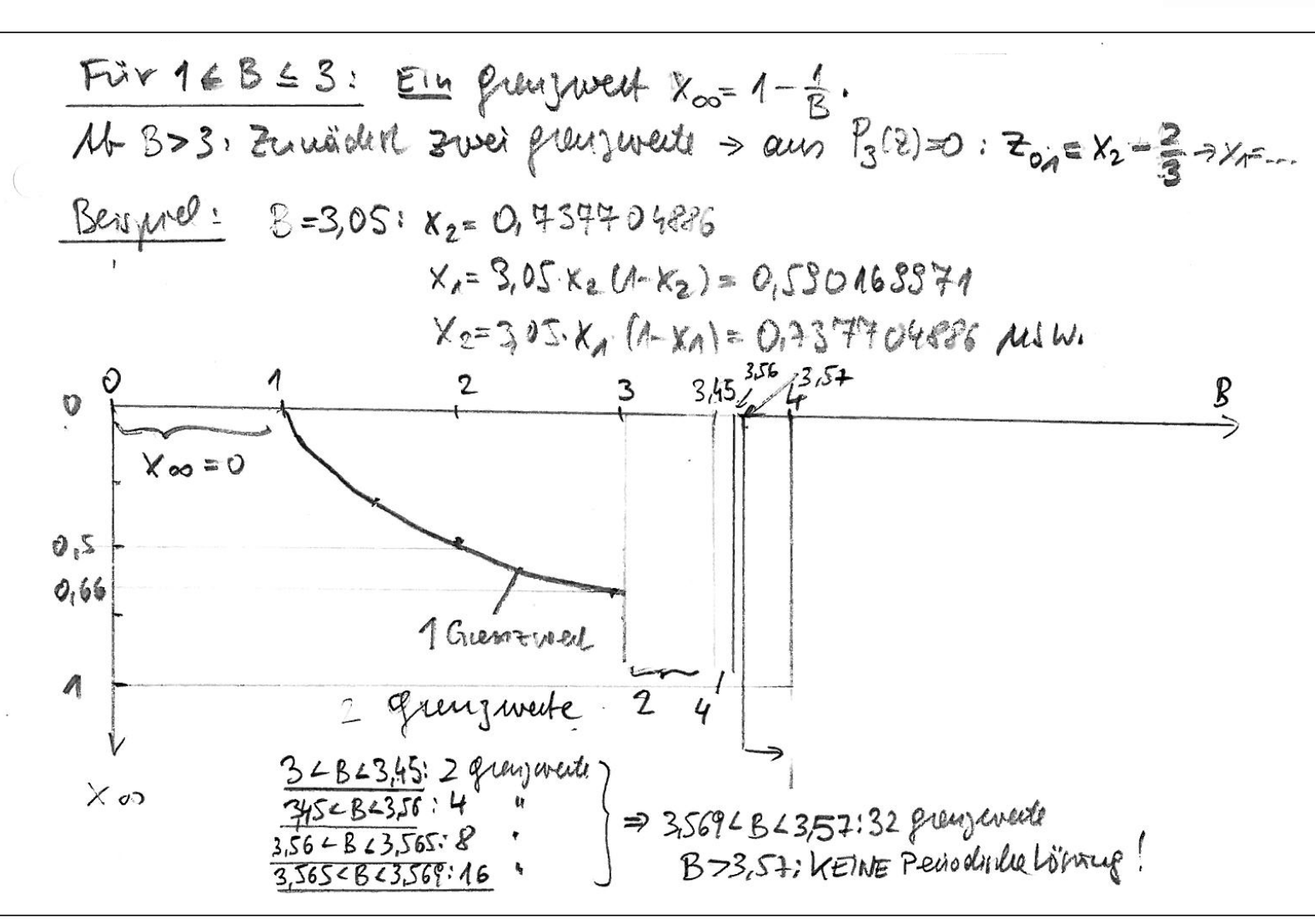
hier:
$$5p = \frac{4}{3} - \frac{(-2)^3}{3} = 0$$
, $2q = \frac{2}{27}(-2)^3 - \frac{(-2)}{3} \cdot \frac{4}{3} - \frac{2}{27} = \frac{-24+24}{27} = 0$

$$Z^5 = 0 \rightarrow Z_{01} = Z_{02} = Z_{03} = 0 \Rightarrow \chi_2 = 0 - \frac{(-2)}{3} = \frac{2}{3}$$



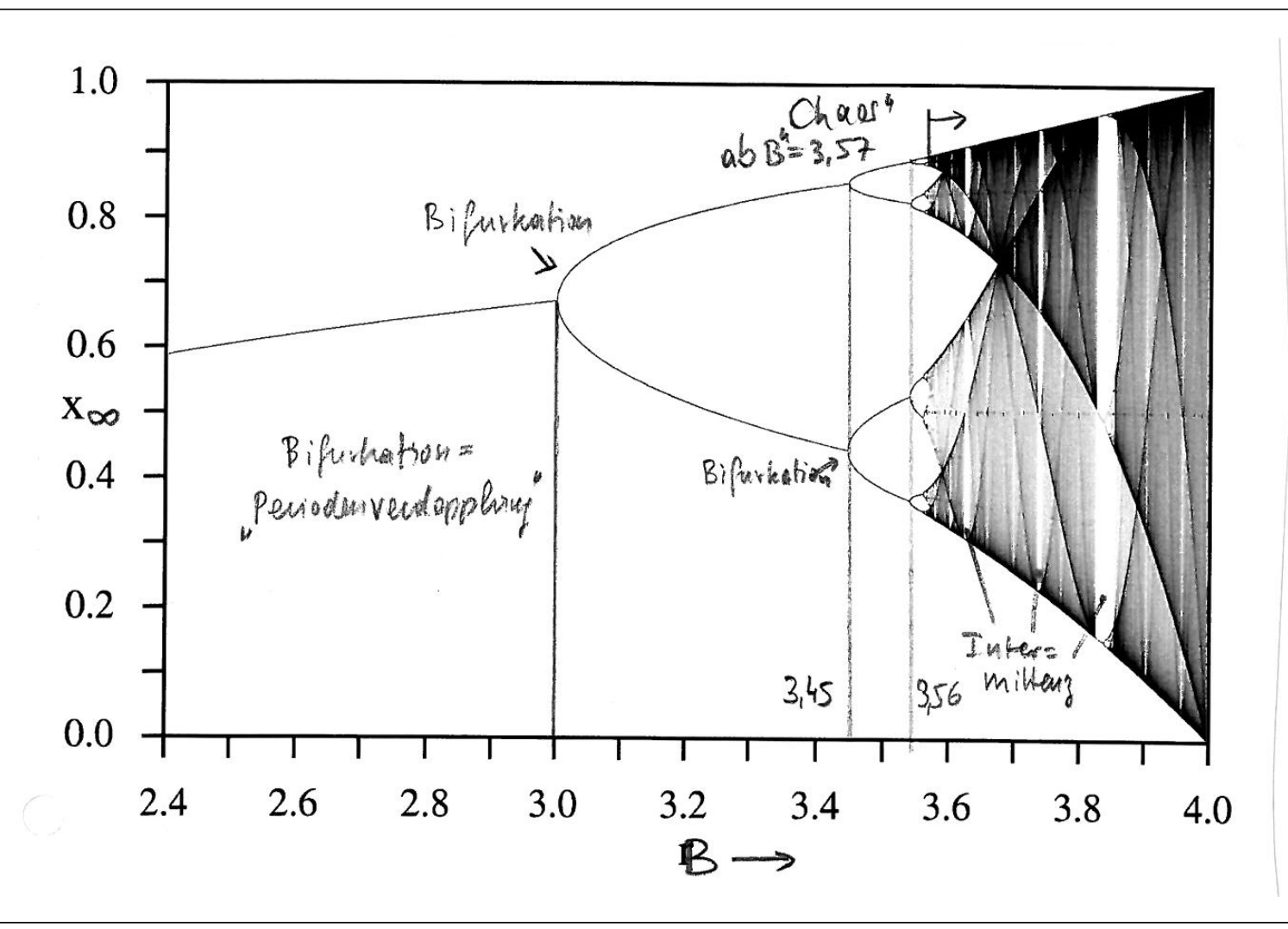












auss WikipEDIA Verwilst⁴



· B > 3,57: Alle Weds inverhalt 0 L x u < _ 2 x 0 < 1 Fellen and much waster g. B. fir n= 106. ... n= 106.2 (also 106 Weste) geplottel.



· Der Bereich [xu, xo], Innuhalbolem alle Weste ohne Benodigstat omflular, wird with 81 immer breiter und enerth bei B=4 : [a1]= onlle Weste treten beng!

Z.B.: · X=0,5 > B=4: X=4.05(1-05)=1, X=4.1(1-1)=0 1x=4.0(1-0)=0...

· Xn+1 = 4. Xn (1- xn) = 4 xn - 4xn2 = Xn+1 | Xn2 - Xn + xn+1 = 0

Voyangerweite Xn12 = 1 + 12 - xn+1 = 1 (1 + 11-xn+1) = [91]

For M' Ein Nachfolgenvel had 2 Vorgänger weet her B= 4, obsere 4 Vorgänger weet her B= 4, obsere 4 Vorgänger weet her B= 4, obsere 4 Vorgänger weet e [a 1] gu einem Norchfolger weet e [a 1] pilmtraho dan gange nettrall [a 1]!

« Zujos chen 3,57 ± B ≤ 4 freton ploblich Bereila (7. B:3\$1 ≤ B ≤ 3 82 (co.)) auf, wo mir 3 gruperecte er vieren, also Berodijilät mud ken Choos.

Intermittenj: Aufluten geordinder Bereiche B versillen Chaas-Abschwitten.

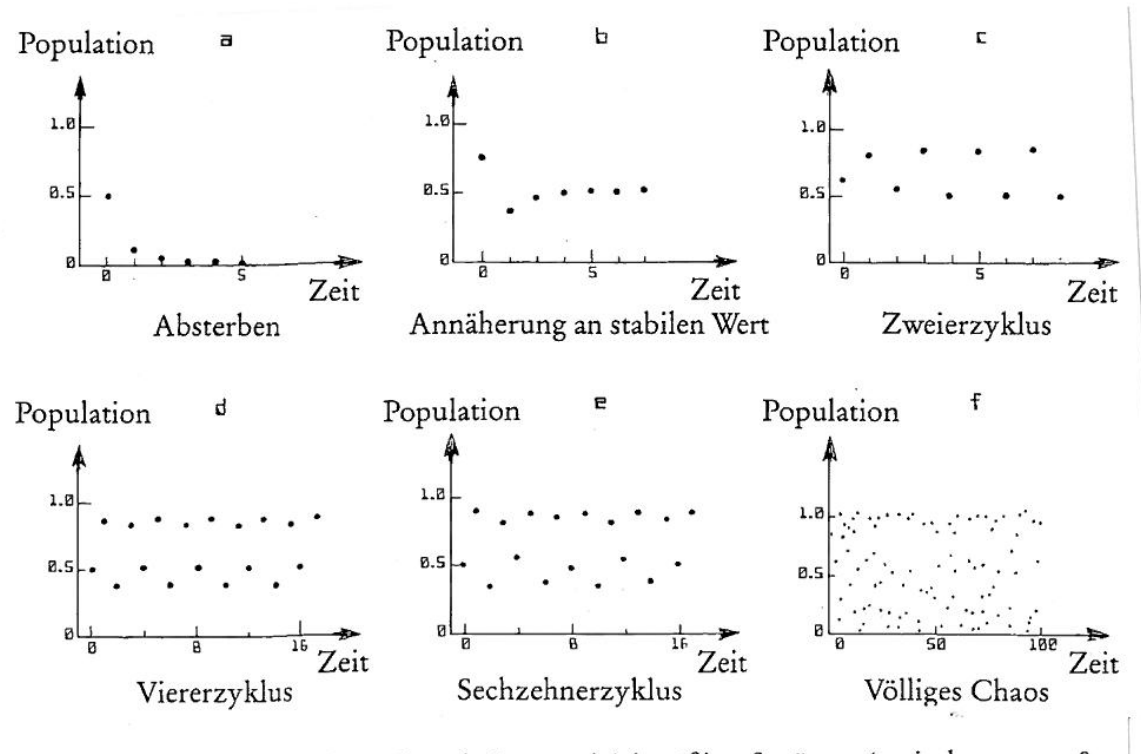
· B L4: X = B Xn (1-xn) = Xn12= 2. (1 ± 11- xn+1.4)

Xn+1-Weste köune nur anflaten fir 1- \frac{4}{B} xn+1>0 = xn+1<\frac{8}{4};

also 3.8: B = 3,8: Knen < 3,8 = 0,95!







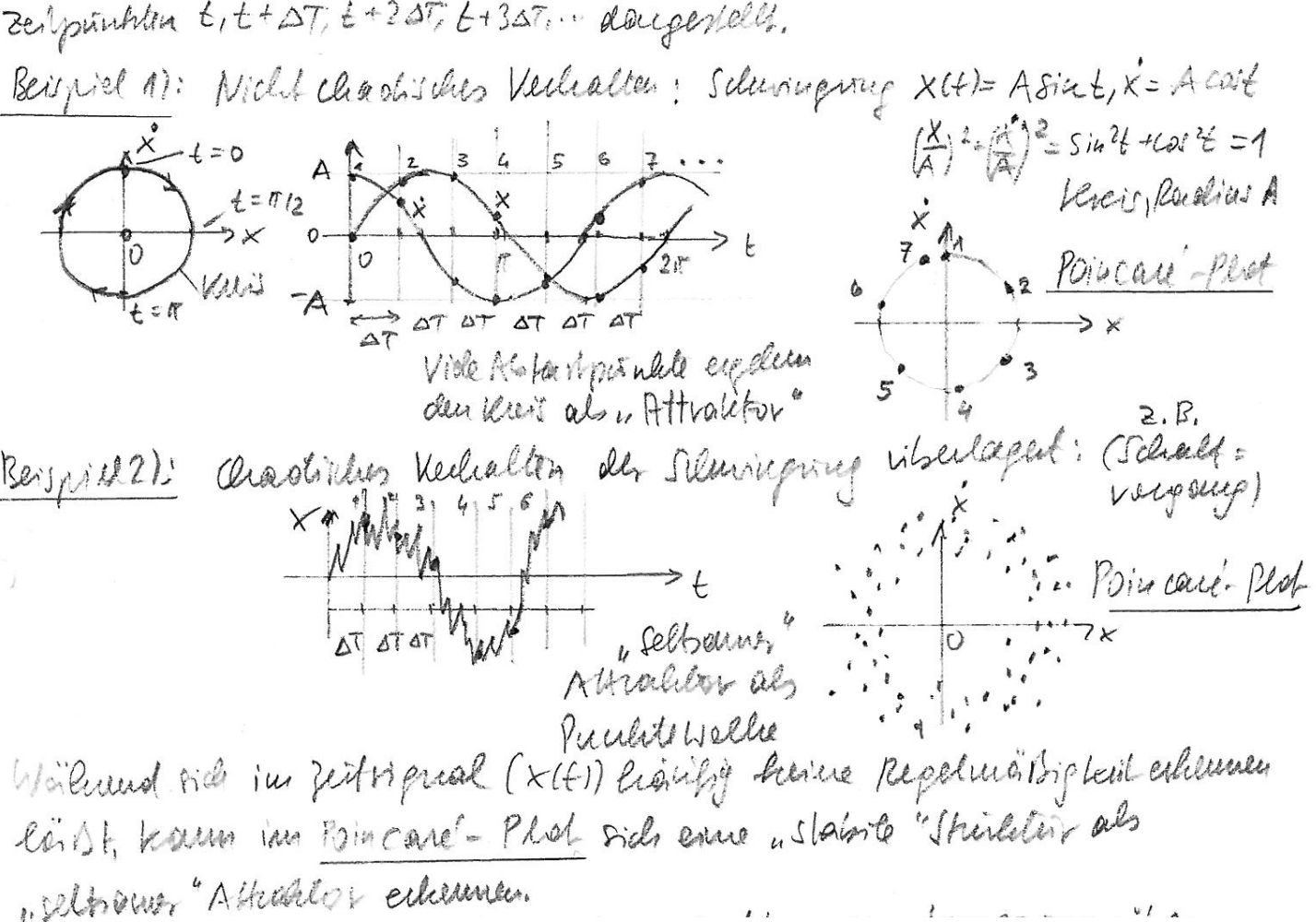
Aus: Briggs-Peat: Entdecking db aleos, Hanser, 1990

Entwicklung einer Population von Jahr zu Jahr für verschiedene (aber jeweils gleichbleibende) Nahrungsangebote oder Geburtenraten. Die Population kann rasch absterben (a), einem Gleichgewichtswert zustreben (b) oder nach Überschreiung gewisser kritischer Geburtenraten in gleichmäßige Sprünge (zwischen 2, 4, 8, 16... verschiedenen festen Werten) übergehen (c, d, e). Oberhalb eines weiteren kritischen Wertes der Wachstumsrate steigt und fällt die Population von Jahr zu Jahr völlig chaotisch (f).



Poincaré-Plot: Hilperdie Dantilliène bei chaotisdum Verpeingen, die mir nümmisch berechenbar nimel. Es couren zwei-oehr olleichten en neuele Dantelleinen ohn Linngen X(+). 1/1/1 hw. X(+). 1/1/1864) zu ferlen zerlpünhten t, t+27; t+227; t+327; ... daugestell.





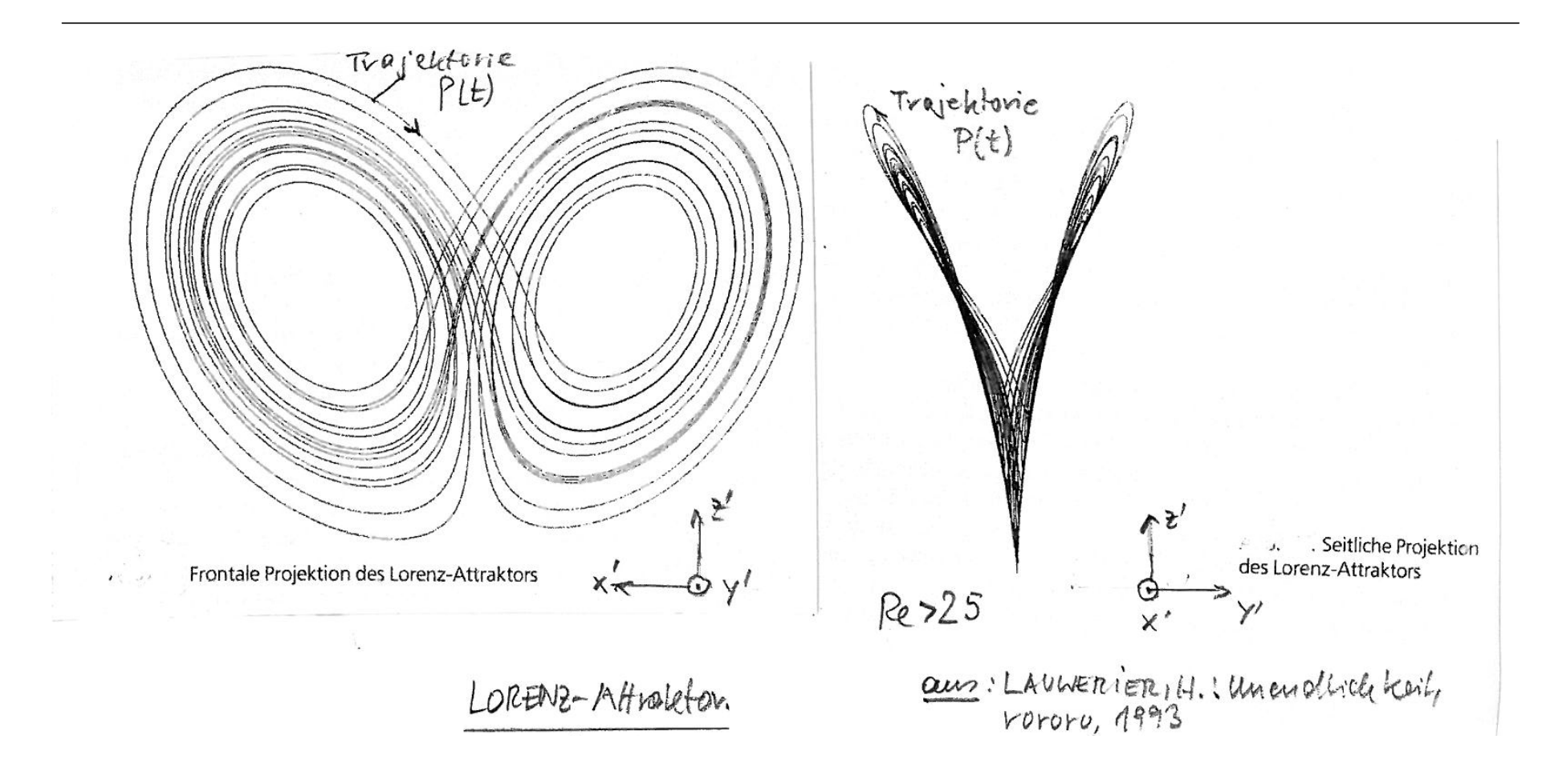




Beispiel: Cha otisches Welter system: Influers en bewegung niber Puiser elufliche: E.N.LORENZ, USA, 1963 $\dot{x} = -6(x-y)$, $\dot{x} \ge 0$ Re: REYNOLDS-Zahle $\dot{y} = Re \cdot X - y - x \cdot Z$ X(0), y(0, 7(0)) people z = -b.2 + x.y 6 = 10, b = 8/3Bei zunehmender Hihe virund tenemersche geschnis und fleit und damit Re der lutimasien zu. (X, y, z) = Trajelitaire P(+) im Raim. glerdigeridit: x=y=z=0: x=y, (Re-1) x-2:x=0, x=0, z=Re-1, -6(Re-1)+x2=0: X5/3.(Re-1)=420, Re>1 LORENZ found: Fix 1/5Re = 24,7 enout die Trajelloise P(t) più to0 unabliques vous Startpunkt Q= (×10), ×10), ≥(0)) im fleich gewilds punkt (xo, yoo, 700). Für Re > 24,7 engill PH) Schlerfen (Rainkeinnen), olik sich einem Grenzelilde (seitramer LORENZ-Attaktor) ausschun, aler in immer weiteen Schleifen westerbæregen



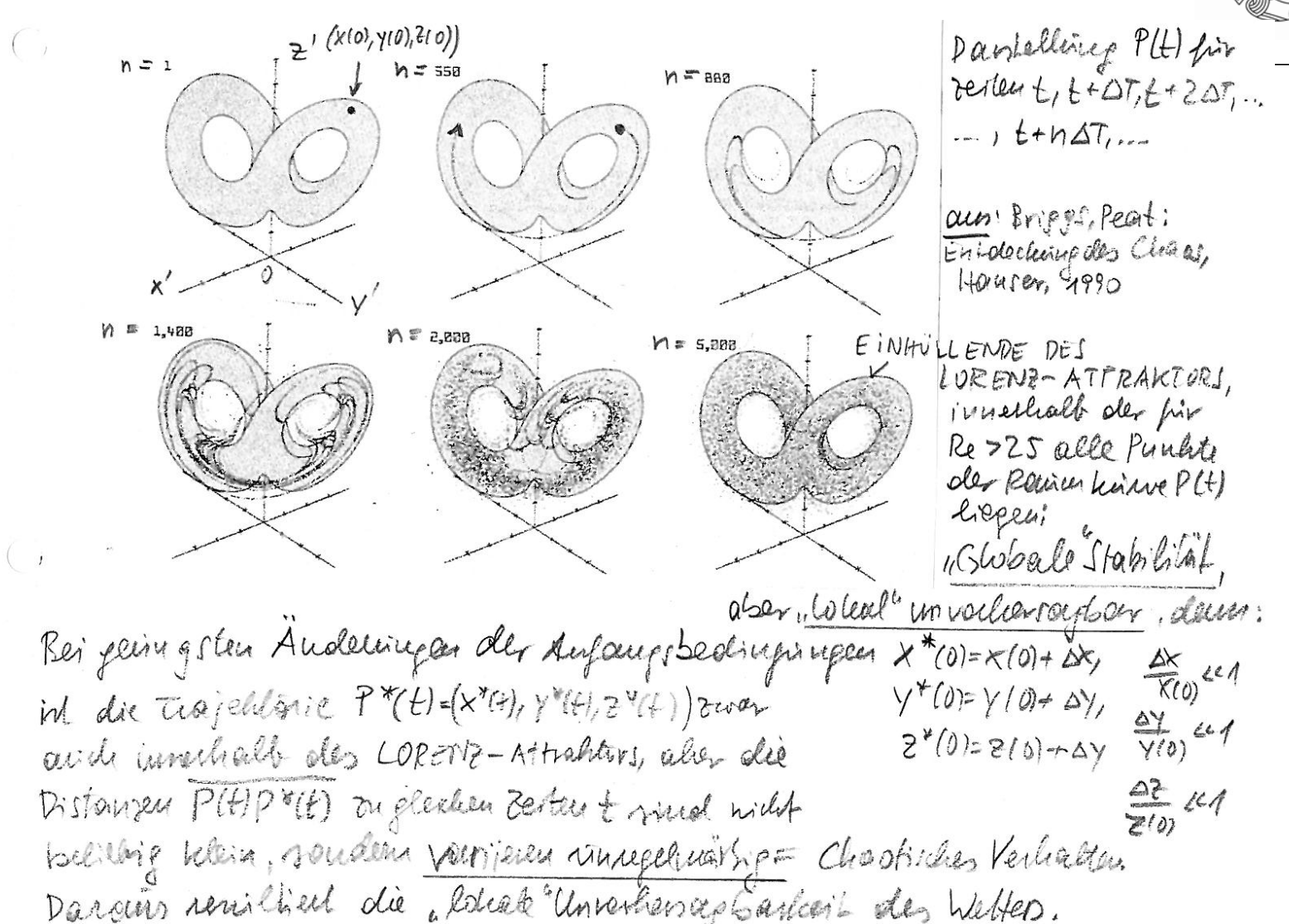






LORENZ-Attraktor





Strömungslelne: (Quelle: R. FEYNHAN/ LEIGHTON/SANDS: BAND E, LECTURES ON PHYTICS, OLDENBOURG) a) Masterhandong: M= koud: dm = 0 = DM= g. DXDYDZ; = D. (pV) + 2p = 0 (1)

D: D: Under obs Ferriols

V= 2t , Vy= 2t , V= 2t : V= (Vx, Vy , Vz)

KONTINUITÄTSGLEICHUNG b) Newton's Knaffgerty: fe Velinon DX.DY.DE: p: Duich, tp: Drich growdient 9. oct = - Op- 500+ Frim & Kiente policie : 28: Schwer= leight D=92 $\frac{d\vec{V}}{d\vec{V}} = \begin{cases} \frac{\partial \vec{V}}{\partial x} \frac{\partial \vec{V}}{\partial x} + \frac{\partial \vec{V}}{\partial x} \frac{\partial \vec{V}}{\partial x} \frac{\partial \vec{V}}{\partial x} + \frac{\partial \vec{V}}{\partial x} \frac{\partial \vec{V}}{\partial x} \frac{\partial \vec{V}}{\partial x} + \frac{\partial \vec{V}}{\partial x} \frac{\partial \vec{V}}{\partial x} \frac{\partial \vec{V}}{\partial x} + \frac{\partial \vec{V}}{\partial x} + \frac{\partial \vec{V}}{\partial x} \frac$ $= \begin{cases} \frac{\partial V}{\partial x} \cdot V_{x} + \frac{\partial V}{\partial x} \cdot V_{z} + \frac{\partial V}{\partial t} \\ \frac{\partial V}{\partial x} \cdot V_{x} + \frac{\partial V}{\partial x} \cdot V_{z} + \frac{\partial V}{\partial t} \\ \frac{\partial V}{\partial x} \cdot V_{x} + \frac{\partial V}{\partial x} \cdot V_{z} + \frac{\partial V}{\partial x} \\ \frac{\partial V}{\partial x} \cdot V_{x} + \frac{\partial V}{\partial x} \cdot V_{z} + \frac{\partial V}{\partial x} \\ \frac{\partial V}{\partial x} \cdot V_{x} + \frac{\partial V}{\partial x} \cdot V_{z} + \frac{\partial V}{\partial x} \\ \frac{\partial V}{\partial x} \cdot V_{x} + \frac{\partial V}{\partial x} \cdot V_{z} + \frac{\partial V}{\partial x}$ =- DE-DE+frisa/p



TECHNISCHE

NAVIER-STOKES-Gleichung - Sonderfälle



Soudufall: Stationary fies:
$$\vec{f}_{VSU} = 0$$
 $\frac{1}{2} \vec{v} \vec{v}^2 + \vec{\Sigma} \cdot \vec{v}^2 + \frac{\partial \vec{v}}{\partial t} = -\vec{v} \vec{p} - \vec{v} \vec{p}$ (2)

Soudufall: Stationary: $\vec{O}_t = 0$: $\vec{V} \cdot (\vec{g} \vec{V}) = 0$ and $\vec{D}_t \cdot \vec{v} = -[\vec{v} \vec{v}^2 + \vec{p} + \vec{p} \vec{p}]$

Soudufall: Introduce $\vec{v}_t = 0$: $\vec{v}_t = 0$

Soudufall: Introduce $\vec{v}_t = 0$: $\vec{v$



$$fill g = koul(. \Rightarrow DX: \Rightarrow \frac{\partial \vec{Z}}{\partial \epsilon} + Dx(\vec{Z} \times \vec{v}) = \frac{1}{2} \nabla^2 (\vec{D} \times \vec{v}) = \frac{1}{2} \nabla^2 \vec{Z}$$

$$(mil \, \nabla_X \nabla (...) = 0) \qquad (Dx(\vec{D} \cdot \vec{V}) = (D \cdot \vec{V}) \nabla x \vec{v} = D^2 \vec{Z}$$

Herleitung der **REYNOLDS-**Zahl

Nomileury: x'= x/D, y'= y/D, Z'= 21D, Voi V well weg non exmen Scioningsleinderus mit dem Duchmerer D: t'= t/x, £= D/100 (3.8:160x)

$$\frac{\partial \vec{\Sigma}'}{\partial t'} + \nabla' \times (\vec{\Sigma}' \times \vec{V}') = \frac{1}{Re} \nabla' \vec{\Sigma}' \qquad \nabla' \cdot \vec{\mathcal{T}}' = 0 \quad \text{in low my combel}$$



Laminare und turbulente Strömung



Strönung um emm Zylinder mil Drindmener D, Vo=Vox, PD

10=Re & 20: Zähnghert nibmniet Trongheststerm > 20 = 0: Laminare

20 = Re & 200: KARHAN'she Wildelstrade = periodisch Cominor

200 = Re & 20000: Turlinked (= chaptish) mit Periodischen Abrilinten

20000 = Re & 107: Turbishede Poundzone im Totoromer

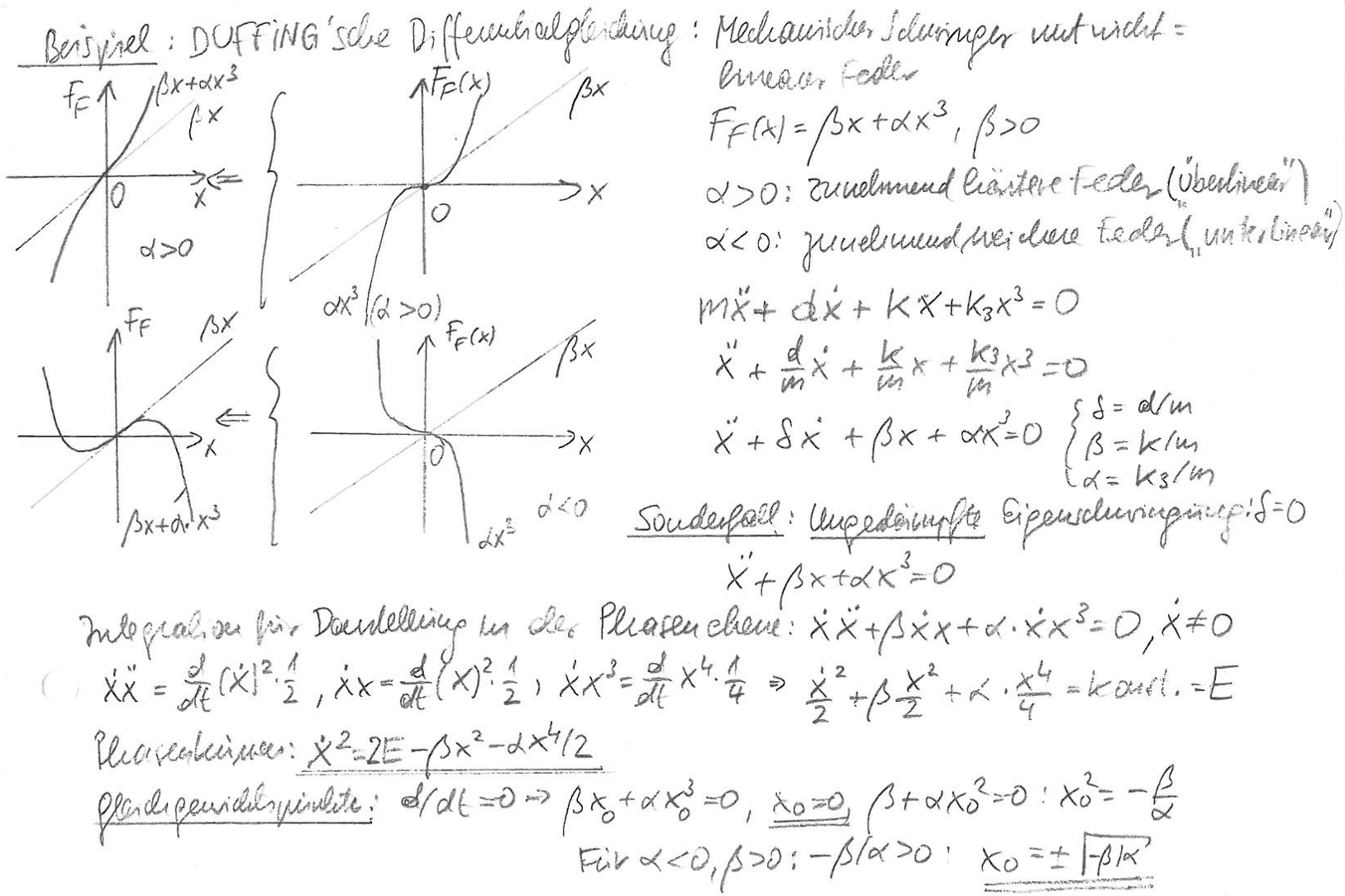
Adding: Fix Re > 00, alw V > 0, Ven deviaded with seile with, wil

V's bei Venirlodingen dinotischer Art als 2. Aldeitung Nächer Wild, also V's 'nut gegen Hull attelit.

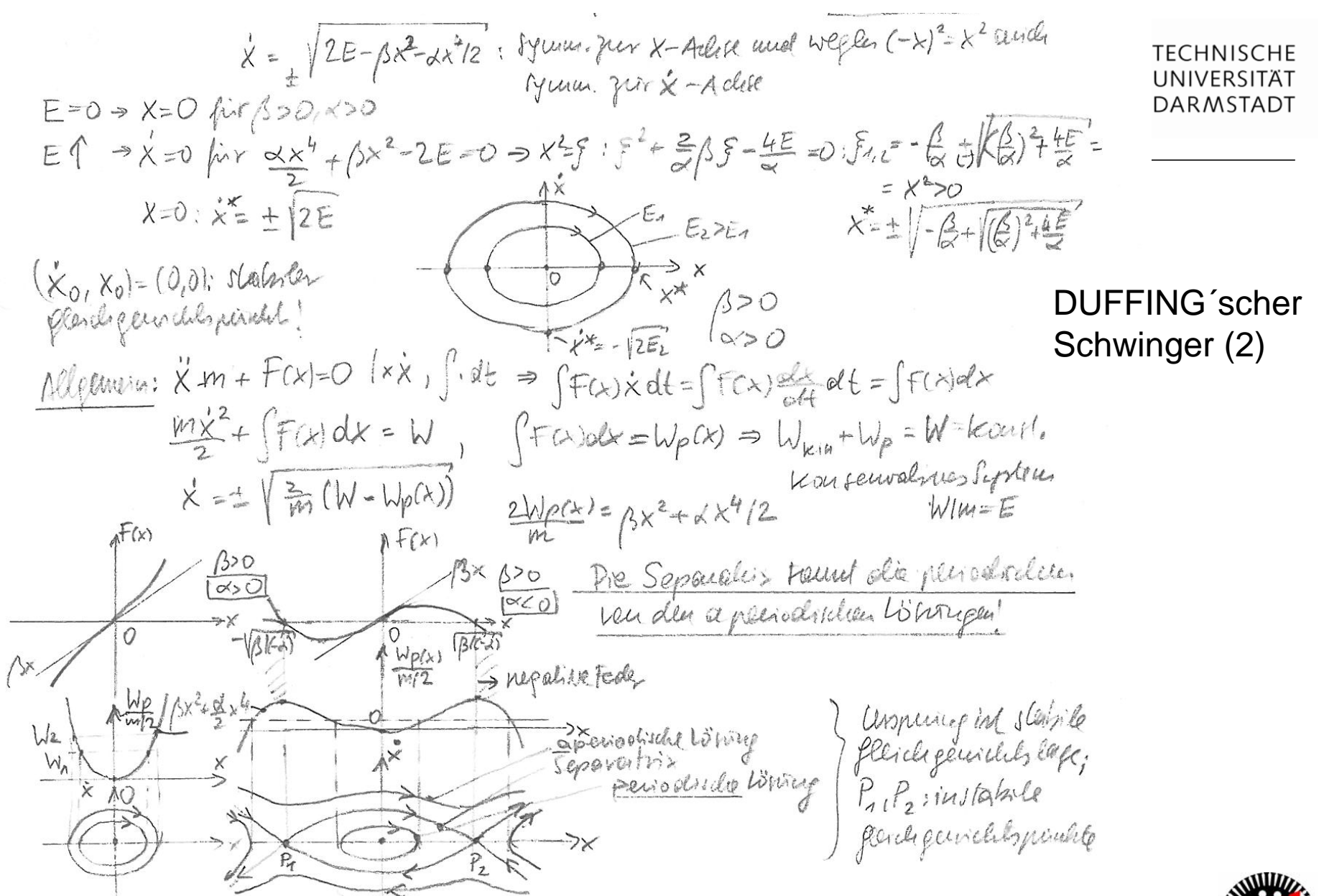
turbis leute (charolische) Stermlierien (chardische bewegung der mittlean Strömings genduindigheit is berlang led)

DUFFING scher Schwinger (1)



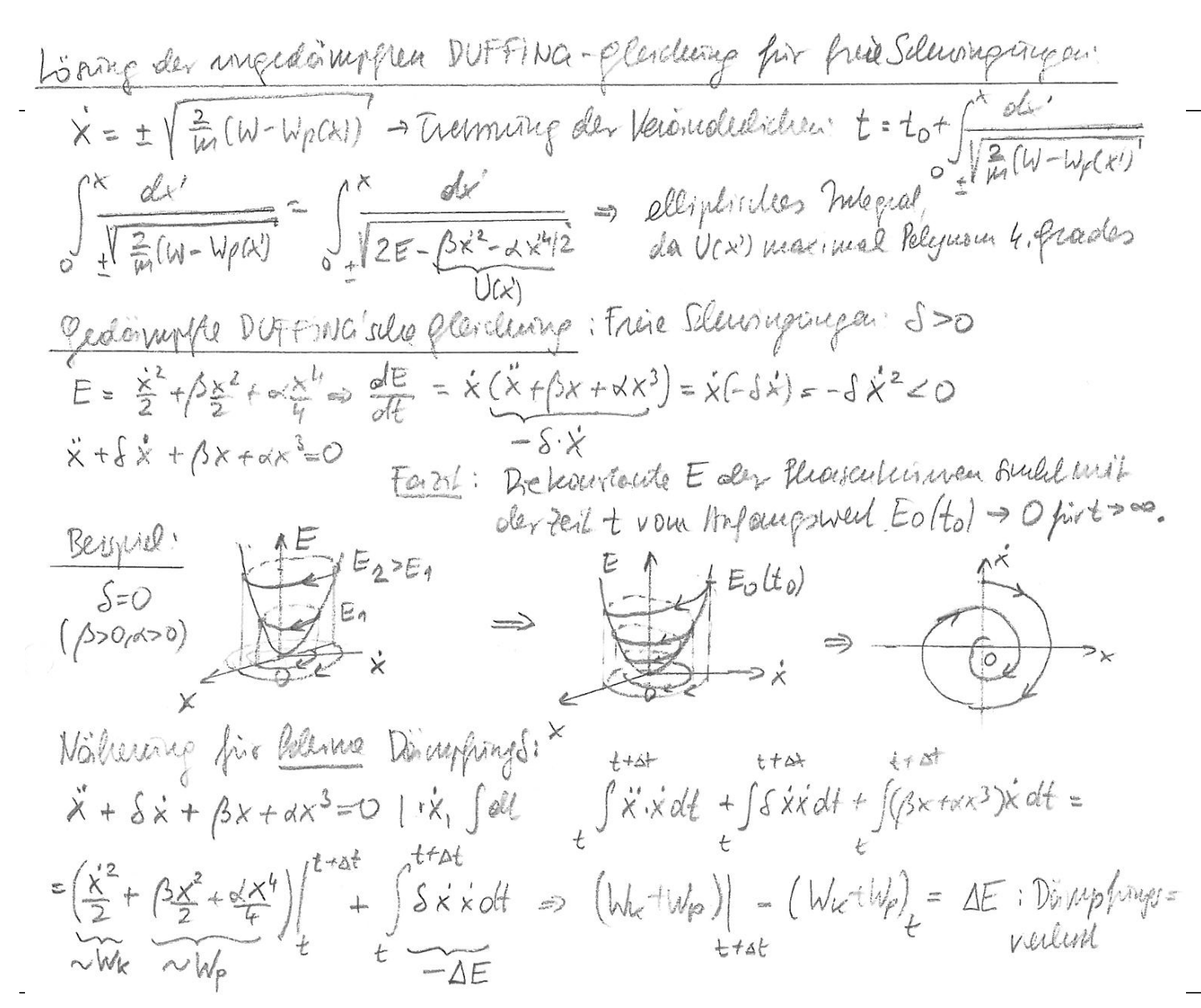






DUFFING scher Schwinger (3)







DUFFING scher Schwinger (4)



Ungedowyte enjuringene Schwingengen 5=0 * + Bx + dx3= p. cosot: Es pild hence accaleptade posdelos sene Löhning Mellipole words DUFFING (Neihung): x=-Bx-dx3+pismost, Away: X1=Csincot, C=kourl. X2 = - /> X1 - x X13 + pisinal = - AC sincol - xcgin3cot + pisinat Sin3wt = (3 Sinut - Sin 3wt) X2 = (-BC+pe-23) Sinut + Exc3 sin 3at Sixoll = X2 + Kat+K2 → X2 soll periodiscle sein → K,=0, K2=0 X2 =- (- BC+12- 3 x C3): La sin wt - 1 x C3 sin 3 ut : Näwerer Heretionschister X3 = - Bx2-0xx23+ princit -> PX3 dt = X3 usw. Estates in der Litting die Frequence ((Eurger preparing), 3 w, 5 w, - and. Die Silvinging int periodish, alier peich leveniouist. Her: Abbreil hei X2. Berlinmung von C: X, = Csincut, x= (BC-x+=2c3) framot, X, = X, = C!

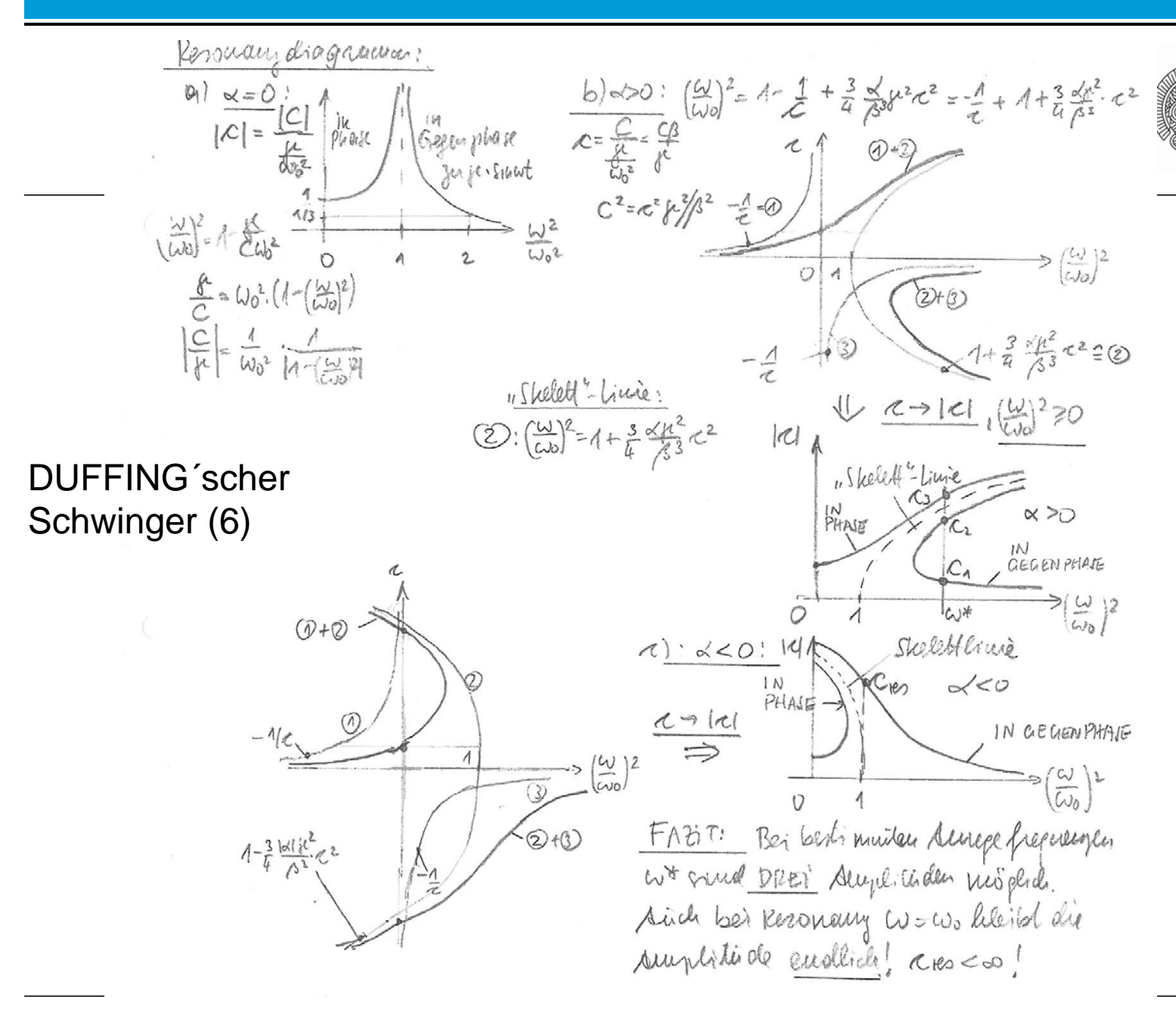


DUFFING scher Schwinger (5)



$$C = C \frac{1}{\omega^2} (\beta - \frac{1}{\xi} + \frac{3}{4} \alpha C^2) \Rightarrow \omega^2 = \omega^2 - \frac{1}{\xi} + \frac{3}{4} \alpha C^2 \Rightarrow (\omega)^2 = 1 - \frac{1}{\xi\beta} + \frac{3}{4} \frac{\alpha}{\beta} C^2$$
Cineaux Schwinger: $\chi' + \beta x = 0 \Rightarrow \omega = \beta$, $\beta = \omega^2$
Cineaux Schwinger: $\chi' + \beta x = 0 \Rightarrow \omega = \beta$, $\beta = \omega^2$
Cineaux Schwinger: $\chi' + \beta x = 0 \Rightarrow \omega = \beta$, $\beta = \omega^2$
Cineaux Schwinger: $\chi' + \beta x = 0 \Rightarrow \omega = \beta$
Cineaux Schwinger: $\chi' + \beta x = 0 \Rightarrow \omega = \beta$
Cineaux Schwinger: $\chi' + \beta x = 0 \Rightarrow \omega = \beta$
Cineaux Schwinger: $\chi' + \beta x = 0 \Rightarrow \omega = \beta$
Cineaux Schwinger: $\chi' + \beta x = 0 \Rightarrow \omega = \beta$
Cineaux Schwinger: $\chi' + \beta x = 0 \Rightarrow \omega = \beta$
Cineaux Schwinger: $\chi' + \beta x = 0 \Rightarrow \omega = \beta$
Cineaux Schwinger: $\chi' + \beta x = 0 \Rightarrow \omega = \beta$
Cineaux Schwinger: $\chi' + \beta x = 0 \Rightarrow \omega = \beta$
Cineaux Schwinger: $\chi' + \beta x = 0 \Rightarrow \omega = \beta$
Cineaux Schwinger: $\chi' + \beta x = 0 \Rightarrow \omega = \beta$
Cineaux Schwinger: $\chi' + \beta x = 0 \Rightarrow \omega = \beta$
Cineaux Schwinger: $\chi' + \beta x = 0 \Rightarrow \omega = \beta$
Cineaux Schwinger: $\chi' + \beta x = 0 \Rightarrow \omega = \beta$
Cineaux Schwinger: $\chi' + \beta x = 0 \Rightarrow \omega = \beta$
Cineaux Schwinger: $\chi' + \beta x = 0 \Rightarrow \omega = \beta$
Cineaux Schwinger: $\chi' + \beta x = 0 \Rightarrow \omega = \beta$
Cineaux Schwinger: $\chi' + \beta x = 0 \Rightarrow \omega = \beta$
Cineaux Schwinger: $\chi' + \beta x = 0 \Rightarrow \omega = \beta$
Cineaux Schwinger: $\chi' + \beta x = 0 \Rightarrow \omega = \beta$
Cineaux Schwinger: $\chi' + \beta x = 0 \Rightarrow \omega = \beta$
Cineaux Schwinger: $\chi' + \beta x = 0 \Rightarrow \omega = \beta$
Cineaux Schwinger: $\chi' + \beta x = 0 \Rightarrow \omega = \beta$
Cineaux Schwinger: $\chi' + \beta x = 0 \Rightarrow \omega = \beta$
Cineaux Schwinger: $\chi' + \beta x = 0 \Rightarrow \omega = \beta$
Cineaux Schwinger: $\chi' + \beta x = 0 \Rightarrow \omega = \beta$
Cineaux Schwinger: $\chi' + \beta x = 0 \Rightarrow \omega = \beta$
Cineaux Schwinger: $\chi' + \beta x = 0 \Rightarrow \omega = \beta$
Cineaux Schwinger: $\chi' + \beta x = 0 \Rightarrow \omega = \beta$
Cineaux Schwinger: $\chi' + \beta x = 0 \Rightarrow \omega = \beta$
Cineaux Cineaux



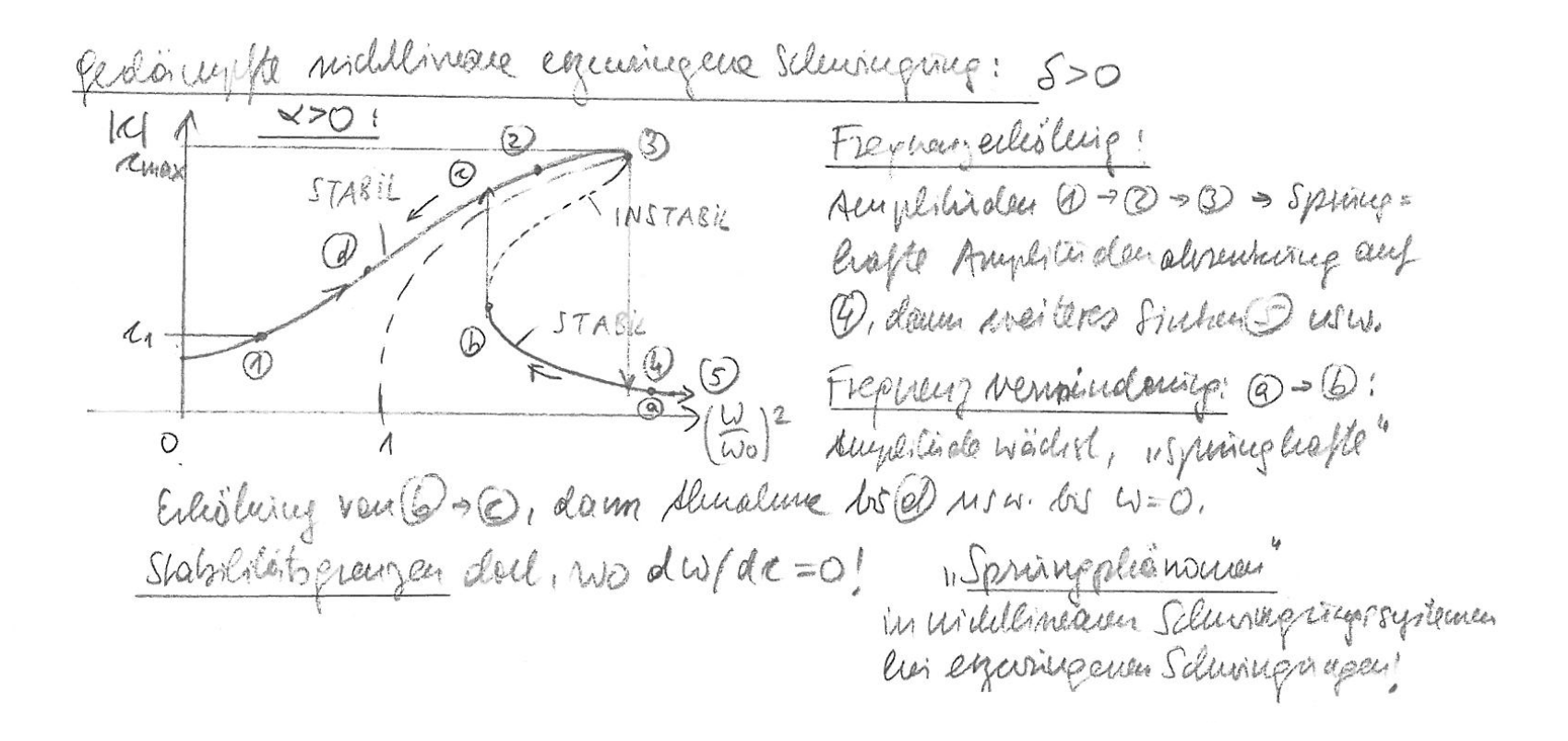




TECHNISCHE UNIVERSITÄT DARMSTADT

DUFFING scher Schwinger (7)







Sublammenselle System schuringingen in wildlimearen schwingern;

hier: ungede mph S=0: $\ddot{x} + \beta x + \alpha x^3 = \mu \cdot \beta \cdot \mu \cdot \omega t$ Ausats: $X = C'Sn(\frac{\omega}{3} \cdot t) + C \cdot \beta \mu \cdot \omega t$ 4 Sub" Carmon sche Schwinging mit $\frac{\omega}{3}$ titt auf!



 $\dot{x} = -\frac{1}{9}C'\sin\frac{\omega t}{3} \cdot \omega^2 - C\omega^2\sin\omega t,$ $(C'\sin\frac{\omega t}{3} + C\sin\omega t)^3 = C'^3\sin\frac{3\omega t}{3} + 3C'^2C\sin^2\omega t \cdot \sin\omega t + 3C'C^2\sin^2\omega t \cdot \sin\omega t + 3C'C^2\sin^2\omega t = C^3\sin^3\omega t + C^3\cos^3\omega t + C^3\omega t +$

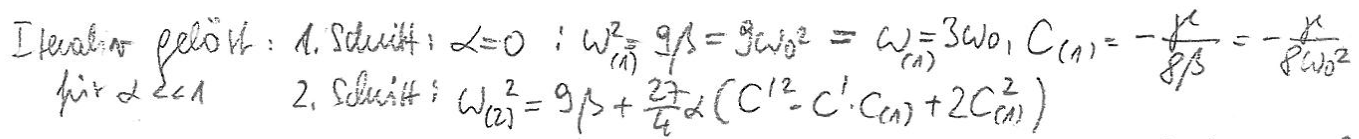
= C'34(38ingt-sinwt) + 3c'2C. 2(sinwt-2pmset-21met) + +3c'c2.2(sinwt-2pmset-21met) + +3c'c2.2(sinwt-2pmset)+c34(38mut-8143cut)

DUFFING scher Schwinger (8)

Terme bei $8h\frac{\omega}{3}t: -\frac{1}{9}c^{2}\omega^{2} + \beta c' + \chi \left[\frac{c^{13}}{3} - 3c^{12}c^{\frac{1}{4}} + 3c'c^{\frac{2}{3}}\right] \stackrel{!}{=} 0$ must Null the Terme bei $8h\omega t: -c\omega^{2} + \beta c + \chi \left[-c'\frac{3}{4} + 3c'^{2}c^{\frac{1}{2}} + c^{3}\frac{2}{4}\right] \stackrel{!}{=} K$ Die Terme bei $5h\omega t: -c\omega^{2} + \beta c + \chi \left[-c'\frac{3}{4} + 3c'^{2}c^{\frac{1}{2}} + c^{3}\frac{2}{4}\right] \stackrel{!}{=} K$ $(\beta - \frac{\omega^{2}}{3}) \cdot c' + \frac{2}{4}\chi(c'^{3} - c'^{2}c + 2c'c^{2}) = 0 \quad (a) \rightarrow fix c' + 0: |x|^{2}$ $(\beta - \frac{\omega^{2}}{3}) \cdot c' + \frac{2}{4}\chi(c'^{2} - c'^{2}c + 2c'^{2}) = 0 \quad (a) \rightarrow fix c' + 0: |x|^{2}$ $(\beta - \frac{\omega^{2}}{3}) \cdot c + \frac{2}{4}\chi(c'^{2} - c'^{2}c + 2c^{2}) = 0 \quad (a) \rightarrow \omega^{2} = 9\beta + \frac{27}{4}\chi(c'^{2} - c'^{2}c + 2c^{2}) \rightarrow (a)$ $(\beta - \frac{27}{3}) \cdot c + \frac{27}{4}\chi(c'^{2} - c'^{2}c + 2c^{2}) \rightarrow (a)$ $(\beta - \frac{27}{3}) \cdot c + \frac{27}{4}\chi(c'^{2} - c'^{2}c + 2c^{2}) \rightarrow (a)$ $(\beta - \frac{27}{3}) \cdot c + \frac{27}{4}\chi(c'^{2} - c'^{2}c + 2c^{2}) \rightarrow (a)$ $(\beta - \frac{27}{3}) \cdot c + \frac{27}{4}\chi(c'^{2} - c'^{2}c + 2c^{2}) \rightarrow (a)$ $(\beta - \frac{27}{3}) \cdot c + \frac{27}{4}\chi(c'^{2} - c'^{2}c + 2c^{2}) \rightarrow (a)$ $(\beta - \frac{27}{3}) \cdot c + \frac{27}{4}\chi(c'^{2} - c'^{2}c + 2c^{2}) \rightarrow (a)$ $(\beta - \frac{27}{3}) \cdot c + \frac{27}{4}\chi(c'^{2} - c'^{2}c + 2c^{2}) \rightarrow (a)$ $(\beta - \frac{27}{3}) \cdot c + \frac{27}{4}\chi(c'^{2} - c'^{2}c + 2c^{2}) \rightarrow (a)$ $(\beta - \frac{27}{3}) \cdot c + \frac{27}{4}\chi(c'^{2} - c'^{2}c + 2c^{2}) \rightarrow (a)$ $(\beta - \frac{27}{3}) \cdot c + \frac{27}{4}\chi(c'^{2} - c'^{2}c + 2c^{2}) \rightarrow (a)$ $(\beta - \frac{27}{3}) \cdot c + \frac{27}{4}\chi(c'^{2} - c'^{2}c + 2c^{2}) \rightarrow (a)$ $(\beta - \frac{27}{3}) \cdot c + \frac{27}{4}\chi(c'^{2} - c'^{2}c + 2c^{2}) \rightarrow (a)$ $(\beta - \frac{27}{3}) \cdot c + \frac{27}{4}\chi(c'^{2} - c'^{2}c + 2c^{2}) \rightarrow (a)$ $(\beta - \frac{27}{3}) \cdot c + \frac{27}{4}\chi(c'^{2} - c'^{2}c + 2c^{2}) \rightarrow (a)$ $(\beta - \frac{27}{3}) \cdot c + \frac{27}{4}\chi(c'^{2} - c'^{2}c + 2c^{2}) \rightarrow (a)$ $(\beta - \frac{27}{3}) \cdot c + \frac{27}{4}\chi(c'^{2} - c'^{2}c + 2c^{2}) \rightarrow (a)$ $(\beta - \frac{27}{3}) \cdot c + \frac{27}{4}\chi(c'^{2} - c'^{2}c + 2c^{2}) \rightarrow (a)$ $(\beta - \frac{27}{3}) \cdot c + \frac{27}{4}\chi(c'^{2} - c'^{2}c + 2c^{2}) \rightarrow (a)$ $(\beta - \frac{27}{3}) \cdot c + \frac{27}{4}\chi(c'^{2} - c'^{2}c + 2c^{2}) \rightarrow (a)$ $(\beta - \frac{27}{3}) \cdot c + \frac{27}{4}\chi(c'^{2} - c'^{2}c + 2c^{2}) \rightarrow (a)$ $(\beta - \frac{27}{3}) \cdot c + \frac{27}{4}\chi(c'^{2} - c'^{2}c + 2c^{2}) \rightarrow (a)$

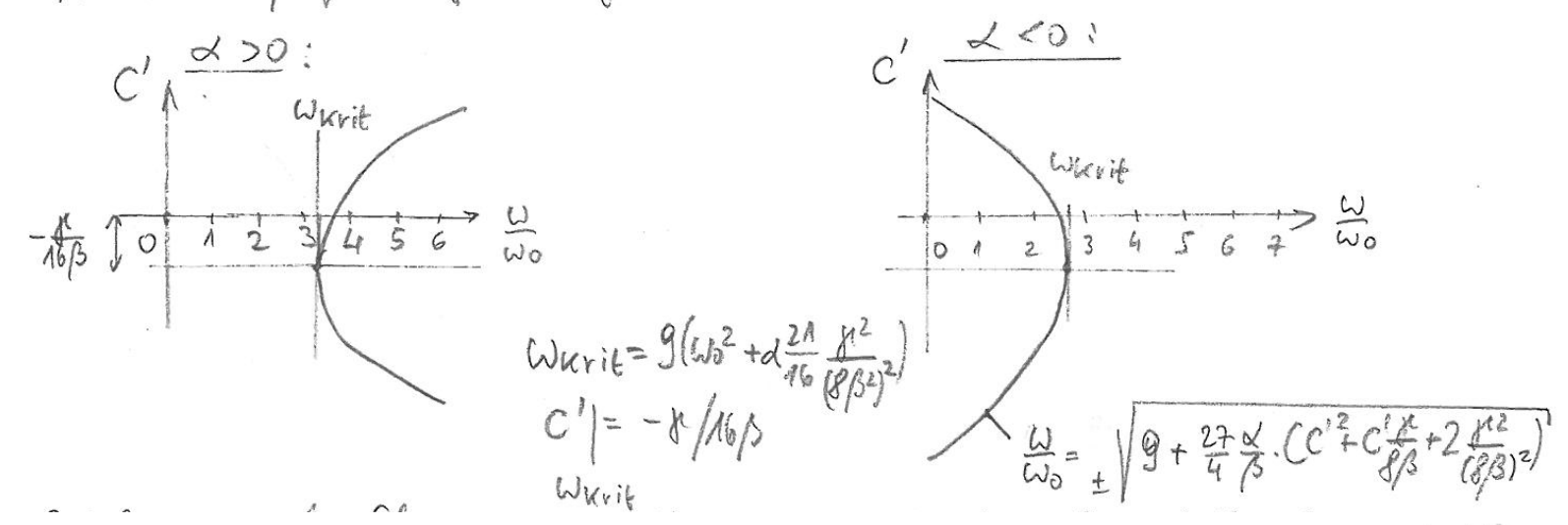


DUFFING scher Schwinger (9)





 $C_{(2)} = -\frac{1}{87} \cdot \left[g_1 - \frac{1}{4} \left(-C^{13} - 21C^{12}C_{(1)} + 27C^{\prime}C_{(2)}^2 - 51C_{(2)}^3 \right) \right]$ Aboracle der Menalian nach (*) $\rightarrow \omega_{(2)} = 9 \cdot \omega_0^2 + \frac{27}{4} \times \left(C^{12}C^{\prime}F_{00}^2 + 2\left(\frac{8}{9\omega_0^2} + 2 \left(\frac{8}$





DUFFING scher Schwinger (10)

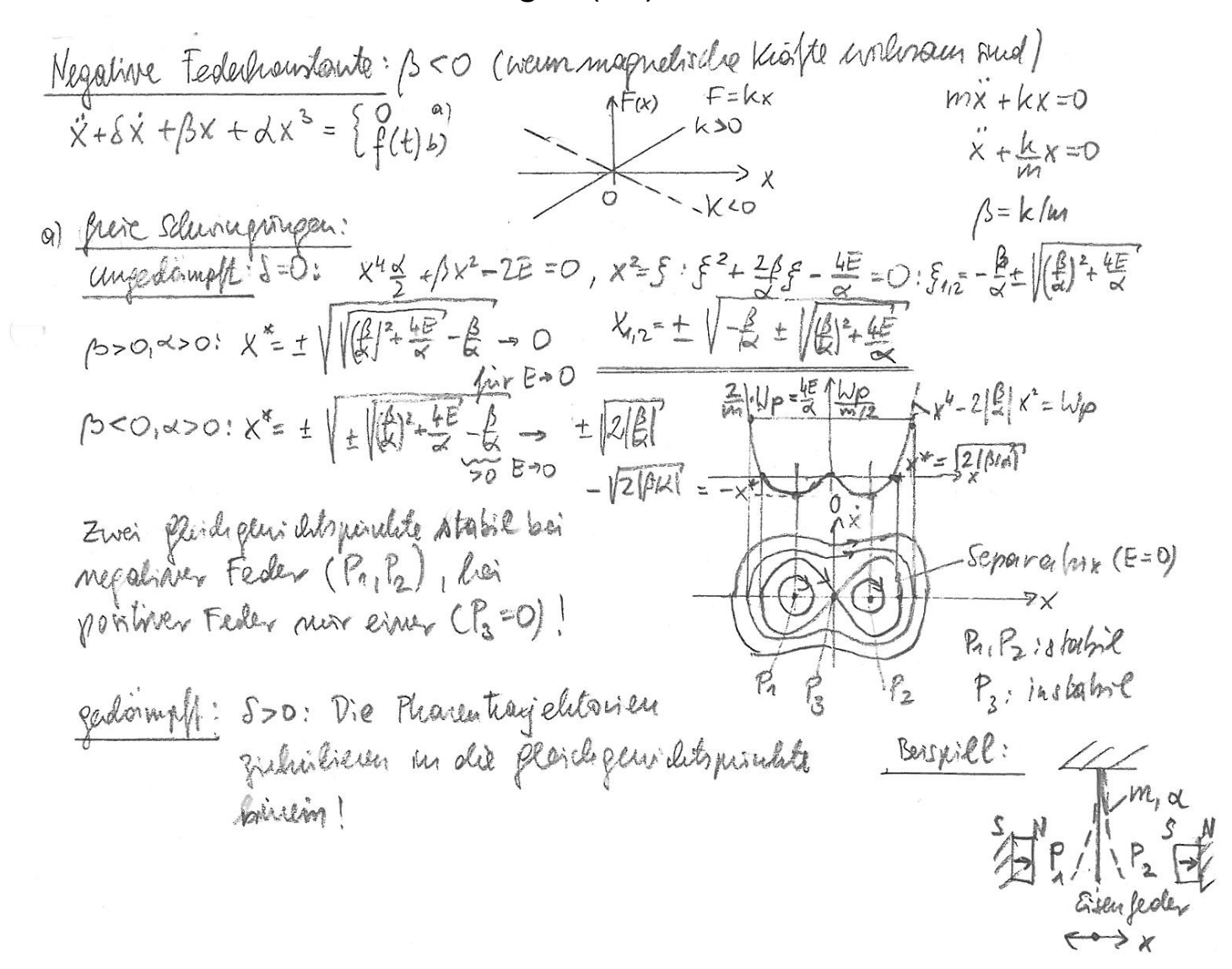


Sub harmourishe Shuringungen mit W/3 werden heren DOFFING-Silwinger wir omperegl (C' +0), werm her 200 die Enegerfrequenz co>went ist, bzw. her 20, werm Wewert 1st, Bei C'=0 in peniers (++): C= \$\frac{1}{32} \pm \frac{12}{32} \pm \frac{12}{32} \pm \frac{12}{32} \pm \frac{1}{32} \pm \frac{12}{32} \pm \frac{1}{32} \pm \frac{1}{32



DUFFING 'scher Schwinger (11)

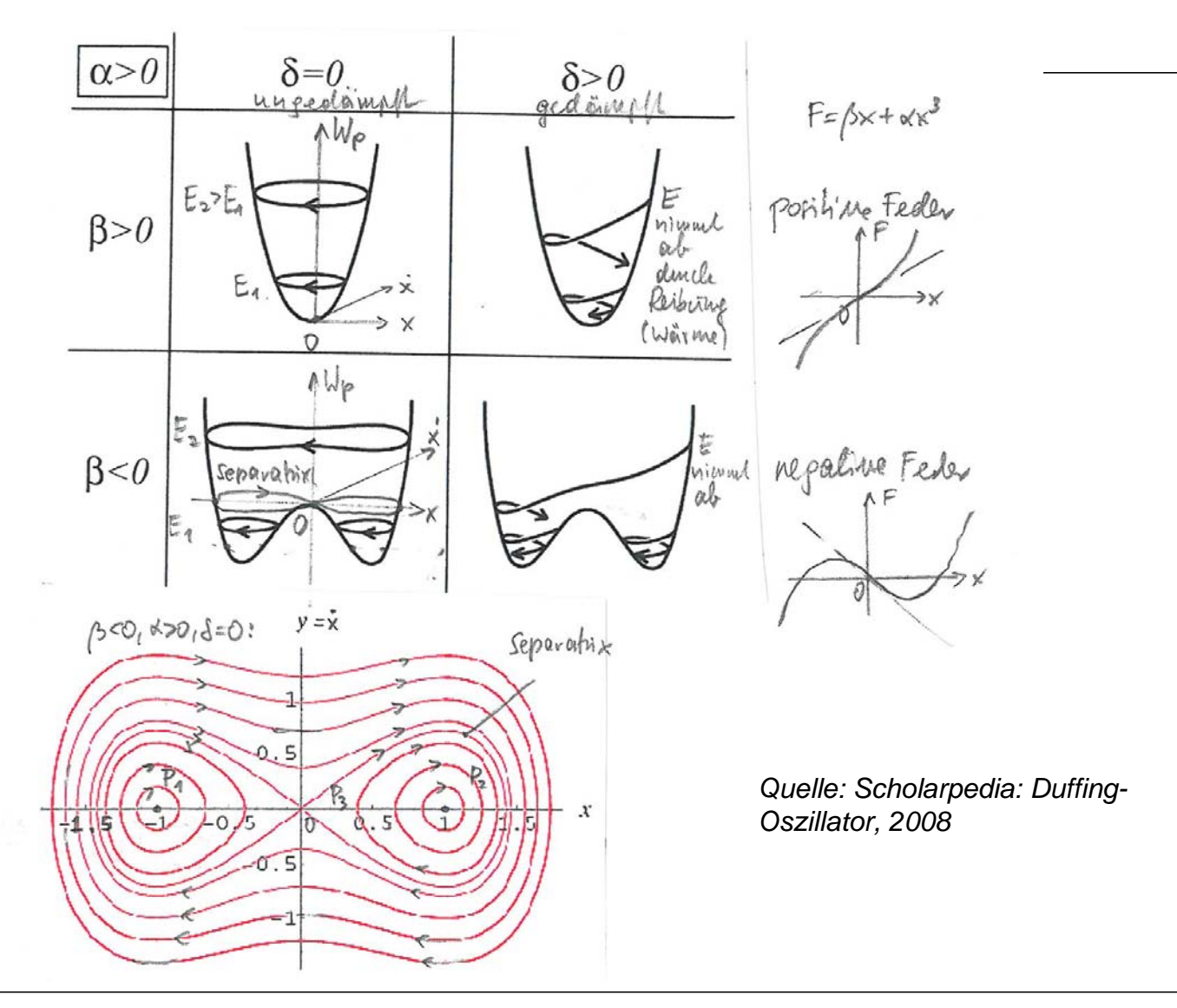






DUFFING scher Schwinger (12)





DUFFING scher Schwinger (13)



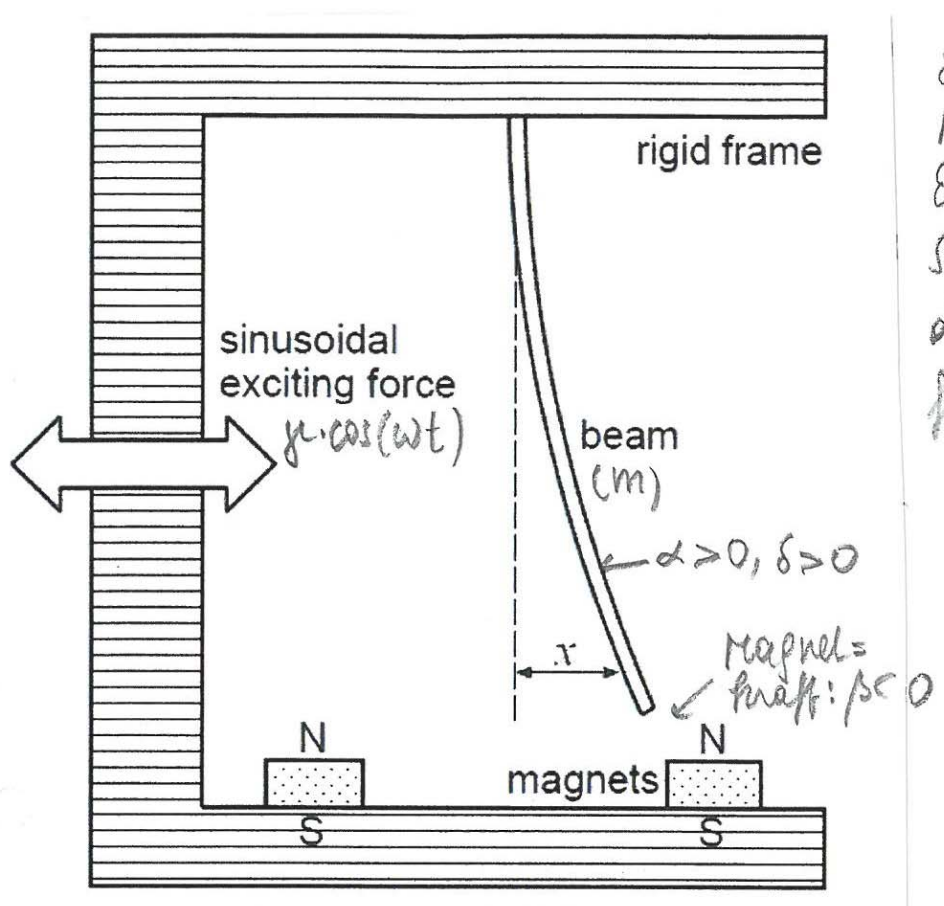
Quelle: Scholarpedia: Duffing-

Oszillator, 2008



DUFFING scher Schwinger (14)





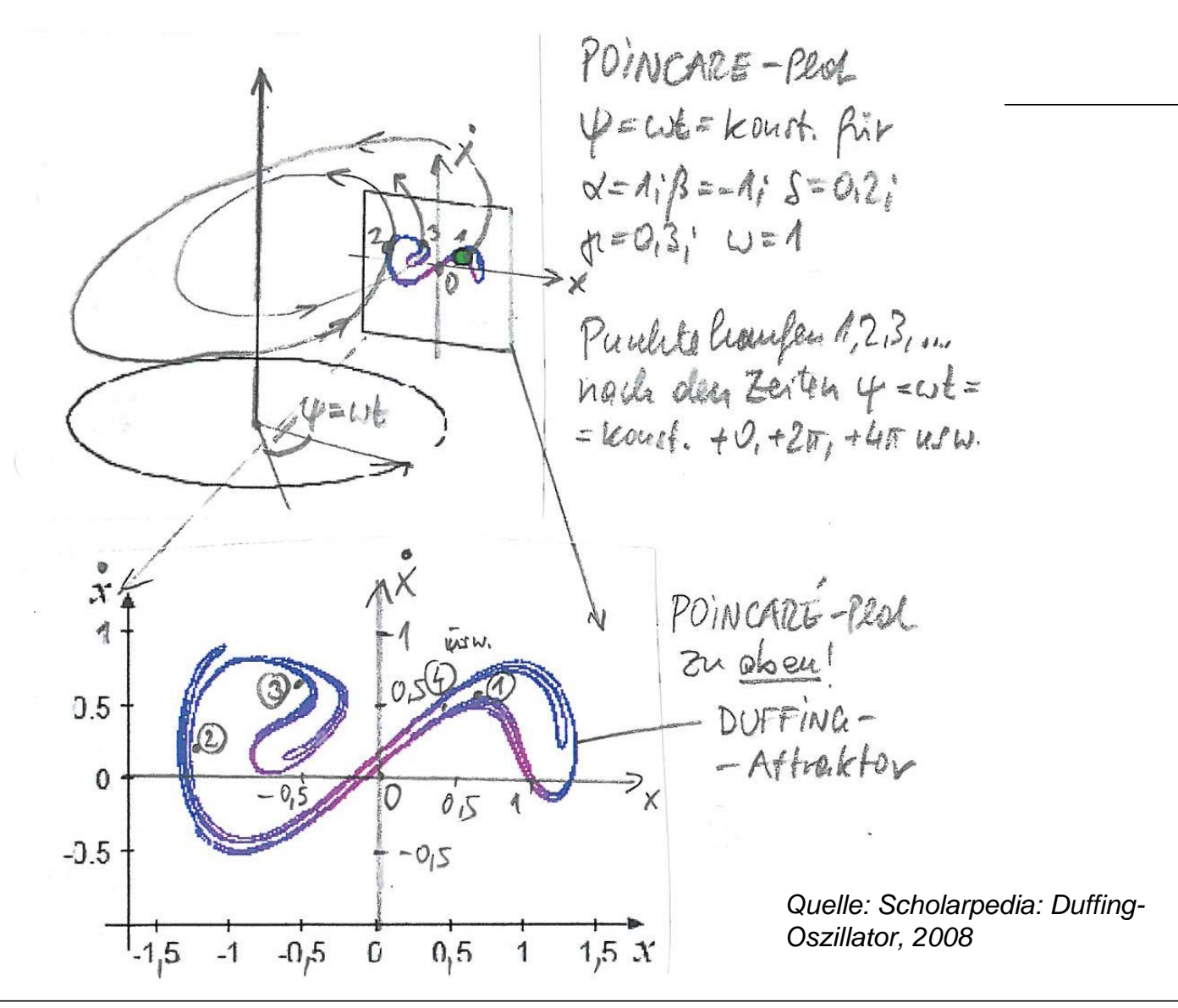
Eleptromechanisches Modell für die Enegüng chartischen Schwingingen mit dem DOFF i NG-Schwinger für BLO, L>O, S>O

> Quelle: Scholarpedia: Duffing-Oszillator, 2008



Chaotische Bewegungen des DUFFING schen Schwingers (1)



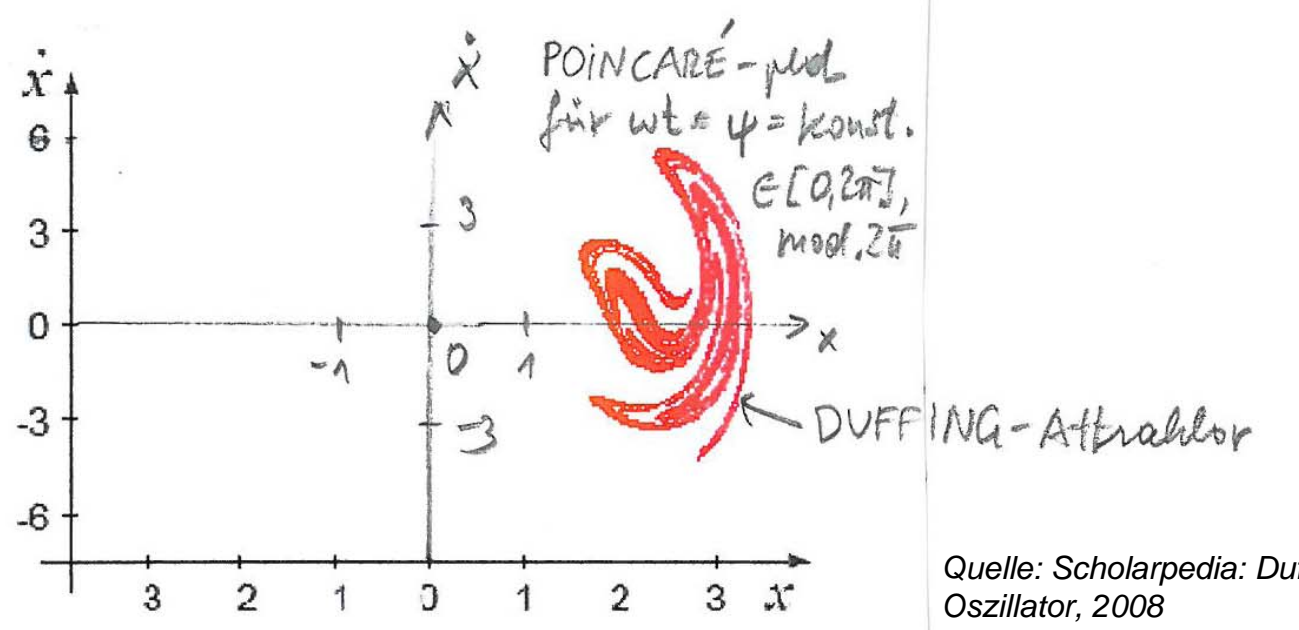




Chaotische Bewegungen des DUFFING'schen Schwingers (2)



DUFFING-Athablar nach VEDA for X=11/5=0:5=0.05; p=4,5; W=1 im POINCARE-Schwitt für wt= kourt., mod(20)

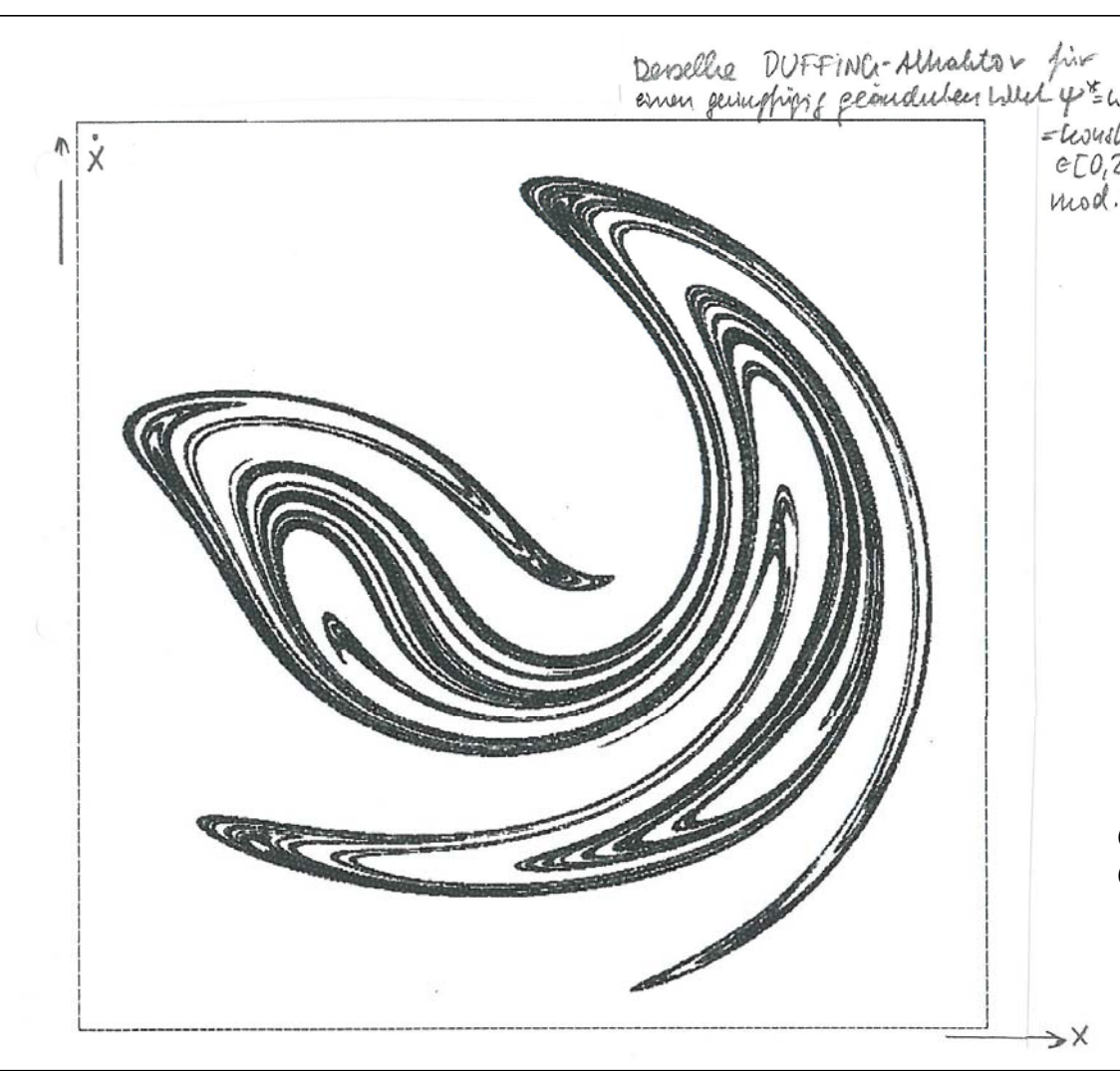


Quelle: Scholarpedia: Duffing-



Chaotische Bewegungen des DUFFING schen Schwingers (3)



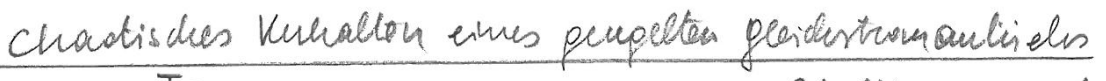


Quelle: Scholarpedia: Duffing-

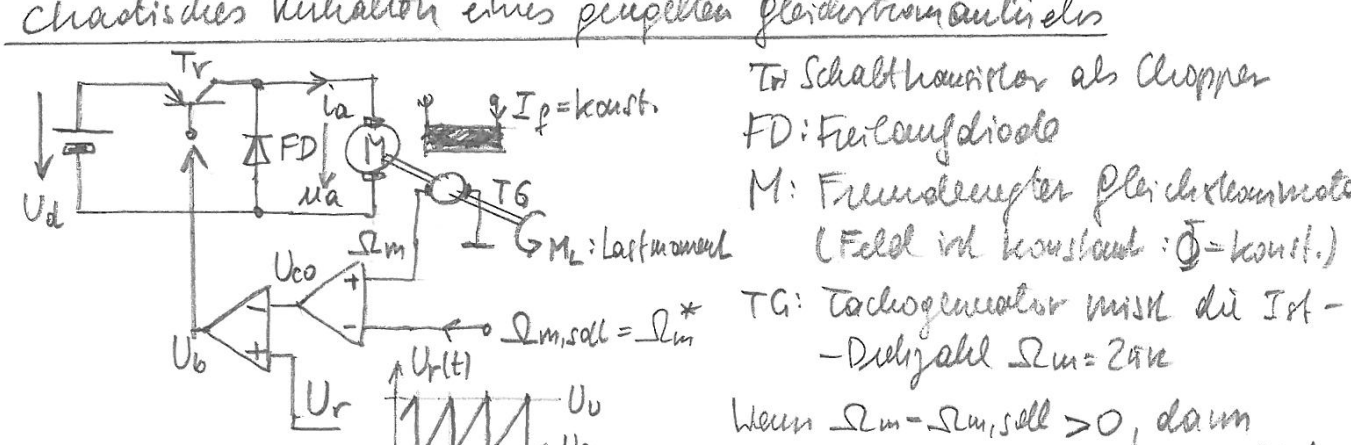
Oszillator, 2008



Chaotisches Verhalten eines geregelten DC-Antriebs (1)







Ma

TGM_: Lastmonent (Feld in houstoud: J-konst.)

Weun Im- Im, sell >0, down muss Tromissor Transperdealth weeder; were Sim-Sim, rele <0, dam

Trein. Ud: Raffeire spanning

Im our generalten Zustand:

Ma = Ra Ie + k Im I, Ia = la Im = Im, soll , Pa, La: Antiviridas found & Industrività ko: Motorkonslaute x Fluss puo Pel

Bei Ra Ia « KSlm D: OEtETA: Ud-KRung = La. dialot Ti = t = T: 0 - KIRm & = Ladial alt

und (a (0)= (a (T)= (a,0



Chaotisches Verhalten eines geregelten DC-Antriebs (2)





Chaotisches Verhalten eines geregelten DC-Antriebs (3)



$$\frac{d^{2}m}{dt} = Me - ML - MD = K\Phi ialt) - ML - D. 2m$$

$$\frac{d^{2}m}{dt} + D\Omega m - K\Phi ia = -ML$$

$$La \frac{dia}{dt} + Ra ia + k\Omega m\Phi = \left\{\begin{array}{c} 0 & M \\ Ud & Z \end{array}\right\} \Omega$$

$$\frac{d^{2}m}{dt} + Ra ia + k\Omega m\Phi = \left\{\begin{array}{c} 0 & M \\ Ud & Z \end{array}\right\} \Omega$$

$$\frac{d^{2}m}{dt} + Ra ia + k\Omega m\Phi = \left\{\begin{array}{c} 0 & M \\ Ud & Z \end{array}\right\} \Omega$$

$$\frac{d^{2}m}{dt} + Ra ia + k\Omega m\Phi = \left\{\begin{array}{c} 0 & M \\ Ud & Z \end{array}\right\} \Omega$$

$$\frac{d^{2}m}{dt} + Ra ia + k\Omega m\Phi = \left\{\begin{array}{c} 0 & M \\ Ud & Z \end{array}\right\} \Omega$$

$$\frac{d^{2}m}{dt} + Ra ia + k\Omega m\Phi = \left\{\begin{array}{c} 0 & M \\ Id & Ia \end{array}\right\} \Omega$$

$$\frac{d^{2}m}{dt} + Ra ia + k\Omega m\Phi = \left\{\begin{array}{c} 0 & M \\ Id & Ia \end{array}\right\} \Omega$$

$$\frac{d^{2}m}{dt} + Ra ia + k\Omega m\Phi = \left\{\begin{array}{c} 0 & M \\ Id & Ia \end{array}\right\} \Omega$$

$$\frac{d^{2}m}{dt} + Ra ia + k\Omega m\Phi = \left\{\begin{array}{c} 0 & M \\ Id & Ia \end{array}\right\} \Omega$$

$$\frac{d^{2}m}{dt} + Ra ia + k\Omega m\Phi = \left\{\begin{array}{c} 0 & M \\ Id & Ia \end{array}\right\} \Omega$$

$$\frac{d^{2}m}{dt} + Ra ia + k\Omega m\Phi = \left\{\begin{array}{c} 0 & M \\ Id & Ia \end{array}\right\} \Omega$$

$$\frac{d^{2}m}{dt} + Ra ia + k\Omega m\Phi = \left\{\begin{array}{c} 0 & M \\ Id & Ia \end{array}\right\} \Omega$$

$$\frac{d^{2}m}{dt} + Ra ia + k\Omega m\Phi = \left\{\begin{array}{c} 0 & M \\ Id & Ia \end{array}\right\} \Omega$$

$$\frac{d^{2}m}{dt} + Ra ia + k\Omega m\Phi = \left\{\begin{array}{c} 0 & M \\ Id & Ia \end{array}\right\} \Omega$$

$$\frac{d^{2}m}{dt} + Ra ia + k\Omega m\Phi = \left\{\begin{array}{c} 0 & M \\ Id & Ia \end{array}\right\} \Omega$$

$$\frac{d^{2}m}{dt} + Ra ia + k\Omega m\Phi = \left\{\begin{array}{c} 0 & M \\ Id & Ia \end{array}\right\} \Omega$$

$$\frac{d^{2}m}{dt} + Ra ia + k\Omega m\Phi = \left\{\begin{array}{c} 0 & M \\ Id & Ia \end{array}\right\} \Omega$$

$$\frac{d^{2}m}{dt} + Ra ia + k\Omega m\Phi = \left\{\begin{array}{c} 0 & M \\ Id & Ia \end{array}\right\} \Omega$$

$$\frac{d^{2}m}{dt} + Ra ia + k\Omega m\Phi = \left\{\begin{array}{c} 0 & M \\ Id & Ia \end{array}\right\} \Omega$$

$$\frac{d^{2}m}{dt} + Ra ia + k\Omega m\Phi = \left\{\begin{array}{c} 0 & M \\ Id & Ia \end{array}\right\} \Omega$$

$$\frac{d^{2}m}{dt} + Ra ia + k\Omega m\Phi = \left\{\begin{array}{c} 0 & M \\ Id & Ia \end{array}\right\} \Omega$$

$$\frac{d^{2}m}{dt} + Ra ia + k\Omega m\Phi = \left\{\begin{array}{c} 0 & M \\ Id & Ia \end{array}\right\} \Omega$$

$$\frac{d^{2}m}{dt} + Ra ia + Ra$$



Chaotisches Verhalten eines geregelten DC-Antriebs (4)



Marroding: Defendial pleiching 2 ordning:
$$\frac{(i_m + (\frac{Pa}{La} + \frac{D}{J}) \cdot \Omega_m + (\frac{Pa}{La} \cdot \frac{D}{J} + \frac{(kD)^2}{LaJ}) = \frac{k\Phi}{J} \cdot \frac{Ud}{La} - \frac{M}{J} \cdot (\frac{Pa}{La}) - \frac{J}{J} \cdot \frac{dM}{dt}}{\frac{J}{La}} = -\frac{J}{2} \cdot (\frac{Pa}{La} + \frac{D}{J})^2 - \frac{J}{2} \cdot \frac{dM}{La} = \frac{J}{2} \cdot \frac{J$$



Chaotisches Verhalten eines geregelten DC-Antriebs (5)



Innulialt O = t = T existien zwei Falle: - Kein Silmit pund zwisilien B: Tr schicht offen oder geschlossen

B: Tr schlicht oder öffnet m- Kal bei

B zerieben

B zerieben

Co und Ur m Schrift newlocken Fall D: Rn+1=-4-1En+B(T). (In+4-1E) K=1,2 vin = & (tn), Kn+1 = X (tn+T) tn=nT Fall (B: t= NT+S; T. 0=So < S, <... < Sm < 1, i=1,..., m to: Schaltzeitpunhte innulalle T: "miltiples" Schalten Z.B.: m=1: (i)ser Vco(tn)>Ue: Zustand 1 inTEtENT+SaT down Uco-Urbei: Zurland []: NT+S,T & + E(n+1)T

Becoluming ven
$$S_n$$
: $\Omega_n^{(+)} + \frac{Ue + (Uv - Ve)S_n}{g} - \binom{1}{0} \cdot \left[-\Delta^{-1} \vec{E}_n + B(S_n^{-1})(\vec{X}_n + \Delta^{-1} \vec{E}_n) \right] = 0$

$$\Rightarrow \vec{X} (nT + S_n T) = -\Delta^{-1} \vec{E}_n + B(S_n^{-1}) \cdot (\vec{X}_n + \Delta^{-1} \vec{E}_n), \text{ weit in } \text{ furtand } [D], \text{ und}$$

$$\vec{X}_{n+n} = -\Delta^{-1} \vec{E}_2 + B(T - S_n T) \cdot (\vec{X}_n + \Delta^{-1} \vec{E}_2), \text{ weit in } \text{ furtand } [D]$$

$$\stackrel{\triangle}{=} t - t_0$$



Use (ii) Ucollen) < Ue: Ensland [], nT = t = nT+dnT,

Uso

CIT (n+1)T

CIT (n+1)T



Berechning von Sn: sim + (Ue+(U-Ve)·Sn) - (1)·[-I·Ēz+B(SnT)(Xn+I·Ēz)]=D

= R(nT+SnT) =-I·Ēz+B(SnT)·(Rn+A-!Ēz), word in zurlaud(I), und

Rn+a = -I·Ēn+B(T-SnT)·(R(nT+SnT)+A-!Ēn), weil im Enstand II

= t-to

= t-to

In alulider Weise weeden für M71 die Bezelungen für Si, i=1,...m und douaus x (nT+ 5;T) und douaus

スn+n=- 人でEk+ B(T-SmT)·(以(hT+SmT)+ 日でEk), k=1,2 abgeleitel.

Die Plot von 又n, Xn+n, Xn+2 Siend PDINCARÉ-Dountellingen von 又の(大)=(Sun H), (a(H)) frir die Jeiten nT, (n+n)T, (u+2)Tusw.

· Remodishe Schallioning: m=1 > scationare Linny for Suntt), (a(t)

I: Fir m=1 mud slationau löwing minspellen: Ue LUco LUc luinT.

→ Sn ∈ [0,1]. Dann int die löning sturtt), ia (+) persodisch mit T!

T- persodische Lösting

II: Fix m=1 mud stationaire living, also Ve LVco LV beint, we obtailed sich latt), Quitt) ent weich p. T Pecio olen I walter Uco = Ur int liei: nT+8,T, (n+1)T+82T, ..., (n+p)T+8pT ⇒ pT-pecioaliste Living Chaotisches Verhalten eines geregelten DC-Antriebs (6)



Chaotisches Verhalten eines geregelten DC-Antriebs (7)



Bersyill:
$$V_{e} = 0V$$
, $V_{v} = 2.2V$, $T = 4ms$, $g = 0.5j$... $14 V_{e}$
 $V_{d} = 1.00V$, $R_{0} = 3.5R$, $L_{0} = 3.6mt$, $k = 0.7824V$ s

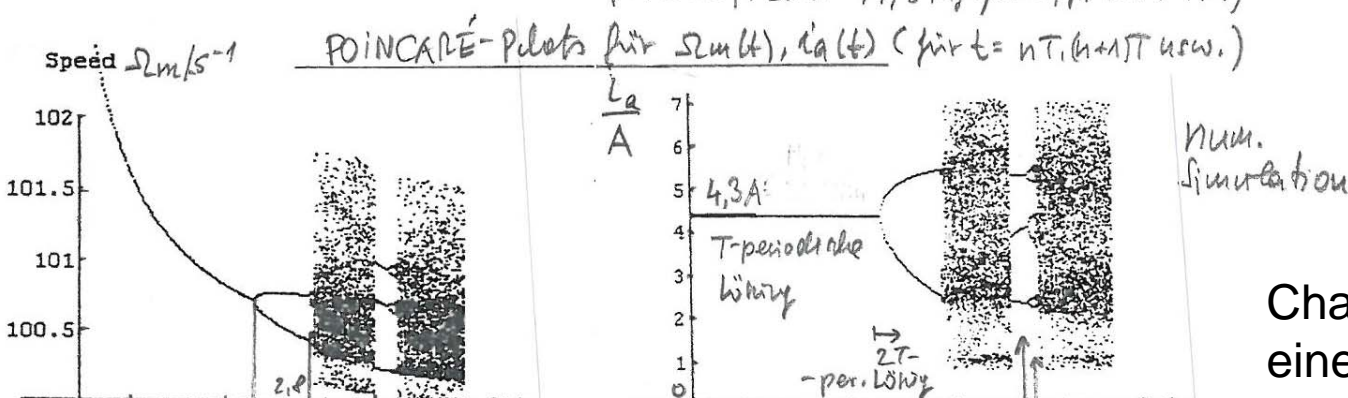
 $D = 564.10^{6}$ Nms, $J = 9.71.10^{-4}$ Kgm², $M_{L} = 0.39$ Nm, $2m = 1.00/s$

Konholle fiv stationare Lötzer ohne Schalten:

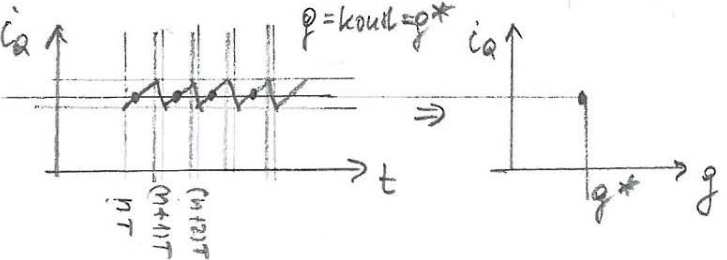
 $M_{e} - M_{L} - M_{D} = 0$ $k = M_{L} + D$. R_{m}^{+} , $I_{0} = 0.39 + 564.10.6.100 = 3.87A$
 $k = R_{0} - M_{0} - M_{0} = 0$ $k = M_{0} + D$. R_{0}^{+} , $I_{0} = 0.75$
 $I_{0} = \frac{1}{2} = \frac{36.10^{-3}}{3.15} = 10.28$ ms, $I_{0} > T$ (10.28 > 4) $I_{0} = 0.75$
 $I_{0} = 1.00$ $I_{0} = 0.75$
 $I_{0} = 1.00$
 $I_$

Numeriste living &H) = (Sult), ia (H) ab POINCARÉ-plot für nT, (n+1)T, usw. für Den und ia im Abliangigheit der veräuderlichen Verstänkung 0,5... 4=9 (aus: CHAU, K.T.; CHEN, J. H. et al. / Chaolic behavior in a simple DC Drue, Conf. 1EEE, PEDS 197, Singque, p. 473:479)





Chaotisches Verhalten eines geregelten DC-Antriebs (8)



Quelle: Chau, K.T. et al.: Chaotic behaviour in a simple DC drive, IEEE-PEDS-Conf. 1997, Singapore, 473-479

0,5=9 = 2,3: 7-periodische Löng für Z(+)= (Quilt), ia (+1)

2,3 = g = 2,8: 27- reciod. Living

2,8 = g = 2,85: Perrodenverdoppling bis lin zum chastischen Verläuf 3,6 = g = 3,8: Intermittenz mit 3T- und 6T-period. Linsupen

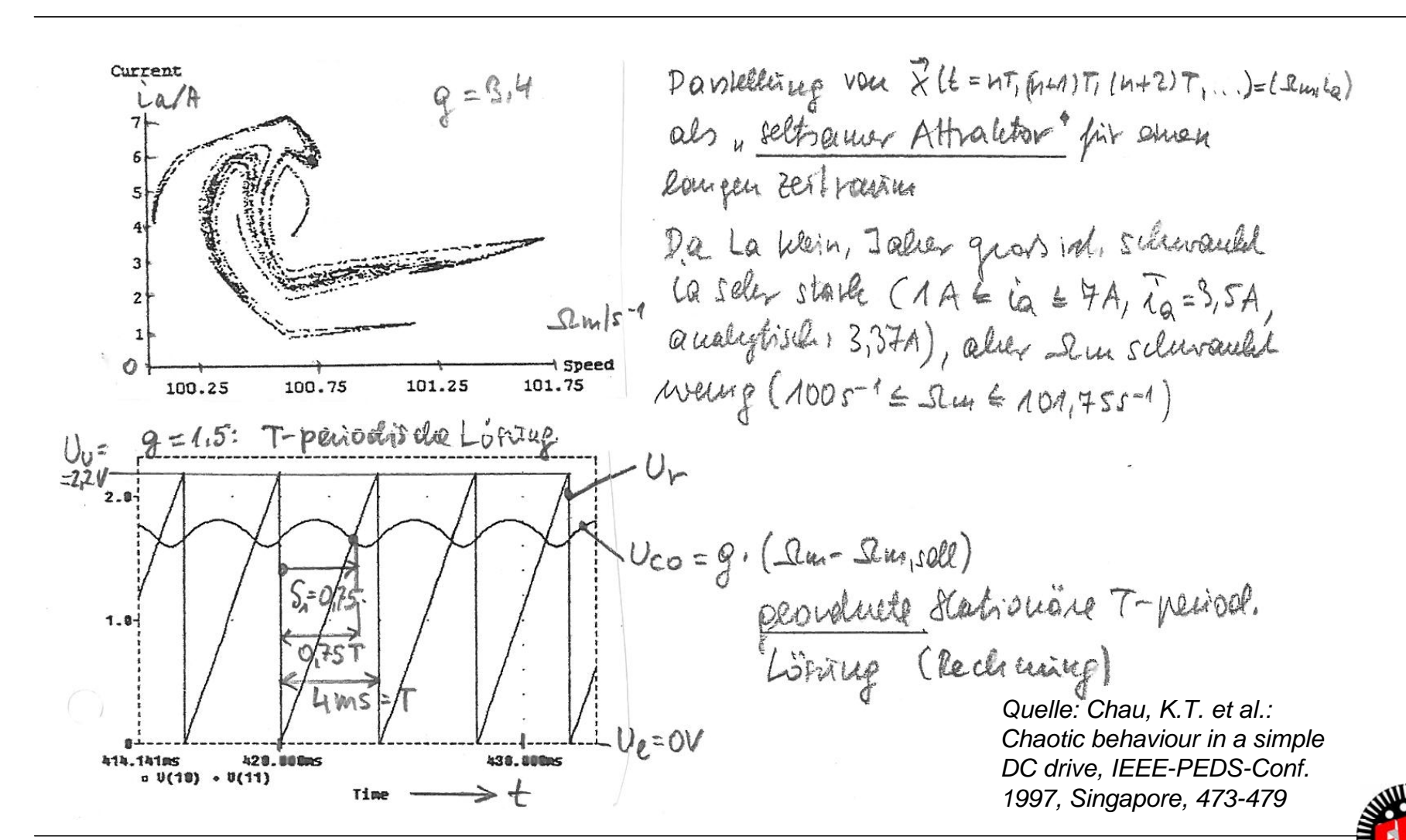


3T-period: GT-necioal

Löring als . Intermittenz

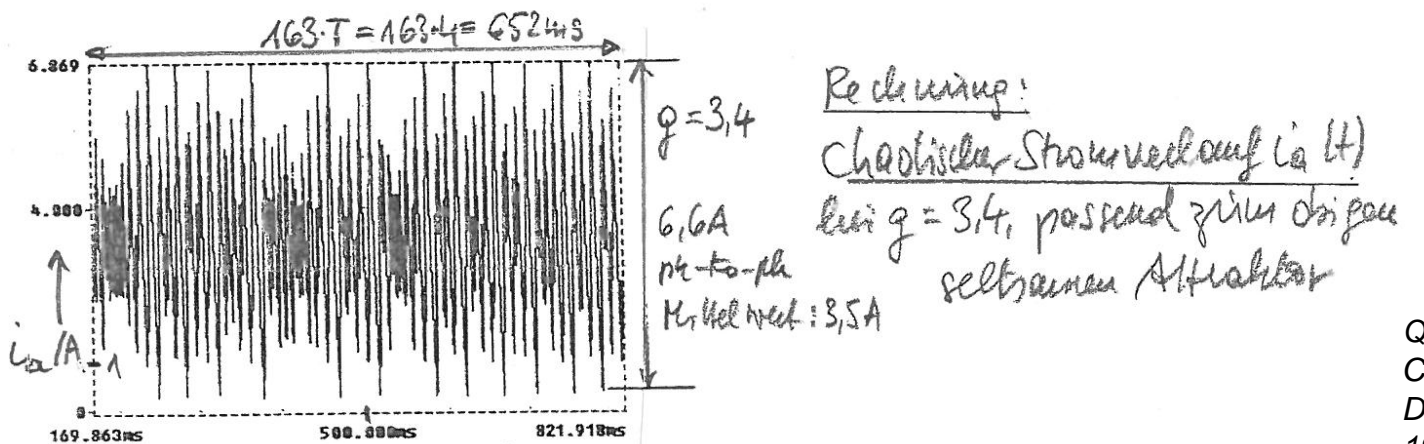
Chaotisches Verhalten eines geregelten DC-Antriebs (9)



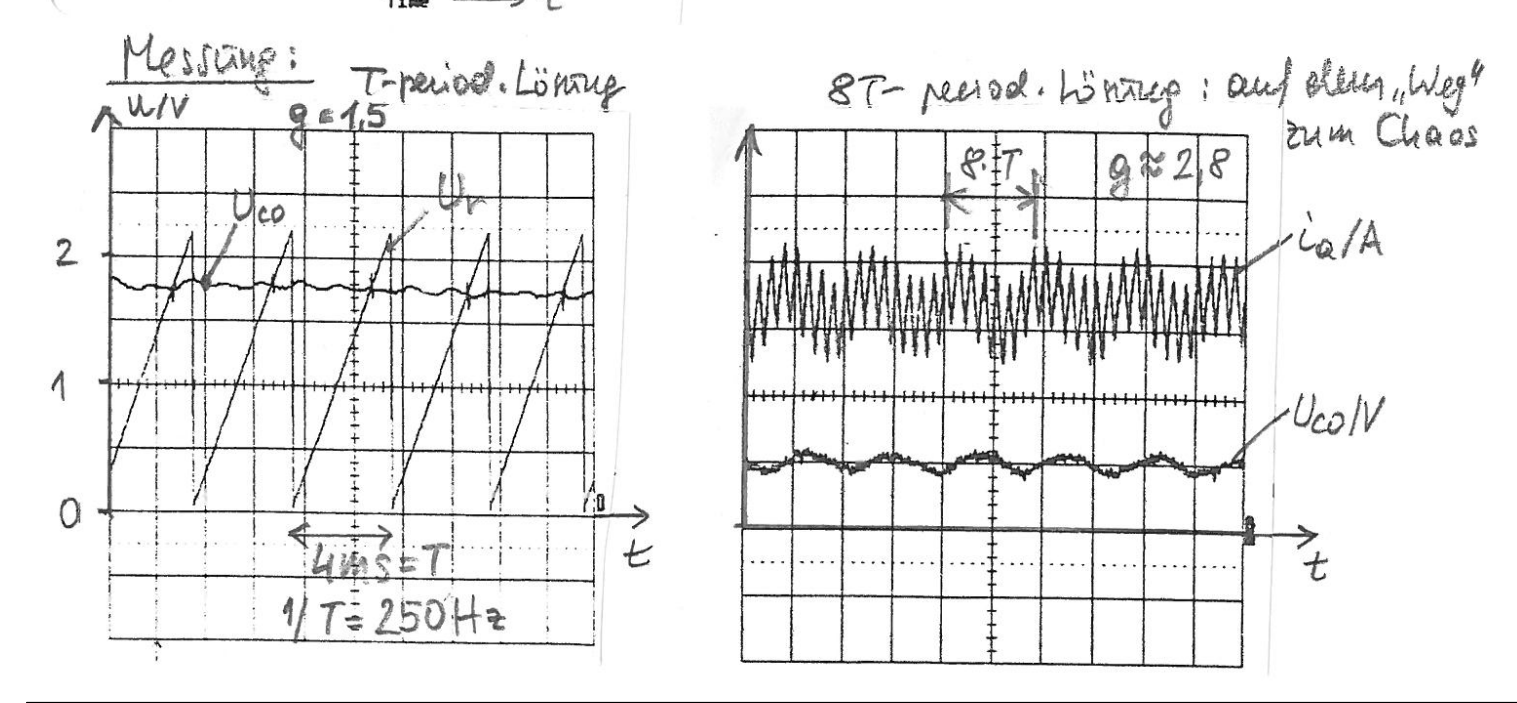


Chaotisches Verhalten eines geregelten DC-Antriebs (10)





Quelle: Chau, K.T. et al.: Chaotic behaviour in a simple DC drive, IEEE-PEDS-Conf. 1997, Singapore, 473-479





Chaotisches Verhalten eines geregelten DC-Antriebs (11)



